



MICROFICHE N°

00168

République Tunisienne

MINISTÈRE DE L'AGRICULTURE

CENTRE NATIONAL DE

DOCUMENTATION AGRICOLE

TUNIS

الجمهورية التونسية
وزارة الزراعة

المركز القومي
للتوثيق الفلاحي
تونس

F

1

ORSTOM 00468

ÉTUDE D'UNE TOPOSEQUENCE TYPE DU SUD TUNISIEN DJEREL DISSA

LES SOLS, ENFOSSEMENT, BILAN HYDRIQUE, ÉROSION, VÉGÉTATION
(RÉSULTATS DE LA SAISON 1973-1974)

Par

J. SOURGES, Hydrologue ORSTOM

C. FLORET, Ecologiste au CNRS Expert UNESCO Projet Parcours Sud

R. POTANER, Pédologue ORSTOM

E - S 93

République Tunisienne
Ministère de l'Agriculture
Direction des Ressources
en Eaux et Sels

Office de la Recherche
Scientifique et Technique
d'Outre-Mer
(Mission Tunisie)

ETATS D'UNE TOPOSEQUENCE TYPE DU SUD TUNISIEN
- DJEREL DISSA -

sols, ruissellement, bilan hydrique, érosion, végétation
(Résultats de la saison 1973-1974)

par

J. BOURGES, hydrologue ORSTOM
Ch. FLORET, écologiste au CEPE-ORSTOM - expert UNESCO
(Projet Parcours SUD)
R. PONTANIER, pédologue ORSTOM

SOMMAIRE

	<u>Page</u>
AVANT-PROPOS	
1. DISPOSITIF DE MESURES	1
2. RESULTATS POUR LA SAISON 1973-1974	
2.1 Météorologie	
2.1.1 Pluviométrie	1
2.1.2 Températures	3
2.1.3 Evaporation	3
2.2 Bilan d'eau	
2.2.1 Les précipitations. Répartition spatiale et chronologique Intensité	4
2.2.2 Le ruissellement. Coefficient de ruissellement et Intensité pluviométrique	6
2.2.3 Mesures de l'état hydrique des sols des parcelles Variations des réserves en eau	26
2.2.4 Essai d'établissement d'un bilan d'eau pour la saison 1973-1974	31
2.2.5 Variations des réserves en eau du sol de la parcelle de mesure de la biomasse végétale sérienne de l'unité phyto-écologique n°5	35
2.3 Erosion et dégradation des sols	
2.3.1 Transports solides globaux	36
2.3.2 Erosion des différents types de sol de la top- séquence	40
2.4 Résultats concernant la végétation	
2.4.1 Evolution du recouvrement de la végétation de la parcelle n°1	43
2.4.2 Evolution de la biomasse végétale sérienne de l'unité phyto-écologique n°5	45
3. COMPARAISONS AVEC LA SAISON 1972-1973. CONCLUSIONS	48
BIBLIOGRAPHIE	52
ANNEXES	

AVANT-PROPOS

Nous présentons dans cette note les résultats des mesures effectuées sur l'ensemble des parcelles de la station du djebel MISRI durant la saison 1973-1974.

Cette station a déjà fait l'objet d'un premier rapport de campagne (ES 89 DRES Tunis, Décembre 1973), à l'occasion de la saison 1972-1973.

Nous rappelons brièvement les buts de l'étude : sur une toposéquence type du Sud tunisien, localisée à 16 km au S W de Gabès et constituée depuis le sommet par des sols gypseux (croûtes et encroûtements) associés à des pointements calcaires, par des sierozems tronqués et par des sierozems plus ou moins ensablés, nous étudions :

- les relations sol - végétation
- le mécanisme de ruissellement et ses facteurs déterminants
- la réaction du sol aux sollicitations pluvieuses
- le bilan hydrologique, le bilan hydrique des sols ainsi que la dynamique de l'eau
- l'érosion hydrique et le processus de dégradation des sols
- les incidences sur la végétation d'une mise en défens dans les différentes unités de végétation
- la production végétale à l'aval de la toposéquence en fonction du bilan d'eau du sol correspondant
- les différents paramètres climatiques influant sur le ruissellement, l'ETM et la végétation.

Nous remercions vivement Monsieur le Chef de l'Arrondissement de la Direction des Ressources en eau et sol de Gabès qui a beaucoup facilité ce travail, ainsi que tous les techniciens de la DRES, de l'INRAT, du laboratoire de Gabès, et de l'ONSTOM, qui ont participé à cette étude.

1. LE DISPOSITIF DE MESURES

Le lecteur fera référence à l'ES 89 (Bourges, Flaret, Fontenier, 1973) pour plus amples informations concernant le dispositif de mesures. Néanmoins nous rappelons qu'il est essentiellement constitué :

- d'une station météorologique normale (t°C, Piche, H₂O)
- d'un réseau très dense de pluviomètres
- de trois parcelles sur lesquelles sont effectuées des mesures de la végétation ainsi qu'en défens, de ruissellement, d'érosion et de bilan d'eau, permettant de décomposer le ruissellement et le bilan de chaque unité de sol de la toposéquence,
- d'une parcelle de mesures de la biomasse aérienne végétale à l'aval de la toposéquence.

La saison 1973-1974 a vu la fin des installations définitives du dispositif de mesures, surtout en ce qui concerne l'entrée en service des deux dernières parcelles de ruissellement (n°2 = sols gypseux + pierres tranquilles et n°3 = sols gypseux).

Nous devons signaler que les seuils de contrôle type Napier (d'évier épais) installés à la sortie des fosses 1 et 2, n'ayant pas donné satisfaction durant les crues de décembre 1973, ont été remplacés par des déversoirs triangulaires à lame mince, plus précis. Le seuil partiel au 1/10 ème de la parcelle n°3 a été légèrement modifié, en raison de son mauvais fonctionnement.

2. RÉSULTATS POUR LA SAISON 1973-1974

2.1 Météorologie (cf. tableau n°1)

2.1.1 Pluviométrie

D'une façon générale la saison 1973-1974 se présente dans tout le Centre Sud tunisien comme une année pluvieuse due principalement aux averses exceptionnelles du mois de décembre. La station longue durée de référence, Gabès SM, a reçu au cours de cette saison 314 millimètres et nous relevons au poste de la station météo du Djebel DIZEN 293 millimètres.

Djebel NEZA - Résultats météorologiques 1973-1974

Tableau n° 1

Mois	Décade	m̄ tx °C	m̄ tn °C	m̄ t°C	Température sol °C		Fiche (mm)	Pluie * (mm)
					10 cm	20 cm		
Sept.	1	32,1	19,9	25,9			89,4	0
	2	35,0	20,9	28,0			1100,7	0
	3	33,5	17,9	25,7			1116,3	0
	mois	33,5	19,6	26,6			1306,4	0
Oct.	1	31,3	18,0	24,6	28,2	27,3	96,2	0
	2	31,5	17,7	24,6	26,4	28,4	95,4	0,6
	3	23,9	12,0	17,9	20,2	20,3	70,5	2,8
	mois	28,9	15,9	22,4	24,9	25,3	262,1	3,4
Nov.	1	29,1	9,9	19,5	18,4	18,0	37,3	4,6
	2	21,3	9,4	15,3	15,1	15,6	61,2	8,6
	3	20,0	13,6	16,8	13,1	13,3	44,4	0,6
	mois	23,4	10,9	17,2	15,7	15,6	142,7	13,8
Dec.	1	14,8	2,1	8,4	10,7	9,3	40,7	41,2
	2	15,3	6,0	10,6	10,8	8,6	25,6	126,5
	3	17,4	7,0	12,2	11,5	8,9	45,4	1,3
	mois	15,8	5,0	10,4	11,0	8,9	111,7	162,0
Janv.	1	17,1	4,9	11,0	11,0	8,7	50,1	0
	2	17,0	6,1	11,5	12,1	9,6	50,2	0
	3	16,3	4,5	10,5	11,1	8,4	38,1	1,2
	mois	16,8	5,2	11,0	11,4	8,9	138,7	1,2
Févr.	1	18,5	3,3	10,8	12,4	9,5	64,5	0
	2	19,9	3,0	11,4	13,2	10,2	1106,6	0
	3	17,9	5,7	12,3	12,3	9,9	33,7	27,1
	mois	18,7	4,5	11,6	12,6	9,8	1204,8	27,1
Mars	1	18,3	6,2	12,2	13,2	10,1	46,2	8,2
	2	20,4	7,4	13,9	14,3	11,3	59,0	26,8
	3	18,5	9,7	14,1	19,6	16,1	82,6	0,6
	mois	19,2	7,7	13,4	15,7	12,5	187,8	35,6
Avril	1	24,5	10,7	17,6	20,7	17,3	52,6	1,2
	2	23,3	13,5	18,4	20,1	17,6	94,1	0,2
	3	23,8	13,6	16,7	21,2	17,4	1107,9	3,9
	mois	23,8	12,6	18,2	20,6	17,4	1254,6	5,3
Mai	1	23,0	13,5	18,7	23,9	19,9	83,7	0
	2	29,4	15,1	22,2	25,0	23,0	81,4	0
	3	32,4	17,1	24,7	27,7	24,3	90,3	0
	mois	28,5	15,2	21,8	25,8	22,4	255,4	0
Juin	1	25,3	17,5	22,9	29,1	24,1	67,9	0
	2	31,5	19,2	25,3	28,9	26,2	95,0	0
	3	30,4	19,5	21,9	30,6	25,7	99,9	4,4
	mois	30,1	18,7	21,4	29,5	25,7	232,8	4,4
Juillet	1	32,1	19,8	26,5			75,2	0
	2	34,4	19,4	26,9			1102,7	0
	3	31,4	18,0	25,2			74,0	0
	mois	32,6	19,3	26,5			1251,9	0
Août	1	34,7	20,1	27,4			112,4	0
	2	31,7	19,2	25,5			73,1	0
	3	34,4	16,4	27,5			83,0	0
	mois	33,5	18,6	26,8			273,5	0
Année						2595,6	1259,8	

* moyenne de la pluie sur l'ensemble de la station

L'étude sommaire de la pluviométrie observée à Gabès sur une période de 35 ans, présentée dans le rapport de la campagne 1972-1973, faisait apparaître une moyenne de 183,4 millimètres et une médiane de 151 millimètres. La découverte de nouvelles observations, en cours de dépouillement, nous permet d'étendre cette période à 75 ans et de modifier légèrement ces valeurs. Rappelons en outre que la situation maritime de Gabès lui confère un régime pluviométrique légèrement différent de celui de la station du djebel DISSA, peu éloignée de la mer, mais protégée de son influence par sa position sur le versant Ouest des djebels.

L'énumération de quelques caractéristiques pluviométriques (tableau n°2) sur ces deux stations que sont Gabès et Gafsa, cette dernière station étant considérée comme continentale, permet de mieux situer le caractère exceptionnel de la saison étudiée :

Tableau n°2

Station	Moyenne inter- annuelle	Total annuel maximal	Total annuel minimal	Médiane	Année sèche		Année humide	
					h 10	h 50	h 10	h 50
Gabès	183,2	477	36	160	76	50	330	500
Gafsa	163,4	444	36	143	78	54	260	350

h10 et h50 représentent les hauteurs annuelles de fréquence décennale ou cinquantiennale obtenues d'après ajustement de la répartition sur une loi gaussio-logarithmique. Ainsi l'on constate que l'année étudiée peut être classée comme proche de l'année humide de fréquence décennale.

Dans la forme et la répartition de ces précipitations, il convient de souligner l'importance de la séquence pluvieuse du 12 décembre qui représente, à elle seule, plus de 45 % du total annuel. C'est en fait sur le plan hydrologique l'élément déterminant de cette saison. Il est occasionné par une très forte dépression en provenance du Sud-Est qui va déverser sur tout le Sud tunisien des trombes d'eau avec une intensité exceptionnelle. L'épicentre se trouve sur El Hamm, à 20 km de la station, avec une pluviométrie de 303 millimètres et une intensité maximale sur 5 minutes de 190 mm/h. L'intensité moyenne du corps principal de la deuxièmeaverse atteint 55 mm/h durant 3H30. Malgré ces valeurs remarquables, le phénomène n'en est pas moins étendu puisqu'à plus de 80 km de l'épicentre, Mknassy reçoit encore près de 200 millimètres.

Ainsi, contrairement à l'année précédente, la saison 1973-1974 se présente principalement comme la conséquence d'un épisode pluvieux déterminant pour le bilan annuel, aussi bien pour le ruissellement que pour l'érosion et la végétation.

2.1.2 Températures

À l'exception du mois de janvier, l'hiver a été plus froid en 1973-1974 qu'en 1972-1973, et le printemps plus doux.

L'été a été incontestablement moins chaud cette année, particulièrement en juillet ($\bar{T} = 26,5$ contre $30,0$ °C en 1973). Août a été le mois le plus chaud.

Le minimum absolu sous abri = $0,4$ °C a été enregistré le 25.2.74.

Le maximum absolu sous abri = $39,5$ °C a été enregistré le 14.7.74.

Le printemps et l'été 1974 auront donc en 1974 un régime thermique plus tempéré qu'en 1973.

2.1.3 Évaporation

Du 1.9.1973 au 31.8.1974 l'évaporation Piche sous abri a été de 2595,6 mm avec 251,5 mm en juillet contre 396,2 en 1973. Le nombre de jours de sirocco (appréciés par l'observateur) n'aura été que de 4 (contre 22 en 1973).

2.2 Bilan d'eau - Variations des réserves en eau du sol

Après une sécheresse estivale et automnale particulièrement sévère, interrompue seulement par les petites averses des 19 et 20 novembre 1973, les pluies de la première quinzaine de décembre ($h = 167,7$ mm) et les pluies du début du printemps ($h_p = 62,7$ mm) ont été les seules à permettre une recharge des réserves en eau du sol, les autres ayant été pratiquement immédiatement évapotranspirées.

2.2.1 Les précipitations - Répartition spatiale et chronologique
Intensité (cf. annexe n°1)

2.2.1.1 Dispositif

Bien que le dispositif de mesures ait été présenté dans le rapport précédent, nous rappellerons brièvement que le réseau de pluviomètres comporte plusieurs types d'appareils différents :

- des pluviomètres "Associations" de surface 400 cm² et placés à 1,30 m du sol
- des pluviomètres totalisateurs SIAP de surface 127 cm² placés à 1 mètre du sol
- 1 pluviographe de surface 1000 cm² et placé à 1,20 m du sol
- 1 pluviomètre sol de surface 100 cm² et placé à environ 20 cm du sol.

Cette diversité des appareils a dû être appliquée pour les conséquences qu'elle entraîne sur la qualité et la précision des observations.

2.2.1.2 Répartition (cf. tableau n°3)

Le total annuel se répartit sur 37 jours de pluie dont 18 reçoivent une pluviométrie inférieure à 1 millimètre et seulement 3 une pluviométrie supérieure à 10 millimètres.

Tableau n°3

Précipitations journalières mm	< 1	1-5	5-10	10-15	15-20	> 20	Total
Nombre de jours	18	7	6	0	1	3	37

Nous nous bornerons à étudier les quatre séquences pluviométriques supérieures à 15 millimètres et qui sont génératrices de ravinements :

- 4 décembre 1973 : 46,5 mm
- 12 décembre 1973 : 133,0 mm
- 25 et 26 février 1974 : 18,0 mm
- 12 mars 1974 : 24,2 mm

2.2.1 Les précipitations - Répartition spatiale et chronologique
Intensité (cf. annexe n°1)

2.2.1.1 Dispositif

Bien que le dispositif de mesures ait été présenté dans le rapport précédent, nous rappellerons brièvement que le réseau de pluviomètres comporte plusieurs types d'appareils différents :

- des pluviomètres "Association" de surface 400 cm² et placés à 1,50 m du sol
- des pluviomètres totalisateurs SIAP de surface 127 cm² placés à 1 mètre du sol
- 1 pluviographe de surface 1000 cm² et placé à 1,20 m du sol
- 1 pluviomètre sol de surface 100 cm² et placé à environ 20 cm du sol.

Cette diversité des appareils mérite d'être soulignée pour les conséquences qu'elle entraîne sur la qualité et la précision des observations.

2.2.1.2 Répartition (cf. tableau n°3)

Le total annuel se répartit sur 37 jours de pluie dont 18 reçoivent une pluviométrie inférieure à 1 millimètre et seulement 4 une pluviométrie supérieure à 10 millimètres.

Tableau n°3

Précipitations journalières mm	< 1	1-5	5-10	10-15	15-20	> 20	Total
Nombre de jours	18	9	5	0	1	3	37

Nous nous bornerons à étudier les quatre séquences pluvieuses supérieures à 15 millimètres et qui sont génératrices de ruissellement :

- 4 décembre 1973 : 46,5 mm
- 12 décembre 1973 : 133,0 mm
- 25 et 26 février 1974 : 18,0 mm
- 12 mars 1974 : 27,2 mm

.../.

Nous remarquons aussi que la part contributive des hauteurs journalières supérieures à 15 millimètres, donc provoquée par des phénomènes relativement importants, représente 82 % de la pluviométrie annuelle alors qu'elle dépassait légèrement 20 % l'année précédente et qu'on peut l'estimer à 55 % sur une période de 33 ans à la station de Gabès. L'année serait donc caractérisée par une séquence très importante, quelques séquences moyennes, et une série de faibles pluies sans effet notable sur le ruissellement.

2.2.1.3 Répartition spatiale

Que ce soit à l'échelle de la séquence pluvieuse ou de la saison, l'examen des hauteurs pluviométriques relevées à chaque poste révèle une hétérogénéité surprenante sur une surface de dimensions aussi réduites. La distance entre les deux postes les plus éloignés du dispositif ne dépasse pas 150 mètres.

Il serait impropre de tracer un réseau d'isohyètes annuelles sans donné les différentes méthodes d'observation employées, mais si l'on se limite aux mesures / des pluviomètres "Associativa", on remarque que les lignes d'isohyètes présentent une direction générale Nord-Sud, parallèle à la ligne de faite du Djebel DISSI. Ce phénomène a déjà été remarqué sur d'autres stations (O.SITA) et peut s'expliquer par une accélération de la vitesse du vent au sommet des djebels qui, d'une part, imprime à la pluie une vitesse horizontale plus forte et, d'autre part, augmente les remous autour du profil de l'appareil, diminuant ainsi sensiblement son efficacité.

Ainsi en écartant l'erreur systématique due à la diversité des types d'appareil et en ne considérant que les pluviomètres "Associativa" et le pluviographe enregistreur, on remarque que :

- sur la parcelle 1, le poste placé en haut indique 5 % de moins que celui situé près de la fosse. Le pluviographe implanté environ au milieu reçoit une hauteur nettement supérieure aux deux autres postes (+ 13 % par rapport à leur moyenne).

Si nous laissons de côté l'erreur systématique, qui sera abordée ultérieurement, il n'en reste pas moins que cette partie de la parcelle paraît jouir d'une pluviométrie plus favorable.

...

Cette apparence, à notre avis, ne reflète aucun phénomène particulier, mais ne fait que traduire l'effet du vent en provenance du secteur E. et N.E. sur les appareils, effet fortement accentué à l'emplacement du pluviographe, situé immédiatement au pied du djebel, dans une zone de vents récurrents,

- sur la parcelle 3, le pluviomètre situé approximativement à la même altitude que celui placé en avant de la première parcelle, indique une pluviométrie inférieure de 12 %. Dans ce cas il semble que c'est à un accident de terrain, la proximité d'un petit col en l'occurrence, que l'on doit attribuer cette irrégularité.

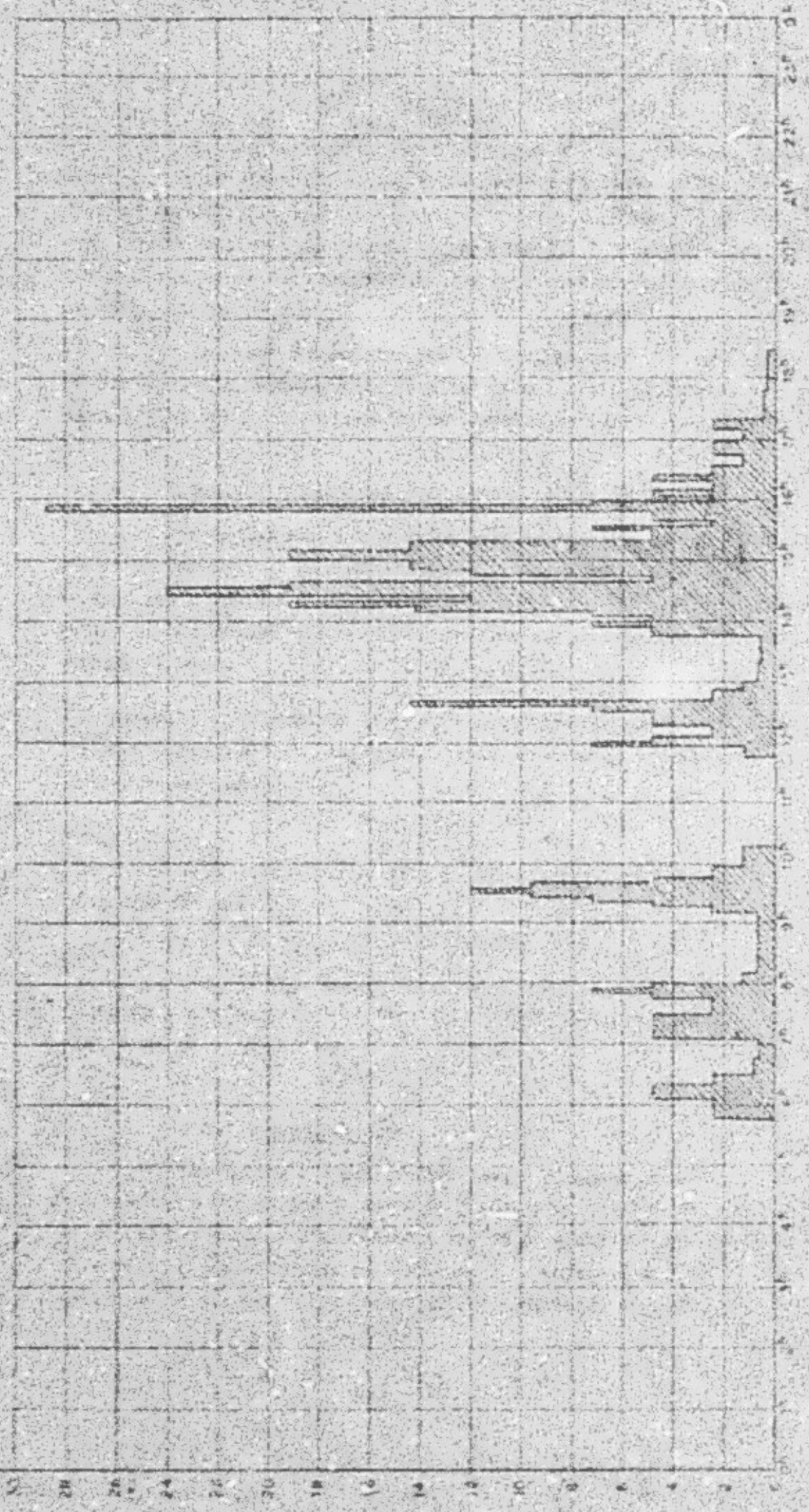
Malgré le doublement des pluviomètres totalisateurs par des "Associations", de façon à déterminer l'erreur systématique, nous ne pouvons actuellement l'estimer, les hauteurs relevées étant sensiblement identiques.

Néanmoins on peut remarquer que :

- les pluviomètres "Associations", par leur forme et leur installation, sont les plus sensibles aux effets du vent
- les pluviomètres totalisateurs, bien que moins sensibles au vent, quoique moins élevés et mieux profilés, sont peu précis en raison de leur faible section et des effets de bord
- le pluviographe enregistreur, volumineux et sensible au vent, n'en est pas moins relativement précis grâce à sa grande section qui lui permet de rendre compte des pluies de l'ordre de 0,5 mm et de négliger l'évaporation intervenant entre la pluie et l'instant de la mesure. Néanmoins il exige une surveillance régulière de son étalonnage et éventuellement une correction des relevés.
- le pluviomètre au sol, de par sa position insensible au vent, est soumis aux rejaillissements des gouttes sur le sol et offre une section relativement réduite. En dépit de ces inconvénients, un pluviomètre de même type, utilisé conjointement à un pluviomètre au sol normalisé sur la station de l'océan ZITA, a donné des résultats sensiblement identiques.

141 - DJEBEL OISSA - Tiro de 4 dicembre 1973

M Y C T O G R A M M I



Toutes ces particularités propres à chaque type de pluviomètre expliquent les différences relevées entre les observations aux divers postes, et la similitude apparente des totaux annuels relevés aux deux appareils placés au fond de la parcelle I (I 1 et TB) n'est due qu'au hasard et ne fait que masquer les différences qu'on remarque lors de chaque averse.

De façon à permettre une étude comparative des emplacements et des appareils, nous avons généralisé l'emploi des pluviomètres "association" et groupés les divers types d'appareils sur la station de base.

2.2.1.4 Moyenne des précipitations par parcelle

Pour les raisons évoquées précédemment, le calcul de la pluviométrie moyenne sur la parcelle faisant intervenir tous les postes, il ne faut pas s'étonner que les valeurs trouvées sur les différentes parcelles soient systématiquement plus faibles que celles fournies par la station de base:

- la parcelle 1, comprenant l'ensemble de la toposéquence, s'étend du sommet à la zone d'épandage, zone apparemment moins arrosée que le piedmont immédiat :

$$h_p = 272,7 \text{ mm}$$

- la parcelle 2, située sur le flanc du djebel, est assez proche de la ligne de faite :

$$h_p = 257,1 \text{ mm}$$

- la parcelle 3, implantée sur les crêtes, donc sur la partie haute du djebel, jouit de plus d'une situation défavorable par la proximité d'un petit col :

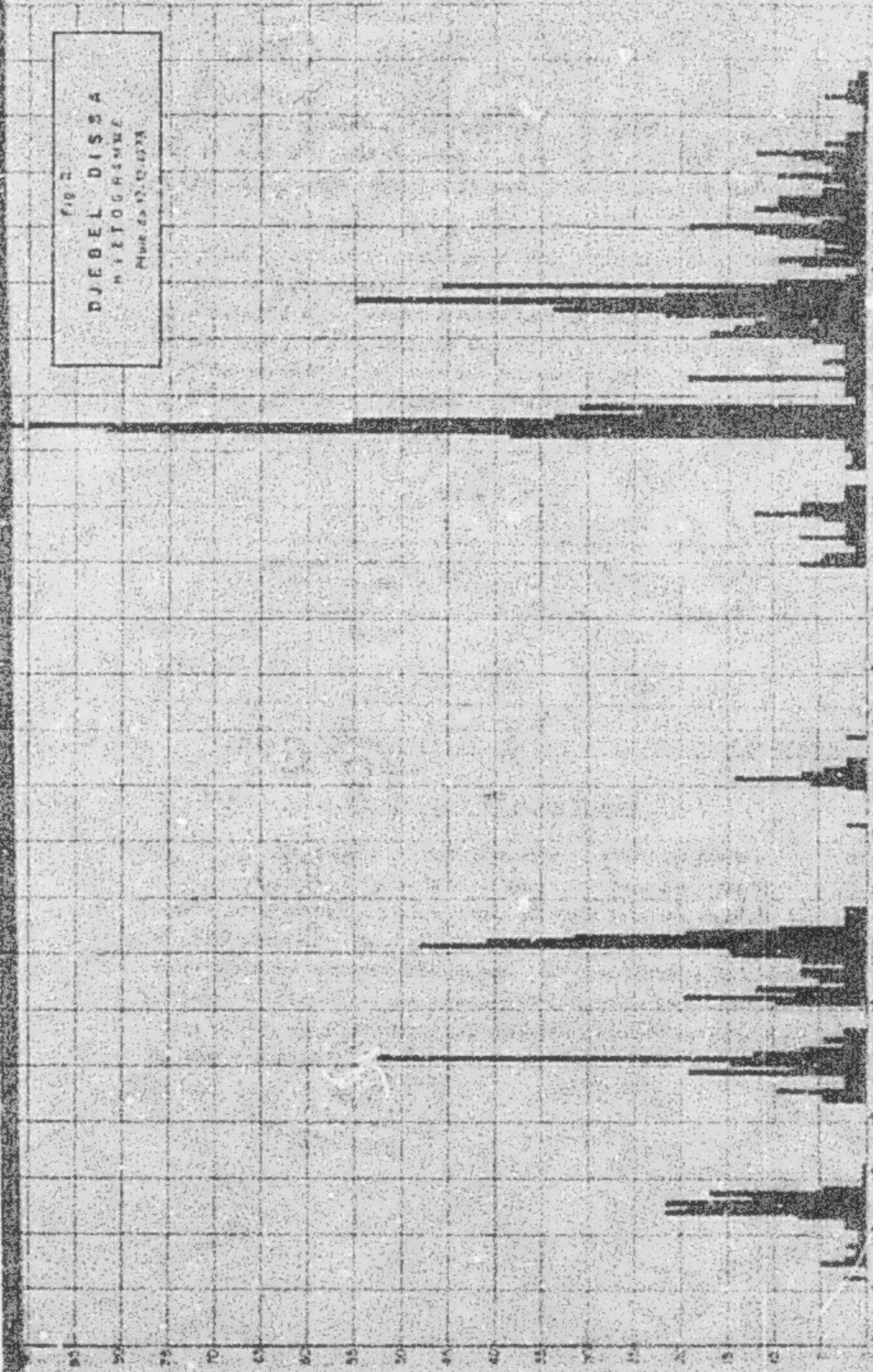
$$h_p = 242,6 \text{ mm}$$

2.2.1.5 Intensité (cf. tableau n°4 et Fig. 1 et 2)

Les intensités pluviométriques, à l'instar des autres stations, sont calculées sur un pas de temps de 5 minutes. Dans le cas présent, il aurait été intéressant d'appréhender les valeurs maximales de ce paramètre sur des périodes plus courtes, mieux en rapport avec les autres paramètres de ces parcelles (temps de réponse, temps de sortie ...).

.../

FIG 2
DJEHEL DISSA
M. I. TOGHIMME
Mars 63 12.0.1973



Les averse n'ayant provoqué aucun ruissellement présentent des intensités moyennes comprises entre 2 et 5 mm/h avec une pointe d'intensité pouvant atteindre 15 mm/h, mais toujours très brève.

Pour les averse génératrices de crues, et lorsque le pluviographe a fonctionné correctement, nous remarquons que l'intensité moyenne du corps principal est supérieure à 10 mm/h et l'intensité maximale très variable selon les événements. Lors des pluies du 12 décembre 1973, se sont succédés deux épisodes importants : l'un entre 2H30 et 8H comportant une série d'averses dont les maximum se situent autour de 50 à 60 mm/h et l'autre en fin d'après-midi de 16H à 19H30, caractérisé par des intensités voisines de 150 mm/h.

Tableau n°4

Date	Intensité maximale sur 5' en mm/h	Corps principal		Épisode	
		Intensité moy. en mm/h	Durée	Intensité moy. en mm/h	Durée
4.12.73	31	10,7	2H20	3,2	11H
12.12.73	104	50	35'	10,0	2H15
		22	3H50		

2.2.2 LE RUISSÈLEMENT. COEFFICIENT DE RUISSÈLEMENT ET INTENSITÉ PLUVIOMÉTRIQUE

2.2.2.1 Coefficient de ruissellement

De façon à affiner l'analyse du mécanisme pluie-ruissellement, nous avons procédé à un choix discriminatoire dans les événements pluviométriques permettant d'isoler chaque fois que cela est possible le complexe pluie-crue. Nous obtenons ainsi des épisodes ou averse bien individualisées correspondant chacun à une crue nette et indépendante. On peut ainsi atteindre une approche satisfaisante de la réaction élémentaire du sol, non déformée par les interférences dues aux autres parties du même ensemble.

À l'échelle du phénomène unitaire, averse-crue, nous étudierons les caractéristiques du ruissellement :

- durée de la pluie et de la crue
- h_p : hauteur précipitée
- V_0 : volume écoulé. Assimilable dans ce cas au volume ruisselé
- h_r : hauteur de la lame ruisselée
- K_r : coefficient de ruissellement
- I_{moy} : intensité pluviométrique moyenne prise sur un pas de temps choisi selon les dimensions de la parcelle
- I_{max} : intensité pluviométrique maximale sur une période de 5 minutes
- Q_{moy} : débit moyen observé à l'exutoire de la parcelle sur le même pas de temps que celui servant à définir I_{moy} .
- Q_{max} : débit maximum au cours de la crue
- $K'r$: coefficient de ruissellement moyen sur un intervalle de temps choisi arbitrairement. Dans ce cas il est déterminé sur le même pas de temps que les paramètres précédents I_{moy} et Q_{moy} .

Toutes les pluies seront repérées par un système de référence comprenant l'année, le rang de la séquence dans l'année et, éventuellement, le rang de l'épisode et celui de l'averse. Ainsi 73421 est la première averse du 2ème épisode intervenue au cours de la quatrième séquence de la saison 1973-1974.

2.2.2.1.1 1ère parcelle : DISSA I

Nous rappelons que cette parcelle comprend trois types de sol et couvre une superficie de 3650 m².

Crue du 4 décembre 1973 (cf. tableau n°5)

En raison du fonctionnement défectueux du limnigraphe, nous ne possédons pas d'observations permettant d'analyser la forme de la réponse de la parcelle. Nous nous limiterons donc à l'examen de l'événement global.

Tableau n°5

Durée	Réf.	h _p mm	V ₀ m ³	h _r mm	K _r %	I max mm/h
9H30 à 14H10	731	41,3	4,7	1,28	3,5	36

Crue du 12 décembre 1973 (cf. tableau n°6)

Nous diviserons cette séquence pluvieuse en trois épisodes qui se subdivisent en plusieurs averses. Nous obtenons ainsi trois averses le matin, suivies d'une série de petites pluies entre 8H et 13H55 pour les deux premiers épisodes et trois averses pour le dernier (voir Fig. 3A).

Tableau n°6

Durée	Réf.	h _p mm	V ₀ m ³	h _r mm	K _r %	I moy mm/h	I max mm/h	Q moy l/s	Q max l/s	r ₁
12H30 à 3H	173211	110,3	11,85	0,5	5,2	16,4	22	2,25	4,0	14
14H10 à 5H10	173212	111,0	15,84	2,6	14,5	19,2	55	6,55	7,5	31
16H10 à 8H30	173213	120,6	120,0	5,5	125,7	28,0	48	110,4	19,2	37
11er épisode	17321	141,9	127,7	7,6	118,2	-	55	-	19,2	-
18H30 à 16H30	17322	3,7	0,05	0,02	0,5	-	15	-	Σ	-
13ème épisode	17323	183,5	-	(50)	(60)	64	150	-	-	-
Séquence	1732	1129,11	-	157,6	144,6	-	150	-	-	-

Le nombre restreint d'observations complètes sur cette parcelle ne nous permet pas de déterminer le pas de temps le mieux adapté à la représentation du phénomène pluie-ruisellement. Nous avons calculé les paramètres moyens (I et Q) sur la durée du corps de l'averse qui varie dans ce cas entre dix et trente minutes.(1)

Il est très délicat d'estimer les volumes ruiselés au cours du 3ème épisode. Une partie s'est déversée par dessous les diguettes limitant la parcelle, bien en amont de la fosse et l'autre partie, évacuée par le déversoir de crue, n'a pas été contrôlée par le limnigraphe.

(1) Bien que I moy représente le paramètre généralement désigné par Intensité efficace, nous garderons cette définition commune à I et Q.

OJEBEL OISSA

Fig. 3

FIG. 3
PARCELLE 1
Crue du 12 décembre 1973
(73113)

HYDROGRAMME

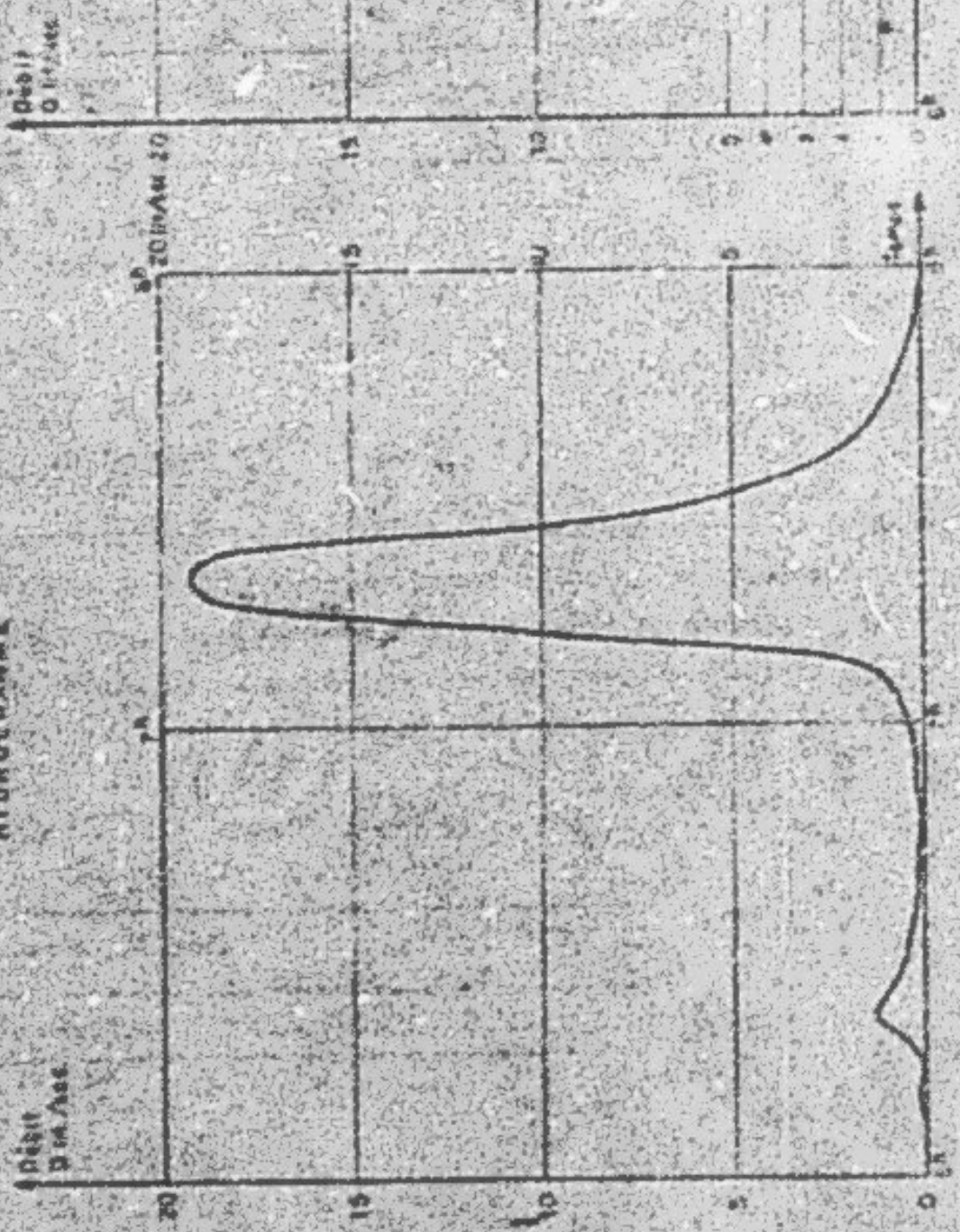
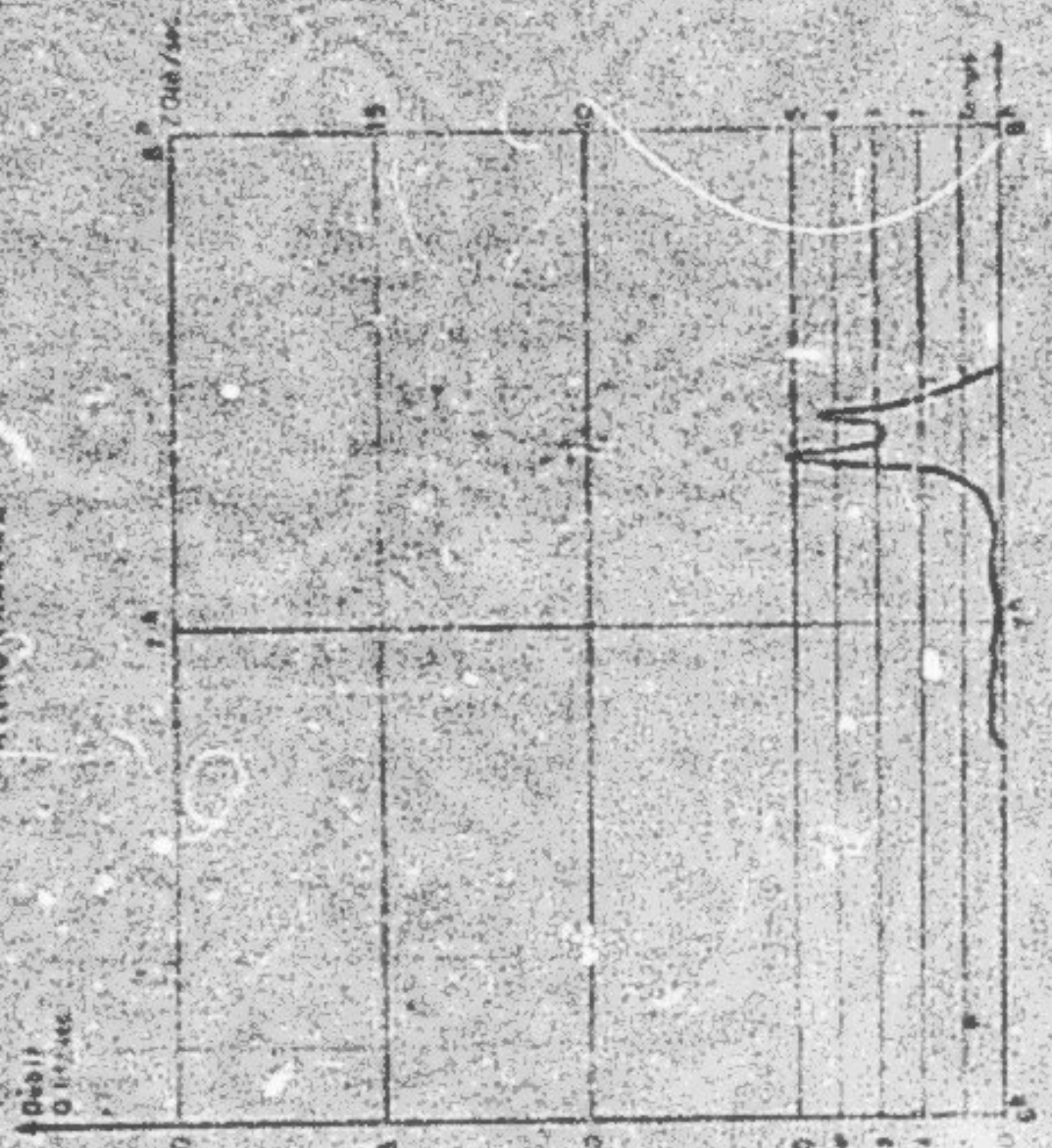


FIG. 3
PARCELLE B
Crue du 12 décembre 1973
(73113)

HYDROGRAMME



Afin de ne pas déformer le bilan journalier et annuel de cette parcelle en négligeant l'épisode concerné, nous avons tenté de déterminer les paramètres de ruissellement à partir des crues précédentes. Pour cela on décompose l'averse en deux phases : la phase à très forte intensité, comprise entre 50 et 144 mm/h, à laquelle on attribue empiriquement un coefficient de ruissellement de 90 % en supposant que l'eau n'a pas le temps de s'infiltrer, étant donné l'état préalable du sol déjà bien mouillé, et la pente de la parcelle. Pour la phase d'intensité inférieure à 50 mm/h, on prend un coefficient de ruissellement de 40 % qui tient compte des valeurs observées le matin et des conditions particulières de cette averse. On obtient ainsi (tableau n°7) :

Tableau n°7

I	h_p	K_r choisi	h_r estimé
	mm	%	mm
$I > 50$ mm/h	32,3	90	29,1
$I < 50$ mm/h	51,32	40	20,5

et donc pour l'épisode :

$$h_r = (49,6 \text{ mm})$$

$$K_r = (60 \%)$$

Crue du 25 et 26 février 1974 (tableau n°8)

Survenue dans la nuit du 25 au 26, cette averse de moyenne importance trouve un sol superficiellement desséché par l'absence de précipitations depuis plus de deux mois. En dépit du mauvais fonctionnement du pluviographe, nous savons que son intensité est relativement faible et régulière et doit se situer entre 10 et 20 mm/h.

Tableau n°8

Durée	Réf.	h_p	V_U	h_r	K_r
		mm	m ³	mm	%
10h20 à 20h30	733	124,5	10,45	0,12	0,5

La forme de la réponse est particulière. Elle présente deux phases à débit constant devant correspondre à une intensité relativement constante :

de 0820 à 2105	$q \approx 0,015$	1/s
de 2105 à 2125	$q \approx 0,3$	1/s

Crus du 12 mars 1974 (cf. tableau n°9)

Provoquée par une petite séquence pluvieuse de printemps analogue à la précédente, cette crue ne peut nous fournir d'indications sur la dynamique du ruissellement par suite d'une nouvelle panne de pluviographe.

Elle se décompose en deux versées.

Tableau n°9

Durée	Def.	h_p	V_0	h_r	K_r
		mm	10 ³	mm	%
112110 à 1511	734211	11,91	2,1	0,58	4,8
120110 à 201101	734221	6,110,85		0,231	3,8
1 Journée	1 7342	18,012,95		0,811	4,5

Saison 1973-1974 (cf. tableau n°10)

À l'échelle annuelle le coefficient de ruissellement se trouve sensiblement réduit par l'influence des petites pluies trop faibles pour provoquer un ruissellement sur l'ensemble des trois topographies. Néanmoins on peut considérer qu'il reste le fait d'une seule séquence, celle du 12 décembre qui à elle seule constitue 96 % de la lame d'eau ruisselée.

Tableau n°10

	h_p	V_0	K_r
	mm	10 ³	%
1973 - 1974	1271,7	99,81	22

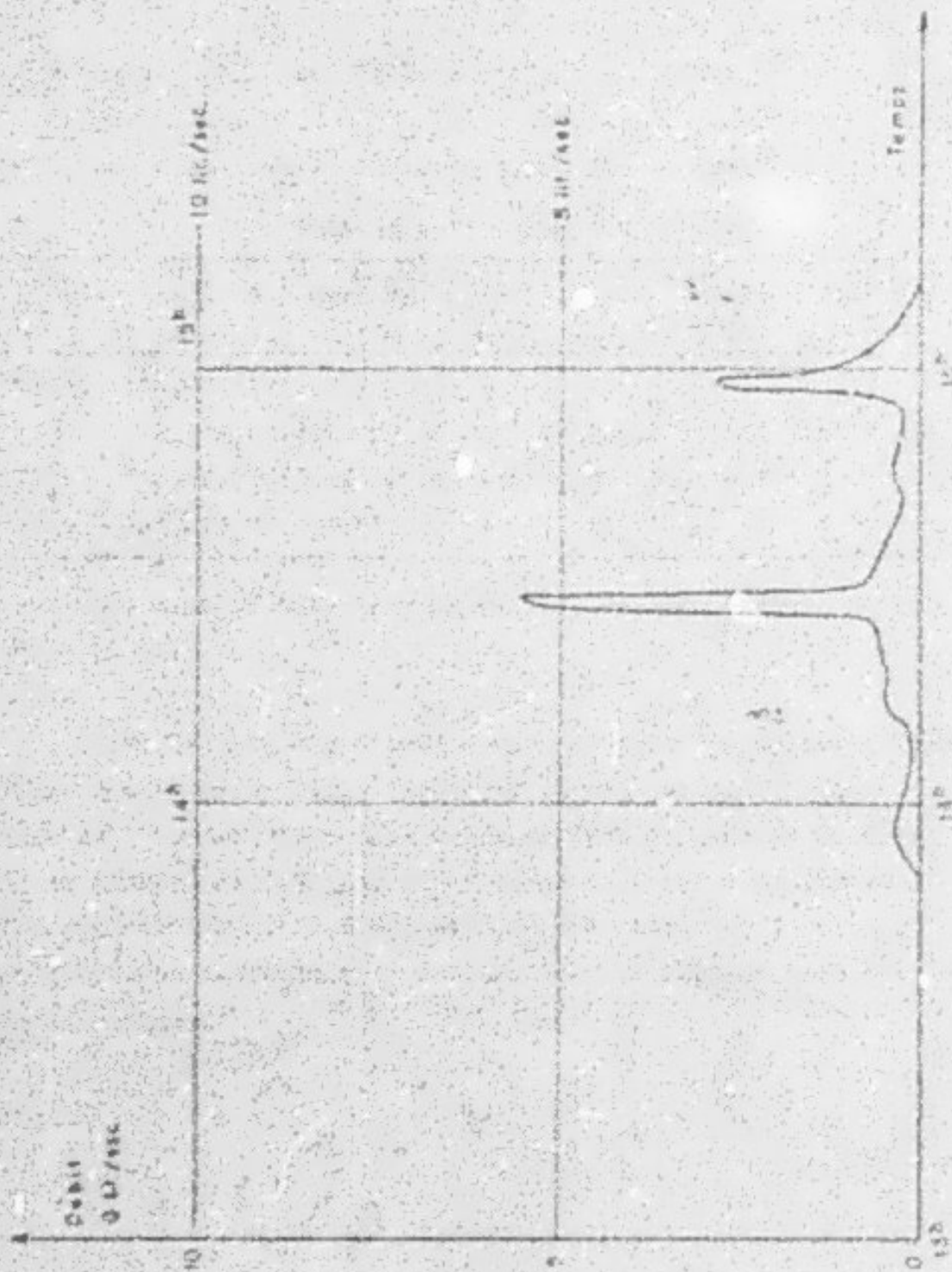
...

DJE6EL D155 A

PANCELLE II

CRUS du 4 décembre 1973 (YJ03)

Fig. 4



Nous possédons trop peu d'observations complètes pour en tirer des conclusions sur la genèse et la propagation du ruissellement. De façon générale, la parcelle réagit peu aux sollicitations pluviométriques puisque les coefficients de ruissellement restent inférieurs à 20 % pour des pluies moyennes comprises entre 10 et 60 millimètres. Il atteint 28 % pour la crue 73213 qui bénéficie de conditions favorables : humectation du sol d'une part et intensité pluviométrique relativement forte d'autre part. Nous laissons de côté le rôle de l'intensité dans la genèse du ruissellement. Cet aspect sera abordé ultérieurement.

2.2.2.1.2 2^{ème} parcelle : BISSI II

Cette parcelle comprend deux types de sol couvrant une superficie de 590 m².

Crue du 4 décembre 1973 (cf. Tableau n°11)

Nous décomposons la séquence pluvieuse en trois phases :

Tableau n°11

1	Durée	1	Réf.	1	h _p	1	V ₀	1	h _r	1	K _r	1	I moyl	1	I maxl	1	Q moyl	1	Q maxl	1	K _r
1		1		1	mm	1	m ³	1	mm	1	%	1	mm/h	1	mm/h	1	l/s	1	l/s	1	%
1	6H à 13H	1	7311	1	116,5	1	0	1	0	1	0	1	8	1	15	1	0	1	0	1	0
1	13H50 à 15H30	1	7312	1	118,3	1	2,49	1	14,22	1	23,0	1	22	1	24	1	1,28	1	5,5	1	3,6
1	15H55 à 16H10	1	7313	1	6,6	1	0,39	1	10,66	1	10,0	1	13,6	1	29	1	10,43*	1	1,7	1	1,9*
1	Journée	1	731	1	141,4	1	2,88	1	14,88	1	31,0	1	-	1	29	1	-	1	5,5	1	-

* L'averse est, dans ce cas, trop brève pour que ces valeurs soient représentatives.

Comme on peut s'y attendre sur une parcelle de cette dimension, l'hydrogramme (voir Fig.4) présente la même silhouette que le hétérogramme de l'averse, avec deux maxima très marqués et un débit "de base" de l'ordre de 0,5 l/s. Etant donné la vitesse de déroulement des deux enregistreurs et la difficulté de les caler sur l'horloge base, il serait illusoire de vouloir en déduire des indications précises sur les temps de réponse.

* Voir Fig.1

.../...

Malgré une pluviométrie de 16,6 mm, nous remarquons l'absence d'écoulement (7311) qui paraît due à l'état particulièrement sec du sol et à une faible intensité moyenne.

Crise du 12 décembre 1973 (cf. tableau n°12)

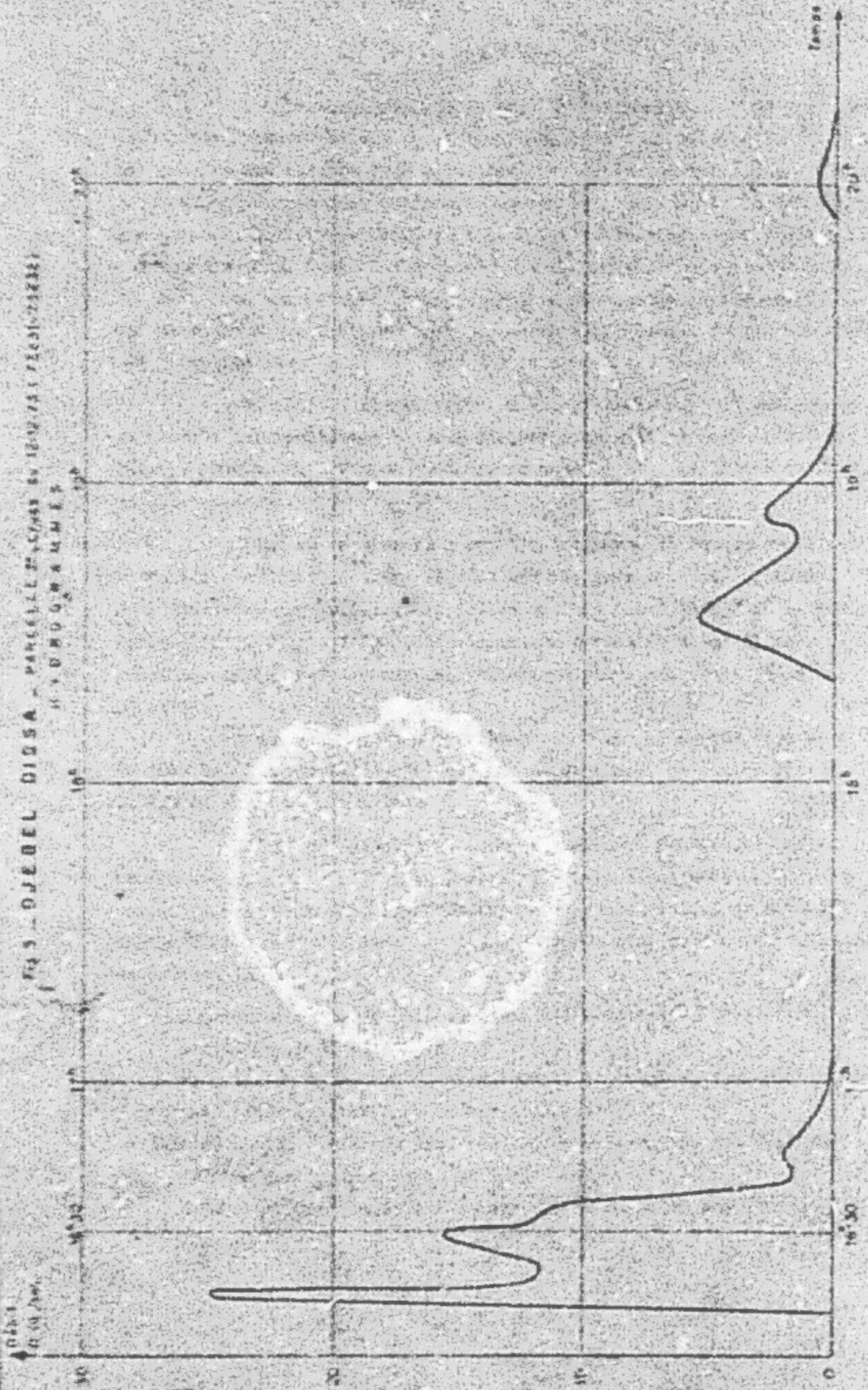
Nous déplorerons le rôle décevant en épisodes que celui utilisé sur la première parcelle, mis avec des subdivisions plus nombreuses permises par le bon fonctionnement du dispositif. Toutefois il faut signaler la précision médiocre du contrôle des débits par seuil (pale) qui se révèle mal adapté à la mesure des variations de débit constatée sur ce type de station en raison du repérage relativement grossier des hauteurs par le limnigraphe, des effets du vent et de la capillarité. Ces seuils ont fait, depuis, l'objet d'un remplacement par des déversoirs triangulaires présentant une meilleure sensibilité pour toutes les gammes de débit. Cette imprécision sur la mesure du ruissellement se répercute sur les divers paramètres et entraîne pour la crise considérée une erreur supplémentaire qui n'existe pas pour les autres séquences précédentes trop faibles pour produire un déversement.

Tableau n°12

Date	Réf.	hp	V ₀	h _r	H _r	Q moyl	Q maxl	Q moyl	Q maxl	K _r		
		mm	m3	mm	%	mm/h	mm/h	l/s	l/s	%		
2120 à 2135	173211	9,81	0,81	11,42	14,51	21	22	1,35	2,85	39		
4140 à 5115	173212	9,61	1,65	12,80	129	30	55	1,53	2,85	39		
5155 à 7135	173213	119,01	0,66	12,91	141,71	40	48	3,5	5,2	46		
1er épisode	17321	138,41	7,15	14,13	131,61	-	55	-	5,2	-		
611	113155	173221	3,31	0,17	10,29	8,81	10	15	0,15	0,15	9	
113155	116115	173222	6,31	0,14	10,23	3,71	9	12	0,09	0,11	6	
12ème épisode	17322	9,61	0,31	10,52	5,31	-	15	-	0,15	-		
116115 à 1711	173231	129,41	15,61	13,41	100	93	150	12,6	25	96		
11711	4	231	173232	138,41	7,93	13,51	35,11	36	55	4,3	5,8	65
13ème épisode	17323	167,81	27,51	14,91	169,21	-	150	-	25	-		
1 Journée	1732	1115,81	35,05	15,51	151,41	-	150	-	25	-		

11/12

Fig 3 - DJEBEL DIOSA - PARCELLES C/433 EN 18/12/75 (FICD/23232)



Nous remarquons au passage le cas particulier de l'averse 73231 pour laquelle h_p est supérieure à h_r . Cette anomalie tient en fait aux erreurs des mesures déjà signalées sur la pluviométrie et les débits. Si nous considérons pour cette même averse la pluviométrie au sol estimée par analogie à d'autres stations à + 11 %, les deux hauteurs peuvent être considérées comme égales. Par conséquent K_p est très voisin de 100 %. De plus, bien que cette éventualité soit envisageable physiquement, il est surprenant que K'_p moy. soit inférieur à K_p global, ce qui impliquerait une rétention momentanée de l'eau sur la parcelle.

En réalité il est probable que l'erreur sur les paramètres du calcul, habituellement masquée par des résultats permettant une certaine imprécision, est mise en évidence dans ce cas par l'incompatibilité qu'elle entraîne.

Nous ne construisons pas l'hydrogramme de chaque crue, cette opération s'avérant délicate et sans intérêt pour certaines averses. Pour d'autres, particulièrement celles qui ont donné lieu à des débordements (73213, 73231, 73232), l'hydrogramme permet de mieux figurer les réactions de la parcelle aux sollicitations pluviométriques (voir Fig. 3B et 5).

Nous remarquons au passage le temps de montée très bref de la crue du 12 décembre (73231) qui, d'un débit nul, conduit à près de 25 l/s en moins de 2 minutes.

Si l'on considère l'intensité maximale (150 mm/h) supposée ruisseler intégralement sur la parcelle, nous attendrions un débit maximal de 24,6 l/s. On peut donc admettre que le coefficient de ruissellement est bien de 100 % dans ce cas, à l'imprécision près des mesures, en particulier :

- aux remous autour du pluviographe qui soustrait à l'observation une partie des précipitations
- au principe de mesure du pluviographe qui sous-estime les fortes intensités (pertes lors du basculement)
- à l'échelle des temps trop réduite pour permettre une évaluation précise des intensités et du débit
- à la détermination de la hauteur exacte de pelle sur le seuil.

../.

Crué du 25 et 26 février 1974 (cf. Tableau n°13)

Tableau n° 13

Date	Heure	Réf.	h_p	V_0	h_r	K_r	I moy	Q moy	Q max
			m	m ³	m	%	mm/h	l/s	l/s
121H à 22H		7331	5,61	0	0	0	entre	0	0
124H à 2130		7332	119,2	0,45	0,76	4,0	11 et 20	0,12	0,20
1 Séquence		733	124,8	0,45	0,76	3,1	mm/h	-	0,20

Bien que le pléviographe n'ait fonctionné que pendant la premièreaverse qui n'a pas dépassé 8 mm/h, nous savons que les intensités sont assez faibles, ce qui paraît être confirmé par la faiblesse du ruissellement.

Les deux phases à débit constant relevées dans l'hydrogramme de la parcelle 1 (7332), sont moins nettes tout au moins pour la première dont le débit est assez variable. Pour la seconde, nous relevons un débit 0,14 l/s entre 2105 et 2130.

Crué des 11 et 12 mars 1974 (cf. Tableau n°14)

Tableau n°14

Date	Heure	Réf.	h_p	V_0	h_r	K_r	I moy	Q moy	Q max
			m	m ³	m	%	mm/h	l/s	l/s
11.3	18130	7341	6,6	0,16	0,27	4,1		0,27	0,60
12.3	112130 à 15110	7342	111,8	1,02	1,73	14,5		0,95	3,02
12.3	120110 à 20130	7342	5,8	0,35	0,61	10,5		0,43	0,57
	12ème épisode	7342	117,6	1,33	2,30	13,3		-	2,97
	1 Séquence	734	124,2	1,51	2,61	10,8		-	3,01

* A défaut d'indications sur l'intensité pléviométrique, les débits moyens et maximaux sont des débits apparents, compte non tenu de la correction de la part de débit due à l'ensemble de l'impluvium direct.

.../.

Saison 1973-1974 (cf. Tableau n°15)

De même que sur la parcelle I, nous remarquons l'effet réducteur sur le coefficient de ruissellement des petites pluies et la part déterminante des max crues du 12 décembre, qui constitue plus de 60 % de la lame d'eau ruisselée au cours de la saison.

Tableau n°15

	h_p	h_r	Z_r
	mm	mm	%
1973 - 1974	257,1	67,8	26,1

À l'échelle de l'inverse, exception faite pour la crue 71211, les coefficients de ruissellement restent inférieurs à 45 %. En fait ils paraissent refléter de façon significative l'intensité et la hauteur précipitée. Bien qu'il ne soit pas possible, étant donné le nombre restreint d'observations à notre disposition, de dissocier ces deux paramètres, il est probable que l'intensité demeure le facteur déterminant.

L'analyse des coefficients au cours de la journée du 12 décembre montre le rôle minime que semble avoir l'état du sol sur la détermination du ruissellement.

D'une façon générale on peut estimer que, pour des pluies inférieures à 20 millimètres, et des intensités moyennes de l'ordre de 20 à 30 mm/h, le coefficient de ruissellement de cette parcelle ne doit dépasser 30 %.

2.2.2.1.3 3ème parcelle BISSA III (cf. Tableau n°16)

Rappelons brièvement que cette parcelle couvre une superficie de 90 m² ne comprenant que des orfres gypseuses et qu'elle était équipée au début de la saison d'un système à partiteur radial conçu pour prélever le dixième des apports.

L'absence d'enregistreur, ne permettant pas un contrôle permanent des débits, réduit l'étude des phénomènes à l'analyse de l'événement global intervenu entre deux observations.

Saison 1973-1974 (cf. Tableau n°15)

De même que sur la parcelle I, nous remarquons l'effet réducteur sur le coefficient de ruissellement des petites pluies et la part déterminante des aux crues du 12 décembre, qui constitue plus de 83 % de la lame d'eau ruisselée au cours de la saison.

Tableau n°15

	I_p	I_r	K_r
	mm	mm	%
1973 - 1974	257,1	67,8	26,4

A l'échelle de l'inverse, exception faite pour la crue 73231, les coefficients de ruissellement restent inférieurs à 45 %. En fait ils paraissent refléter de façon significative l'intensité et la hauteur précipitée. Bien qu'il ne soit pas possible, étant donné le nombre restreint d'observations à notre disposition, de dissocier ces deux paramètres, il est probable que l'intensité demeure le facteur déterminant.

L'examen des coefficients au cours de la journée du 12 décembre montre le rôle minime que semble avoir l'état du sol sur la détermination du ruissellement.

D'une façon générale on peut estimer que, pour des pluies inférieures à 20 millimètres, et des intensités moyennes de l'ordre de 20 à 30 mm/h, le coefficient de ruissellement de cette parcelle ne doit dépasser 30 %.

2.2.2.1.3 Parcelle DISSA III (cf. Tableau n°16)

Rappelons brièvement que cette parcelle couvre une superficie de 90 m² ne comprenant que des croûtes gypseuses et qu'elle était équipée au début de la saison d'un système à partiteur radial conçu pour prélever le débit des apports.

L'absence d'enregistreur, ne permettant pas un contrôle permanent des débits, réduit l'étude des phénomènes à l'analyse de l'événement global intervenu entre deux observations.

A la suite d'un mauvais fonctionnement du dispositif, particulièrement lors des crues du 12 décembre, le partiteur a été supprimé et tout l'écoulement est collecté dans une cuve à débordement. Ainsi toutes les crues postérieures à cette date pourront être considérées en « réserve ».

Tableau n° 16

Période	Réf.	hp mm	V _s m ³	h _r mm	K _r %	
4.12.73	731	36,2	10,3	13	3,47	9,6
12.12.73	7321	38,2	10,7	34	8,16	21,4
	7322	9,6	0	0	0	0
	7323	64,6	12,2	43	12,9	38,6
	732	112,4	12,9	77	133,1	29,5
26. 2.74	733	122,8	10,1	195	2,16	9,5
12. 3.74	7342	17,2	10,3	12	3,47	20,2
Saison 1973-1974		242,6	3,7	97	42,2	17,4

Compte tenu de l'importance des crues du 12 décembre dans le bilan annuel, il est normal que le coefficient de ruissellement de la saison soit relativement faible. Si l'on tente une approche des coefficients de chaque crue, d'après les valeurs trouvées sur les autres parcelles et compte tenu des caractéristiques de celle-ci, on peut estimer :

$$\begin{aligned} 12 \text{ décembre } 1973 & : K_r \approx 55 \text{ à } 60 \% \\ 4 \text{ décembre } 1973 & : K_r \approx 15 \% \end{aligned}$$

A l'échelle de la saison, le bilan serait modifié et on obtiendrait :

$$K_r = 31,2 \%$$

ce qui semblerait plus conforme aux observations empiriques faites sur le terrain, selon lesquelles les crêtes gypseuses ruisselleraient davantage que les autres unités pédologiques.

../.

2.2.2.1.4 Comparaison des K_r selon les parcelles. Influence du milieu physique sur le ruissellement global
(cf. tableau n°18)

Si l'on regroupe les divers coefficients de ruissellement observés sur chaque parcelle pour une même période (voir tableau n°18), on peut remarquer que :

- les coefficients de ruissellement de la parcelle II sont toujours très nettement supérieurs à ceux de la parcelle I. Si l'on écarte les observations douteuses (antérieures au 1.1.74) la parcelle III semble être la plus apte au ruissellement,
- les parcelles II et III sont beaucoup plus sensibles aux petites pluies que la parcelle I. Ceci peut s'expliquer en partie par le rôle tampon que joue sur celle-ci la zone de siroisens sableux en bas de pente,
- on ne peut préjuger du comportement des sols aux fortes intensités, une seule parcelle ayant donné des résultats fiables lors des événements exceptionnels du 12 décembre,
- malgré un bon fonctionnement supposé du dispositif sur la parcelle I, les résultats obtenus pour les fortes intensités seraient difficilement comparables à ceux des autres parcelles étant donné la forme du ruissellement, en nappe sur II et III et en rigoles sur I (1),
- il serait fallacieux de vouloir tirer des enregistrements les temps de réponse des diverses parcelles. La rapidité des mouvements et la finesse des enregistrements n'autorisent pas une précision suffisante dans la détermination de ces paramètres. Tout au plus peut-on estimer l'ordre de grandeur qui se situe entre 5 et 10 minutes pour la première parcelle et autour de quelques minutes pour les deux autres.

2.2.2.2 Relation coefficient de ruissellement - Intensité pluviométrique

Alors que la notion de coefficient de ruissellement global peut être aisément définie, une certaine ambiguïté pèse sur la détermination de l'intensité pluviométrique moyenne, selon la durée choisie pour son calcul, durée de toute la pluie, durée de la pluie efficace, ou pas de temps choisi en fonction de la dimension du bassin versant.

(1) Les contacts entre l'élément liquide et le sol étant différents, les possibilités d'infiltration peuvent être modifiées et les paramètres de ruissellement s'en trouver affectés.

Comparaison des coefficients de ruissellement pour
chaque parcelle

Tableau n° 18

Événement pluviométrique	DISS. I	DISS. II	DISS. III
7311	-	0	-
7312	-	23,0	-
7313	-	10,0	-
731	3,5	11,8	9,6(15)
73211	5,2	11,5	-
73212	14,5	29	-
73213	26,7	41,7	-
7321	18,2	31,6	21,4
73221	-	8,8	-
73222	-	3,7	-
7322	0,5	5,4	0
73231	-	100	-
73232	-	35,1	-
7323	(60)	69,2	37,6
732	(41,6)	51,4	129,5 (57,5)
7331	-	0	-
7332	-	4,0	-
733	0,5	3,1	9,9
7341	0	4,1	-
73421	4,8	14,5	-
73422	3,8	10,5	-
7342	4,5	13,3	20,2
734	3,2	16,8	14,5
Saison	22	26,3	17,1 (31,2)

Toutes les valeurs notées entre parenthèses sont des estimations établies pour pallier la déficience ou le mauvais fonctionnement des dispositifs de mesure.

Il est fréquent en effet qu'à la suite du corps principal de l'averse subsiste une traîne de pluie d'intensité trop faible pour produire un ruissellement et, par conséquent, pour modifier K_r tandis que l'intensité moyenne en sera sensiblement diminuée.

Afin de lever cette ambiguïté, nous avons choisi de définir deux paramètres, I_{moy} et K'_r , sur un laps de temps qui sera déterminé selon les dimensions de la parcelle et constant pour toutes les averses considérées.

De façon à bien figurer le phénomène et surtout mieux approcher le régime permanent, il faut que ce "pas" de temps soit supérieur au temps de réponse du bassin. En outre, il doit aussi être suffisamment long pour permettre l'intégration des variations rapides d'intensité qui n'ont qu'un effet transitoire sur le ruissellement, et suffisamment court pour représenter le corps principal d'une averse moyenne en éliminant le plus possible l'effet des petites pluies antérieures ou postérieures sans conséquences notables pour le ruissellement.

Compte tenu des nombreuses lacunes dans les observations des parcelles I et III, nous nous bornerons pour cette campagne à l'étude de la parcelle II. Le pas de temps adopté dans ce cas est de quinze minutes. Il nous paraît satisfaire le mieux aux conditions énoncées précédemment, mais il est possible qu'à la lumière d'observations ultérieures plus complètes, un pas de temps différent soit jugé plus représentatif.

Nous avons ainsi déterminé Q_{moy} et I_{moy} , présentés dans les tableaux précédents pour chaque événement pluviométrique.

Si nous désignons par C_{ab} et I_c le coefficient d'absorption et l'intensité efficace qui représentent les parts respectives de l'intensité moyenne absorbée et ruisselée pendant ce même temps, nous avons défini K'_r par :

$$K'_r = \frac{I_c}{I_{\text{moy}}}$$

- Cette définition de l'intensité efficace est différente de celle généralement admise en hydrologie. Elle pourrait être comparée à l'intensité nette, mais calculée sur le pas de temps choisi.

DJEBEL OISSA

PARCELLE 2

Station de culture: Intensif aluminium

Fig 5

● 4 - 12-1973
 ○ 15 - 12-1973

$\frac{1}{2}$ L (moy)

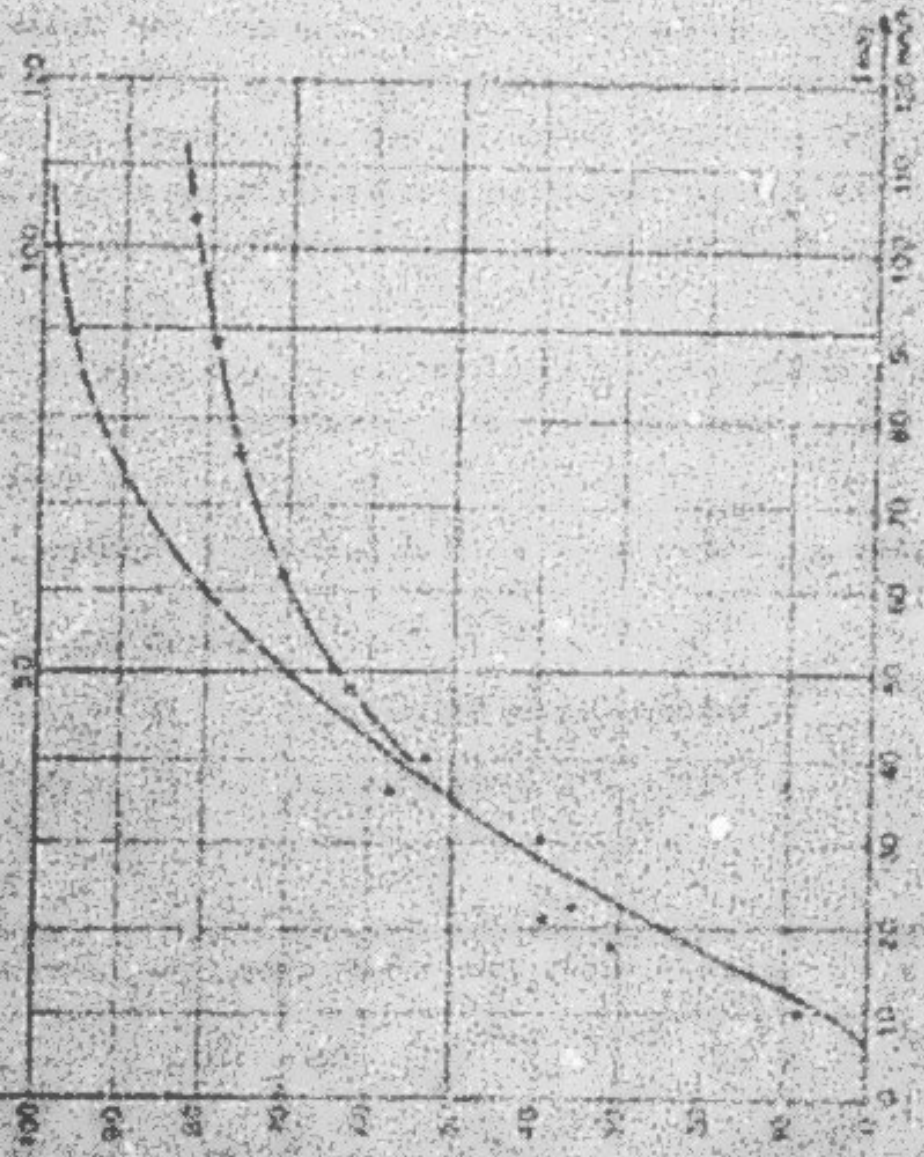
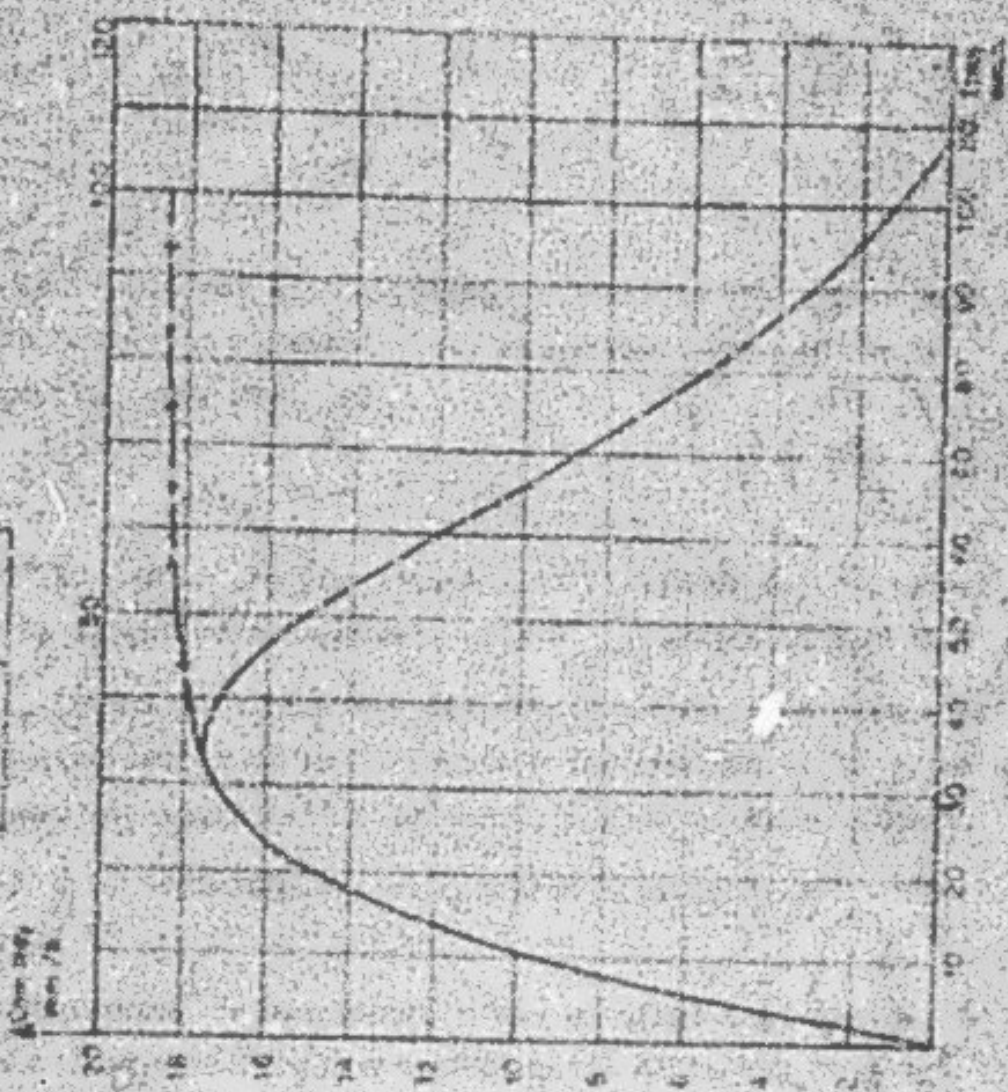


Fig 6

$\frac{1}{2}$ L (moy)



Nous obtenons ainsi diverses valeurs de K'_r correspondant chacune à une intensité pluviométrique et qui vont nous permettre de tracer une courbe (voir Fig. 6A) (1)

$$K'_r = f(I \text{ moy})$$

Elle a pour origine l'intensité limite de ruissellement et tend asymptotiquement vers la droite $K'_r = 1$ lorsque I moy croît.

L'intensité limite est déterminée à partir de plusieurs observations antérieures ou postérieures à des averse et se situe autour de 7 mm/h, avec une régularité remarquable à plus ou moins 1 mm/h.

L'interprétation de cette courbe appelle deux remarques principales :

- l'état d'humectation du sol semble avoir un effet négligeable sur le ruissellement. Au cours de la séquence du 12 décembre, certaines averse intervenant en fin de journée, donc sur un sol ayant reçu plus de 50 millimètres, ne semblent pas bénéficier d'un coefficient de ruissellement notablement supérieur aux autres,
- il faut limiter la zone de haute précision de cette courbe aux intensités inférieures à 50 mm/h. Nous ne possédons qu'une seule observation au delà et son incertitude est trop grande pour qu'elle puisse déterminer l'allure de la courbe. Il suffit, en effet, de remarquer qu'une erreur de 0,5 centimètre sur la détermination des hauteurs à l'échelle, très compatible avec la précision du matériel utilisé, se traduit par une erreur de l'ordre de 10 % sur les valeurs écoulées, et par conséquent, aussi sur I_e et K'_r .

Cette imprécision ne modifie guère l'allure générale de la courbe qui ne fait que tendre plus ou moins vite vers son asymptote lorsque I moy croît.

En écrivant l'équation du bilan hydrologique, on obtient :

$$I = C_i + I_{ef} + I_{ev}$$

où $I = \frac{dP}{dt}$ est l'intensité pluviométrique

$C_i = \frac{dI}{dt}$ est le coefficient d'infiltration

(1) Ces valeurs de K'_r figurent dans le tableau des caractéristiques de ruissellement établi pour chaque crue (voir 22212)

I_{ef} = intensité efficace instantanée

I_{ev} = la part d'intensité évapotranspirée

L'extension de ce bilan instantané à l'intervalle de temps choisi permet d'écrire :

$$I_{\text{moy}} = C_i \text{ moy} + I_{ef \text{ moy}} + I_{ev \text{ moy}}$$

Soit donc : $I_{\text{moy}} = C_{in} + I_e$

On peut supposer nulle la quantité d'eau retenue par les plantes ou évaporée pendant l'intervalle de temps de quinze minutes choisi au cours de l'averse et le coefficient d'infiltration sera considéré comme égal à C_{in} .

De l'équation précédente, on tire :

$$C_{in} = I_{\text{moy}} - I_e = (1 - K'_r) I_{\text{moy}}$$

Il est alors possible de déduire de la courbe précédente une courbe donnant l'intensité infiltrée dans le sol en fonction de l'intensité précipitée :

$$C_{in} = [1 - f(I_{\text{moy}})] I_{\text{moy}} = \gamma (I_{\text{moy}})$$

Si l'on s'en tient aux résultats trouvés, en négligeant l'erreur consécutive à l'imprécision des mesures, la courbe présentera l'allure d'une cloche asymétrique tendant vers $C_{in} = 0$ lorsque I_{moy} est supérieur à 100 mm/h (voir Fig. 6B). En réalité une erreur de 10 à 15 % dans la détermination de K'_r entraînerait une allure de la courbe fondamentalement différente, du moins pour les intensités supérieures à 30 mm/h (voir Fig. 6B tracée en trait interrompu long).

Cette dernière définition de la courbe paraîtrait a priori plus normale et pourrait s'interpréter facilement par l'action de la vitesse limite d'infiltration des eaux dans le sol qui limiterait le coefficient d'infiltration à près de 20 mm/h, quelle que soit l'intensité précipitée. Il est possible aussi d'envisager un bouleversement des structures superficielles du sol et, en particulier, une obturation des micropores par les particules arrachées sous la violence de la chute des gouttes d'eau lors des fortes intensités.

I_{ap} = Intensité efficace instantanée

I_{ap} = la part d'intensité évapotranspirée

L'extension de ce bilan instantané à l'intervalle de temps choisi permet d'écrire :

$$I_{ap} = Q_1 \text{ moy} + I_{ef} \text{ moy} + E_{\text{évap}} \text{ moy}$$

Soit donc : $I_{ap} = Q_{ap} + I_{ef}$

On se suppose celle la quantité d'eau retenue par les plantes et évaporée pendant l'intervalle de temps de quinze minutes choisi au cours de l'heure et le coefficient d'infiltration sera considéré comme égal à Q_{ap} .

De l'équation précédente, on tire :

$$Q_{ap} = I_{ap} - I_{ef} = (1 - K'_{\gamma}) I_{ap}$$

Il est alors possible de tracer de la courbe précédente une courbe donnant l'intensité infiltrée dans le sol en fonction de l'intensité précipitée :

$$Q_{ap} = [1 - f(I_{ap})] I_{ap} = \gamma(I_{ap})$$

Si l'on s'en tient aux résultats trouvés, en négligeant l'erreur causative à l'appréhension des mesures, la courbe présentera l'allure d'une cloche asymptotique tendant vers $Q_{ap} = 0$ lorsque I_{ap} est supérieur à 100 mmh (voir Fig. 23). En réalité une erreur de 10 à 15 % dans la détermination de K'_{γ} entraînerait une allure de la courbe fondamentalement différente, de même pour les intensités supérieures à 50 mmh (voir Fig. 23 tracé en trait interrompu long).

Cette dernière définition de la courbe paraît à priori plus normale et pourrait s'interpréter facilement par l'action de la vitesse limite d'infiltration des eaux dans le sol qui limiterait le coefficient d'infiltration à près de 50 mmh, quelle que soit l'intensité précipitée. Il est possible aussi d'observer un bouleversement des structures superficielles de sol et, en particulier, une altération des macropores par les particules arrachées sous la violence de la chute des gouttes d'eau lors des fortes intensités.

Dans ce cas le facteur limitatif n'est plus la vitesse d'infiltration imposée par l'horizon superficiel le plus imperméable, mais la perméabilité superficielle du sol variable selon l'intensité des précipitations. Ceci permettrait d'expliquer la décroissance de C_{am} en fonction de I moy en deçà de 30 mm/h, valeur pour laquelle on aurait l'infiltration optimale.

En fait il semble que sur ces sols, qui n'atteignent jamais l'état de saturation, la pellicule de battance joue un rôle fondamental; en effet ces sols sableux présentent une forte discontinuité de perméabilité en surface; ils sont peu poreux sur quelques mm en surface (pellicule de battance) et très poreux par la suite. Aussi pour des intensités pluviométriques allant de 0 à 30 mm/h, on explique aisément l'augmentation de C_{am} vers une valeur limite de 20 mm/h, qui correspondrait à l'intensité d'infiltration maximale que la perméabilité caractériserait.

Pour des intensités supérieures nous devons formuler trois hypothèses :

1. La pellicule de battance ne voit pas ses structures changer et laisse toujours passer comme un "filtre" 20 mm/h d'infiltration, très vite infiltrés vers le bas en raison d'une perméabilité plus forte; dans ce cas on peut imaginer que C_{am} ne varierait pas tant que la totalité du sol ne sera pas saturé.
2. La pellicule de battance sous l'impact des gouttes d'eau voit sa structure profondément bouleversée, sa perméabilité diminue par le colmatage dû aux particules argileuses mises alors en suspension.
 $C_{am} \rightarrow 0$ quand I moy croît.
3. L'intensité des précipitations est telle que les premiers centimètres très vite saturés n'ont plus de temps de réservoir, le sol "débordé"
 $C_{am} \rightarrow 0$ quand I moy croît.

EXPERIMENTAL DATA

DATA FROM THE INVESTIGATION OF THE EFFECTS OF THE ...

(Group No. 4 of 5 December 1973)

Table No. 6719

Date of birth	Sex	Age (y)	Weight (kg)	Height (cm)	Heart rate (b/min)	Respiration rate (l/min)	Temperature (°C)	Observations	
12.12.73	Male	1.1	7.2	63.0	139	2.4	0.6	0.411 0.081 2.41 0.331 1.0	1st 1/2 April 1974
12.12.73	Female	1.2	7.1	63.0	134	3.6	0	0.441 0.081 3.161 0.531 0.7	1st 1/2 April 1974
12.12.73	Male	1.3	7.05	63.0	132	13.1	0.3	0.461 0.031 11.61 0.461 1.2	1st 1/2 April 1974
12.12.73	Female	1.4	7.2	63.0	134	5.4	0.4	0.41 0.081 5.31 0.5 1 0.5	1st 1/2 April 1974
12.12.73	Male	1.1	7.3	63.0	140	2.7	0.2	0.6 1 0.1 1 1.81 0.411 1.2	1st 1/2 April 1974
12.12.73	Female	1.2	7.2	63.0	139	6.8	0.2	0.511 0.081 9.01 0.601 0.7	1st 1/2 April 1974
12.12.73	Male	1.3	7.05	63.0	132	12.6	0.4	0.5 1 0.031 12.81 0.411 0.5	1st 1/2 April 1974
12.12.73	Female	1.4	7.0	63.0	136	8.9	0.2	0.4 1 0.081 9.01 0.601 0.5	1st 1/2 April 1974
12.12.73	Male	1.5	7.05	63.0	136	10.5	0.3	0.351 0.081 10.81 0.501 0.6	1st 1/2 April 1974
12.12.73	Female	1.6	7.15	63.0	131	15.2	0.8	0.6 1 0.081 15.81 0.501 0.6	1st 1/2 April 1974

2.2.2.3 Qualité des eaux de ruissellement (cf. tableau n°10)

Nous donnons à titre d'exemple la qualité des eaux de ruissellement des crues des 4 et 12.12.1973.

Du tableau n°19 il ressort que :

- 1 - les eaux de ruissellement de la parcelle 3 sont nettement plus salées que celles des parcelles 1 et 2, malgré sa surface restreinte (87 m²),
- 2 - la salure est due principalement à Ca-SO₄, MgSO₄ et elle est proportionnelle à la surface des encroûtements typiques présents sur chaque parcelle,
- 3 - le fait de laisser en contact les transports solides et les eaux de ruissellement plus de 12 h augmente de façon notable la salure de l'eau; la mesure de la conductivité sur le terrain serait la meilleure solution. Ainsi entre 16H10 le 12.12 et 16H30 le 13.12, la salure dans P₁ a presque doublé, alors que dans P₂ elle augmentait de 30 % et de 20 % dans P₃,
- 4 - les teneurs en NaCl sont faibles et constantes sur les trois parcelles (0,4 à 0,5 mg/l),
- 5 - les eaux de ruissellement du 12.12 étaient dans l'ensemble plus chargées que celles du 4.12, surtout pour les parcelles 1 et 2.

2.2.3 Mesures de l'état hydrique du sol des parcelles -

Variations des réserves

2.2.3.1 Périodicité et dépouillement des mesures

Entre le 1.5.1973 et le 31.8.1973 nous avons effectué sur l'ensemble des 13 points de prélèvement du dispositif, 26 mesures d'humidité. Tous les épisodes pluvieux importants ont pu être "encadrés" avant et après la pluie (avec un délai maximal de 72 h pour le 25.2.1974), à l'exception de celui du 13.3.1974, où nous n'avons pu, par "erreur de chance" mesurer l'état hydrique du sol avant la pluie.

Le dépouillement des mesures d'humidité pondérale fournit des listes donnant la réserve en eau de chaque horizon, par l'intermédiaire de l'humidité volumique, tout au cours de l'année.

Vous rappeller que les points de mesures d'humidité H_1 sont affectés de la manière suivante :

- Parcelle n°1 (ensemble de la tresse) : H_1 (microsonne sédiment), H_2, H_3 (microsonne insubmersible), H_4, H_5 (microsonne tranquille), H_6 et H_7 (encroûtements épaveux)
- Parcelle n°2 : H_8, H_9 (microsonne tranquille), H_{10} (encroûtements épaveux)
- Parcelle n°3 : H_{11} (encroûtements épaveux)

2.2.3.2 Appréciation globale

Pour pouvoir en avoir une appréciation globale on comparera le profil hydrique le plus sec et le profil hydrique le plus humide d'une même bande hydrologique pour chaque unité de sol. C'est ainsi que pour l'année 1973-1974, le profil le plus humide a été enregistré le 11.12.73 alors qu'il s'est déjà traité en espèce 181,9 cm sur l'ensemble des parcelles, et que le profil le plus sec s'est traité de septembre et d'octobre 1973, ou celui du 15 août 1974.

Vous pouvez ainsi mettre en évidence sur le tableau n°20 :

- l'épaisseur de la tranche de sol soumise aux variations de teneur en eau de chaque unité
- la facilité de chaque sol à absorber l'eau : les 181,9 cm traités entre le 1.9 et le 12.12.73 ayant provoqué des accroissements de stock allant de 72,3 cm (encroûtement épaveux à 183,7 cm (microsonne insubmersible).

Tableau n°20

Point de mesure de l'humidité du sol	H_1	H_2	H_3	H_4	H_5	H_6	H_7	H_8	H_9	H_{10}	H_{11}
Épaisseur du sol soumise aux variations d'humidité (cm)	130	130	130	90	70	70	60	70	70	70	70
Variation maximale de stock d'eau ($S_2 - S_1$)	181,9	181,9	181,9	129,4	101,5	101,5	81,0	101,1	101,1	101,1	101,1
Amplitude maximale de H_1 (H_1) (tranche la plus humide)	9,4	11,5	12,6	14,7	11,5	10,7	10,5	15,3	16,2	15,3	16,7

Nous rappelons que les points de mesures d'humidité H_p sont affectés de la manière suivante :

- Parcelle n°1 (ensemble de la toposéquence)
 N_1 (sierozoms sodaux), N_2, N_3 (sierozoms ensablés), N_4, N_5 (sierozoms trouqués), N_6 et N_7 (encroûtements gypseux)
- Parcelle n°2
 N_8, N_9 (sierozoms trouqués), N_{10} (encroûtements gypseux)
- Parcelle n°3
 N_{11} (encroûtements gypseux)

2.2.3.2 Appréciation globale

Nous pouvons avoir une appréciation globale en comparant le profil hydrique le plus sec et le profil hydrique le plus humide d'une même bande hydrologique pour chaque unité de sol. C'est ainsi que pour l'année 1973-1974, le profil le plus humide a été enregistré le 13.12.73 alors qu'il était déjà tombé en moyenne 184,9 mm sur l'ensemble des parcelles, et que le profil le plus sec était celui de septembre et d'octobre 1973, ou celui du 15 août 1974.

Nous pouvons ainsi mettre en évidence sur le tableau n°20

- l'épaisseur de la tranche de sol soumise aux variations de teneur en eau de chaque unité
- la facilité de chaque sol à absorber l'eau; les 184,9 mm tombés entre le 1.9 et le 13.12.1973 ayant provoqué des accroissements du stock allant de 72,3 mm (encroûtement gypseux à 169,7 mm (sierozoms ensablés)).

Tableau n°20

Point de mesures de l'humidité du sol	N_1	N_2	N_3	N_4	N_5	N_6	N_7	N_8	N_9	N_{10}	N_{11}
Épaisseur du sol soumise aux variations d'humidité (cm)	130	130	130	90	70	70	60	70	70	60	60
Variation maximale du stock d'eau ($St_p - St_c$)	146,0	165,8	159,7	110,2	91,4	90,5	88,0	74,1	76,0	75,0	72,3
Amplitude maximale de H_p (%) (tranche la plus humide)	9,4	11,5	12,6	14,0	13,5	16,7	16,5	15,3	15,2	15,8	15,7

De cette première approche globale nous pouvons dégager certaines remarques :

- les microsols sableux N₁, et surtout N₂ et N₃ (voile délicate) absorbent plus facilement l'eau que les microsols tranquils N₅, N₈ et N₉ ou les encroûtements gypseux N₆, N₇, N₁₀, N₁₁.
- les sols de la parcelle n°2 semblent se comporter de façon homogène à l'humectation malgré leurs différences morphologiques fondamentales.
- les différences constatées à l'humectation pour les mêmes types de sol des trois parcelles sont surtout liées à l'irrégularité de la pluviosité sur l'ensemble de la station, la parcelle n°1 est la plus arrosée, alors que la parcelle n°3 l'est nettement moins.

2.2.3.3 Mécanisme des transferts d'eau le long de la topographie au cours des crues principales, et au cours de la totalité de l'année hydrologique

À l'exception de la parcelle n°3, qui nous donne le résultat de l'humectation des encroûtements gypseux, les parcelles ne fournissent que des coefficients de ruissellement globaux. Aussi avons-nous essayé d'approcher la contribution spécifique de chaque unité de sol au ruissellement en encadrant par des mesures d'humidité les pluies les plus importantes; en fait il s'agit plus de la détermination du coefficient d'efficacité de la pluie à la recharge des réserves en eau du sol

$$K_e \text{ (coefficient d'efficacité de la pluie)} = \frac{h_1}{h_p}$$

où h_1 = eau infiltrée dans le sol (mm)
 h_p = précipitation en mm

Comme nous contrôlons pratiquement toujours la tranche entre des profils et que le drainage oblique est quasiment nul, et si le délai $t_2 - t_1$ "correspondant" aux mesures de S_{t_1} et de S_{t_2} (réserve en eau) avant et après la pluie est très court, on peut considérer que :

$$\text{coefficient de ruissellement } K_r = 1 - K_e$$

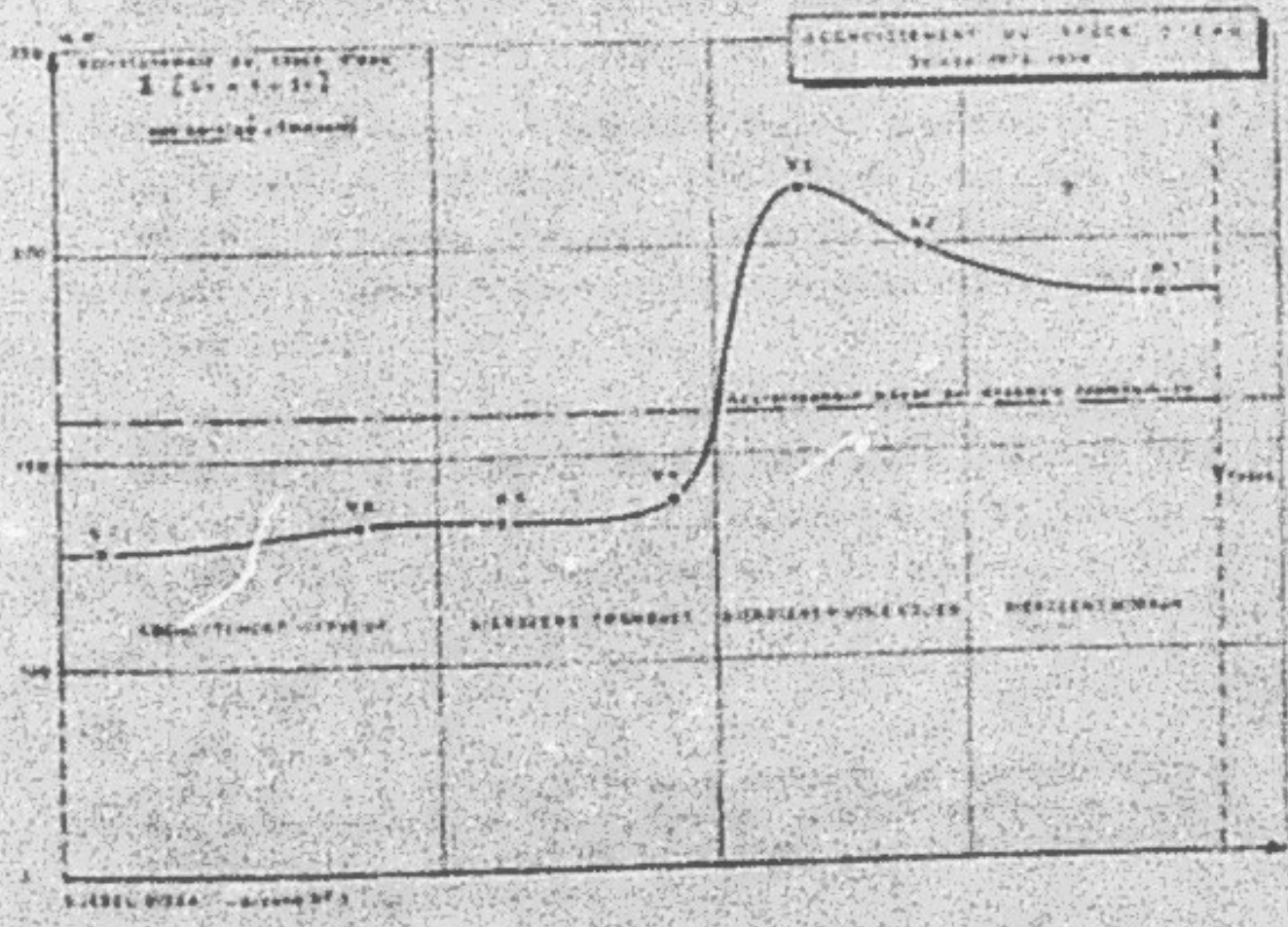
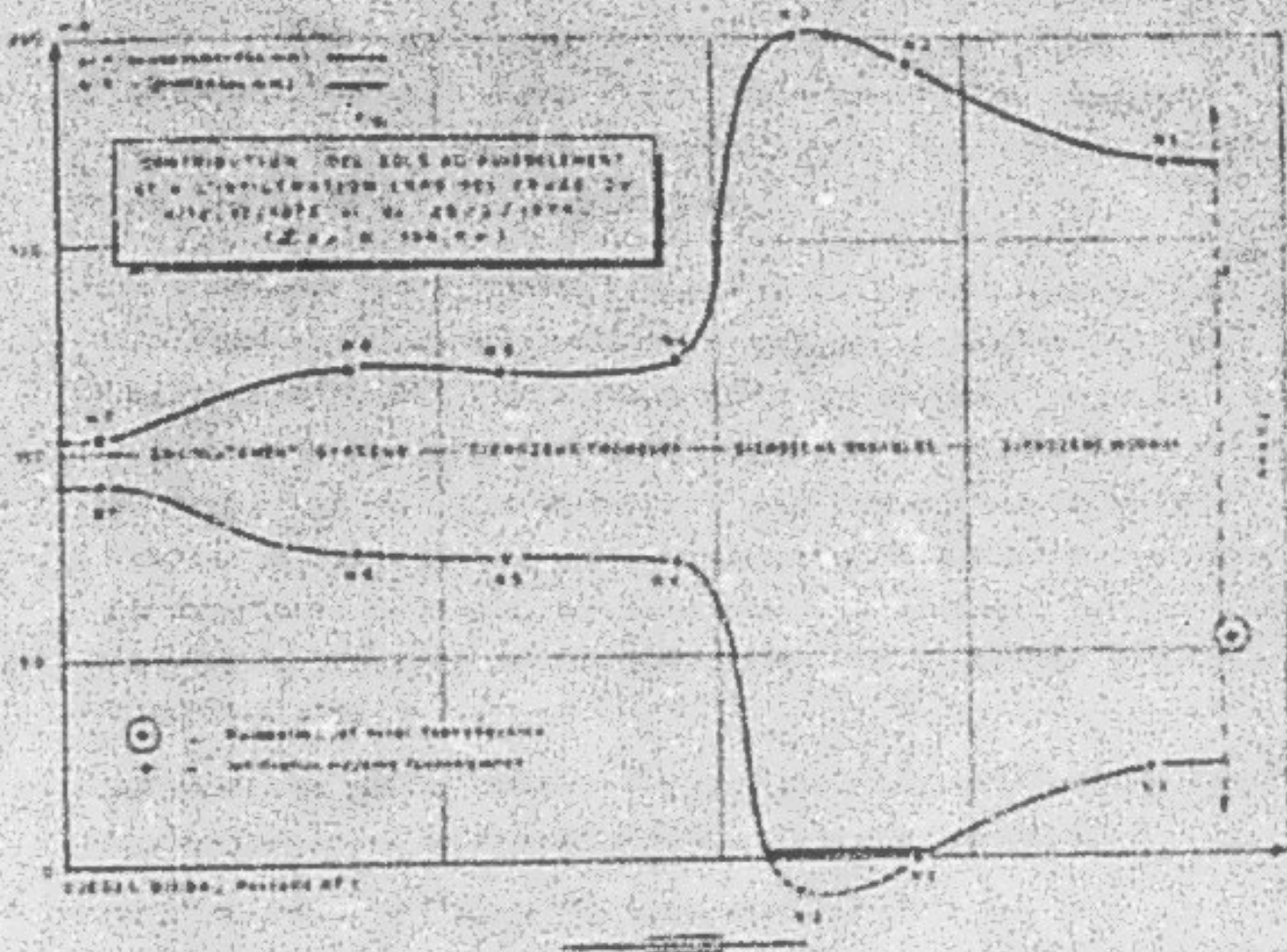
.../.

21. BISE - CONTRIBUTION ÉCARTÉE DE CHAQUE QUOTE DE LA 1. D'UTILISATION
 Liste des zones des 1, 12, 12, 11 et 25, 1, 14

	Parcelle n° 1 (1650 a2)						Parcelle n° 2 (5400 a2)						Parcelle n° 3 (6700 a2)	
	1	2	3	4	5	6	7	8	9	10	11	12	13	Total
Unité surface	1 (580a2)	1 (5300a2)	1 (4100a2)	1 (4400a2)	1 (5300a2)	1 (4000a2)	1 (8450a2)	Total	1 (1670a2)	1 (1920a2)	1 (2310a2)	Total	1	Total
1 4.12.73	1ha a2 48,6	1 57,9	1 53,5	1 38,4	1 33,6	1 24,5	1 25,0	1 39,8	1 35,1	1 36,9	1 37,7	1 36,5	1 32,0	1 32,0
1 12.12.73	1ha a2 115,0	1 138,0	1 119,0	1 91,5	1 80,0	1 58,2	1 59,5	1 96,5	1 85,5	1 88,2	1 91,0	1 87,2	1 89,0	1 89,0
1 25.2.74	1ha a2 25,8	1 26,4	1 26,0	1 22,1	1 21,5	1 20,2	1 21,3	1 23,9	1 22,8	1 23,4	1 23,0	1 23,0	1 18,5	1 18,5
(1)	1ha a2 109,0	1 106,2	1 106,5	1 90,5	1 88,2	1 82,7	1 87,0	1 97,5	1 93	1 95,0	1 93,5	1 93,5	1 82,0	1 82,0
1 1ha a2 106,7	1 109,3	1 214,3	1 140,2	1 135,1	1 133,7	1 127,6	1 159,7	1 109,4	1 110,6	1 109,9	1 109,9	1 1104,0	1 104,0	1 104,0
1 1ha a2 1.9.73	1ha a2 64,6	1 67,0	1 74,2	1 48,5	1 45,6	1 45,2	1 42,2	1 55,2	1 42,7	1 44,2	1 43,0	1 43,0	1 43,0	1 43,0
1 1ha a2 31,0.73	1ha a2 61,6	1 101,0	1 104,0	1 75,5	1 73,6	1 73,2	1 69,2	1 80,8	1 66,9	1 66,7	1 65,0	1 64,7	1 62,0	1 62,0
(2)	1ha a2 106,7	1 109,3	1 214,3	1 140,2	1 135,1	1 133,7	1 127,6	1 159,7	1 109,4	1 110,6	1 109,9	1 109,9	1 1104,0	1 104,0

- (1) prélèvements inutilité effectués dès après les pluies
- (2) en dehors des cycles minimaux d'humectation et de dessèchement

DJEBEL DISSA - Parcelle N°1 - Fig 7



Du tableau n°21 où nous avons donc calculé K_p de chaque unité de sol pour chaque parcelle (en le pondérant par les surfaces), et des graphiques de la figure n°7 qui nous montrent les transferts d'eau le long de la toposéquence (Parcelle n°1), pour les crues principales et pour l'année (1) il ressort que:

- sur l'ensemble des stériles tranquilles et les encroûtements gypseux présentent sur l'ensemble de l'année un K_p non corrigé sensiblement identique (43 à 46,5 %). Le comportement des stériles tranquilles, pourtant sableux, vis-à-vis de l'infiltration, ne s'explique que par la présence d'une pellicule de battance qui, lors des pluies importantes, favorise un ruissellement aussi important que celui des encroûtements gypseux. Cette pellicule, sur des sables fins en élévation (absence de pénétration du troupeau) est favorable et ne fait qu'aggraver le déficit d'infiltration,
- les stériles moins ensablés (N_2, N_3) absorbent 20 % de plus d'eau que les stériles total présentant déjà une pellicule de battance,
- sur l'ensemble de l'année (K_p étant corrigé)
 - * les encroûtements gypseux et les stériles tranquilles ont absorbé en moyenne environ 70 % de la pluviométrie totale, mais n'ont absorbé que 30 % de la pluie du 12.12.1973,
 - * les stériles moins ensablés ont absorbé 52 % de la pluviométrie totale, mais 76,5 % le 12.12.1973 contre 115 % le 4.12.1973; donc lors des petites crues N_1 , tout comme N_2 et N_3 , ne ruisselle pas globalement et reçoit un apport d'eau supplémentaire dû au ruissellement des unités amont,
 - * les stériles ensablés ont absorbé plus de 100 % de la pluviométrie totale grâce au ruissellement des parties amont. Cependant lors des pluies du 12.12.1973, 10 % environ en moyenne des 127,2 mm tombés ont cependant ruisselé. Par contre le 4.12. N_2 a absorbé 138 % de la pluie.

.../.

(1) Pour l'année, le tableau n°21 nous montre K_p mesuré (par méthode profils hydriques), en dehors des cycles mineurs d'humectation et de dessèchement. Il convient de le corriger pour toutes les pluies peu importantes n'ayant pas ruisselé

Du tableau n°21 où nous avons donc calculé K_0 de chaque unité de sol pour chaque parcelle (en le pondérant par les surfaces), et des graphiques de la figure n°7 qui nous montrent les transferts d'eau le long de la toposéquence (Parcelle n°1), pour les crues principales et pour l'année (1) il ressort que:

- sur l'ensemble des microzones trouquées et les encroûtements gypseux présentant sur l'ensemble de l'année un K_0 non corrigé sensiblement identique (43 à 48,5 %). Le comportement des microzones trouquées, pourtant sableux, vis-à-vis de l'infiltration, ne s'explique que par la présence d'une pellicule de battance qui, lors des pluies importantes, favorise un ruissellement aussi important que celui des encroûtements gypseux. Cette pellicule, sur des zones sèches en défens (absence de piétinement du troupeau) est favorisée et ne fait qu'aggraver le déficit d'infiltration,
- les sieres nodaux ensablés (N_2, N_3) absorbent 20 % de plus d'eau que la sieren nodal présentant déjà une pellicule de battance,
- sur l'ensemble de l'année (K_0 étant corrigé)
 - les encroûtements gypseux et les microzones trouquées ont absorbé en moyenne environ 70 % de la pluviométrie totale, mais n'ont absorbé que 30 % de la pluie du 12.12.1973,
 - les microzones nodaux ont absorbé 82 % de la pluviométrie totale, mais 76,5 % le 12.12.1973 contre 115 % le 4.12.1973; donc lors des petites crues N_1 , tout comme N_2 et N_3 , ne ruisselle pas globalement et reçoit un apport d'eau supplémentaire dû au ruissellement des unités avaut,
 - les microzones ensablés ont absorbé plus de 100 % de la pluviométrie totale grâce au ruissellement des parties avaut. Cependant lors des pluies du 12.12.1973, 10 % environ en moyenne des 127,2 mm tombés ont cependant ruisselé. Par contre le 4.12. N_2 a absorbé 138 % de la pluie.

.../.

(1) Pour l'année, le tableau n°21 nous montre K_0 corrigé (par méthode profils hydriques), en dehors des cycles mineurs d'humectation et de dessèchement. Il convient de le corriger pour toutes les pluies peu importantes n'ayant pas ruisselé.

- Si l'on compare K_r mesuré par l'hydrologue à $1 - K_e$ mesuré par la méthode des profils hydriques, la corrélation est moyenne pour les crues des 4 et 12.12.1973, et bonne pour l'année, sur la seule parcelle 2 dont le fonctionnement a été satisfaisant tout au cours de l'année.

2.2.4 Essai d'établissement d'un bilan d'eau pour la saison 1973-1974

2.2.4.1 Bilan hydrologique

L'équation du bilan hydrologique appliquée à la surface du sol pour chaque séquence pluvieuse est :

$$P = E + I + R$$

où

P = précipitations

E = évaporation à la surface du sol ou des plantes ayant pu retenir l'eau

I = infiltration

R = ruissellement

Les observations prouvent que, pour une pluie moyenne, E est négligeable par rapport aux autres termes du bilan et de toute façon inférieur à l'erreur de mesure.

P et R sont mesurés par l'hydrologue. I est calculé par le pédologue. Les termes du bilan pour chaque séquence de la saison, inscrites dans les tableaux suivants, font ressortir l'erreur sur le bilan :

$$\Delta B = P - (R + I)$$

.../.

Parcelle I

Tableau n°22

Date	P mm	I mm	R mm	ΔB mm	$\frac{\Delta B}{P}$ %
4.12.73	41,3	35,2	1,25	+ 0,2	+ 0,5
12.12.73	129,1	79,7	(57,6)	- 8,2	- 6,4
26.02.74	24,5	23,9	0,12	+ 0,5	+ 2,0
12.03.74	18,0	(17,2)	0,51	(0)	(0)
Total des séquences avec ruissellement	212,9	160,6	59,8	- 7,5	- 3,5
Total des séquences sans ruissellement	58,6	58,6	0	-	-
Bilan 1973-1974	271,7	219,4	59,6	- 7,5	- 2,8

Soit à l'échelle annuelle :

$$K_r = 22 \%$$

$$K_c = 60,8 \%$$

K_c étant le coefficient d'efficacité de la plate, il apparaît donc un excédent de 2,8 %.

Parcelle II

Tableau n°23

Date	P mm	I mm	R mm	ΔB mm	$\frac{\Delta B}{P}$ %
4.12.73	41,6	36,6	4,25	- 0,21	- 0,2
12.12.73	115,8	39,3	59,5	+17,0	+14,6
26.02.74	24,8	23,0	0,75	+ 1,0	+ 4,0
12.03.74	17,6	(15,0)	2,51	(0)	(0)
Total des séquences avec ruissellement	199,6	113,9	67,6	+ 17,9	+ 9
Total des séquences sans ruissellement	57,5	57,5	0	-	-
Bilan 1973-1974	257,1	171,4	67,6	+ 17,9	+ 7

Soit à l'échelle annuelle :

$$K_r = 26,1 \%$$

$$K_c = 66,7 \%$$

et donc un déficit de 7 %.

Parcelle I

Tableau n°22

Date	P mm	I mm	R mm	ΔB mm	$\frac{\Delta B}{P}$ %
4.12.73	41,3	39,8	1,28	+ 0,2	+ 0,5
12.12.73	129,1	79,7	(57,6)	- 8,2	- 6,4
26.02.74	24,5	23,9	0,12	+ 0,5	+ 2,0
12.03.74	18,0	(17,2)	0,81	(0)	(0)
Total des sé- quances avec ruissellement	212,9	160,6	59,8	- 7,5	- 3,5
Total des sé- quances sans ruissellement	58,8	58,8	0	-	-
Saison 1973-1974	271,7	219,4	59,8	- 7,5	- 2,8

Soit à l'échelle annuelle :

$$K_r = 22 \%$$

$$K_e = 80,8 \%$$

K_e étant le coefficient d'efficacité de la pluie. Il apparaît donc un excédent de 2,8 %.

Parcelle II

Tableau n°23

Date	P mm	I mm	R mm	ΔB mm	$\frac{\Delta B}{P}$ %
4.12.73	41,4	36,6	0,85	- 0,1	- 0,2
12.12.73	115,8	39,3	59,5	+17,9	+14,6
26.02.74	24,3	23,0	0,76	+ 1,0	+ 4,0
12.03.74	17,6	(15,0)	2,61	(0)	(0)
Total des sé- quances avec ruissellement	199,6	113,9	67,8	+ 17,9	+ 9
Total des sé- quances sans ruissellement	57,5	57,5	0	-	-
Saison 1973-1974	257,1	171,4	67,8	+ 17,9	+ 7

Soit à l'échelle annuelle :

$$K_r = 26,4 \%$$

$$K_e = 66,7 \%$$

et donc un déficit de 7 %.

Parcelle III

Tableau n°24

Date	P mm	I mm	R mm	ΔB mm	$\frac{\Delta B}{P} \%$
4.12.73	36,2	32,0	3,5	+ 0,71	+ 2
12.12.73	112,4	32,1	33,3	+17,21	+ 42
26.02.74	22,8	18,5	2,2	+ 2,11	+ 92
12.03.74	17,2	(13,7)	3,5	0	0
Total des séquences avec ruissellement	188,6	96,3	42,3	+50	+26,5
Total des séquences sans ruissellement	54,0	54,0	0	-	-
Saison 1973-1974	242,6	150,3	42,3	+50	+20,6

Soit à l'échelle annuelle :

$$K_r = 17,4 \%$$

$$K_o = 62,0 \%$$

et donc un déficit de plus de 20 %.

Comme nous l'avons précédemment signalé (voir 2.2.1.3) cette erreur a principalement pour origine le fonctionnement défectueux du partiteur. Si on se base sur les estimations de K_r pour les crues comparées, on obtient :

Tableau n°25

	P	I	R	ΔB	$\frac{\Delta B}{P}$
Saison 1973-1974	242,6	150,3	75,7	+ 16,6	+ 6,8

avec $K_r = 31,2 \%$.

.. / .

Si l'on s'en tient à ces dernières valeurs, on remarque que pour les trois parcelles l'erreur sur l'équilibre du bilan reste inférieure à 7 % ce qui paraît satisfaisant compte tenu de la précision des diverses méthodes de mesures employées.

Dans les trois cas on constate aussi que l'erreur sur le bilan annuel provient quasi exclusivement de l'erreur sur le séquent du 12 décembre, dont le caractère exceptionnel a nuit à la maîtrise et à la bonne précision des méthodes.

On remarque enfin que, d'une façon générale, l'erreur relative croît en fonction inverse de la taille de la parcelle. Cette constatation paraît surprenante car il semble a priori plus facile d'analyser les mécanismes à échelle réduite sur une parcelle pouvant être plus homogène que sur des parcelles de dimensions moyennes et présentant une certaine hétérogénéité (succession d'arbres de sols différents). Elle pourrait s'expliquer par l'inadaptation des méthodes employées pour la détermination de l'humidité dans les sols gypseux qui représentent la totalité ou une partie des petites parcelles.

Si l'on tente une approche du bilan réel, c'est-à-dire à partir de la pluviométrie réelle, dans un ardeur au sol, l'équilibre du bilan s'en trouvera sensiblement modifié et toutes les parcelles présentent un déficit compris entre 7 et 16 %, dans le cas où les valeurs de la parcelle III sont estimées. Bien que les mesures de profils hydriques ne soient pas toujours immédiatement consécutives aux pluies, il semble peu probable que l'évapotranspiration durant ce court laps de temps puisse combler le déficit.

2.2.4.2 Bilan d'eau interne

L'équation du bilan interne pour l'année est :

$$P = R + \Delta S + D_o + D + E$$

où

P = pluie totale tombée

E = évapotranspiration réelle

R = ruissellement

ΔS = variation de la réserve en eau pendant l'année

D_o = drainage oblique

D = volume absorbé (drainage) ou restitué par la base de profil (remontées profondes par capillarité).

.../.

Si l'on s'en tient à ces dernières valeurs, on remarque que pour les trois parcelles l'erreur sur l'équilibre du bilan reste inférieure à 7 % ce qui paraît satisfaisant compte tenu de la précision des diverses méthodes de mesures employées.

Dans les trois cas on constate aussi que l'erreur sur le bilan annuel provient quasi exclusivement de l'erreur sur la sécheresse de 12 décembre, dont le caractère exceptionnel a lui-même à la maîtrise et à la bonne précision des méthodes.

On remarque enfin que, d'une façon générale, l'erreur relative croît en fonction inverse de la taille de la parcelle. Cette constatation paraît surprenante car il semble a priori plus facile d'appliquer les méthodes à échelle réduite sur une parcelle pouvant être plus homogène que sur des parcelles de dimensions moyennes et présentant une certaine hétérogénéité (succession d'unités de sols différentes). Elle pourrait s'expliquer par l'adaptation des méthodes employées pour la détermination de l'acidité dans les sols gypseux qui représentent la totalité ou une partie des petites parcelles.

Si l'on tente une approche du bilan réel, c'est-à-dire à partir de la pluviométrie réelle, donc mesurée au sol, l'équilibre du bilan s'en trouvera sensiblement amélioré et toutes les parcelles présentent un déficit compris entre 7 et 16 %, dans le cas où les valeurs de la parcelle III sont estimées. Bien que les mesures de profils hydriques ne soient pas toujours immédiatement représentatives aux pluies, il semble peu probable que l'évapotranspiration durant ce court laps de temps puisse couvrir le déficit.

2.2.1.3 Bilan d'eau interne

L'équation du bilan interne pour l'année est :

$$P = R + \Delta S + D_0 + D + E$$

où

P = pluie totale tombée

E = évapotranspiration réelle

R = ruissellement

ΔS = variation de la réserve en eau pendant l'année

D_0 = drainage altimétrique

D = volume absorbé (drainage) ou restitué par la base de profil (réserves profondes par capillarité).

Les observations effectuées au cours de l'année nous montrent que :

- A3 = 0 puisque tous les profils de la toposequence reviennent avant le 15.8.1973 à l'état du 19.11.1973
- D = 0 puisque pour tous les profils nous contrôlons la teneur sèche ne subissant aucune variation d'humidité
- De = s'il existe ne peut se produire que lors des pluies très importantes ou immédiatement après; jamais nous n'avons pu le mettre en évidence même le 13.12.1973 où nous avons prélevé l'humidité des sols 12 h après les pluies. Nous supposons donc De = 0.

Deux ayant contrôlé pratiquement tous les transferts d'eau de cette toposequence au cours de cette saison, nous pouvons affirmer que l'EVR a absorbé la totalité de P - R, soit la pluie infiltrée.

Sur la parcelle n°1, si l'on considère que le 19.11.1973 marque le début de la saison des pluies :

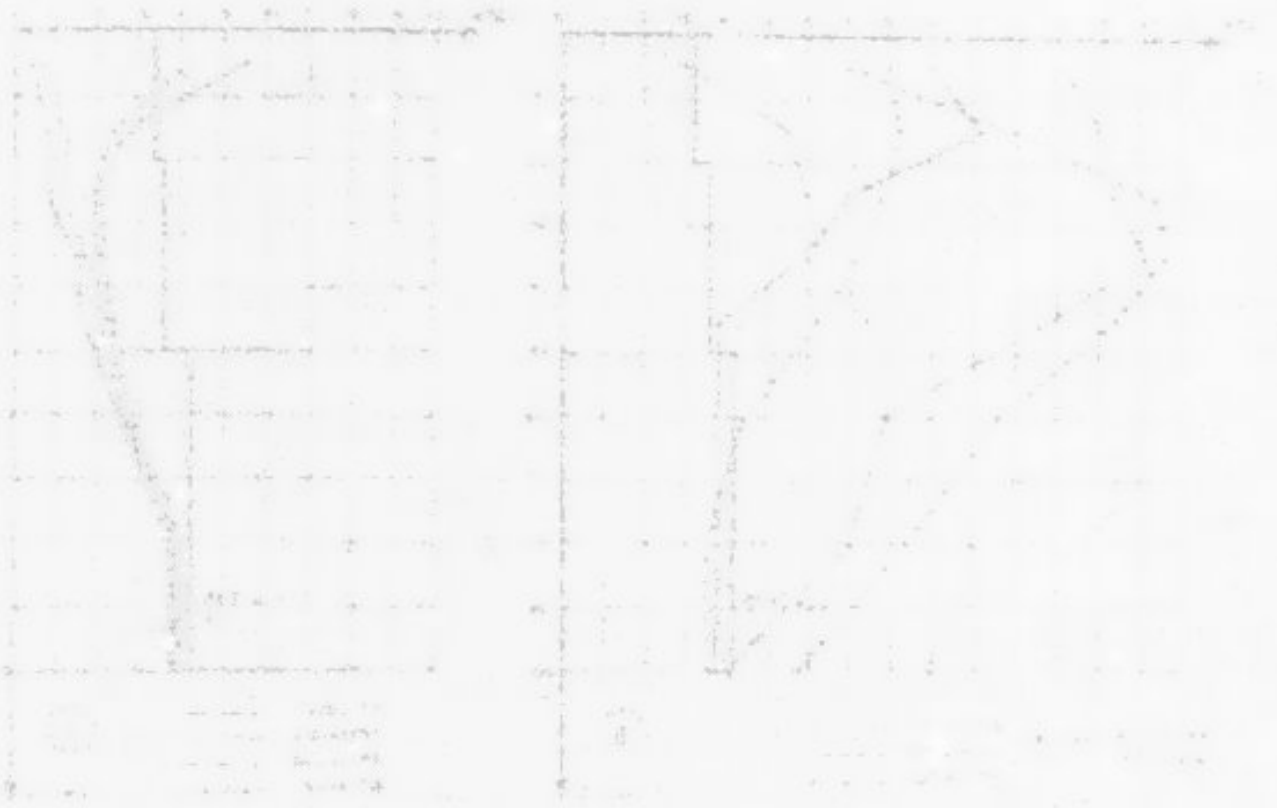
- les stercosens médians (N1) auront évapotranspiré environ 220 mm pendant 9 mois
- les stercosens ensemble (N2 et N3) auront évapotranspiré environ 200 mm pendant 9 mois
- les stercosens tranquils (N4, N5) et les encroûtements typaux auront seulement évapotranspiré 160 à 180 mm pendant 6 mois.

Un agriculteur installé en N2 ou N3 aurait donc bénéficié d'un stock d'eau supplémentaire de 50 mm par rapport à celui installé en N1, ce qui est considérable dans ces régions semi-arides.

2.2.5 Variations des réserves en eau de sol de la parcelle de mesures de la biomasse végétale de l'unité agro-écologique n°5

Situé à l'aval de la parcelle de rajeunissement n°1, mais à proximité, le sol de la parcelle de mesures de la biomasse végétale est identique à N1 et est constitué d'un stercosens de 90 cm d'épaisseur au-dessus de l'encroûtement typaux. Les variations des réserves en eau de ce sol sont suivies tout au cours de l'année par les profils N12 et N13.

Fig. 1. — DIVERSE DISCS — PRESENT
 PARTIAL HYPERBOLIC DISCS



2.2.3.4 Fluctuations et variations saisonnières des précipitations

Sur les données de la station, sont parties :

- les variations de la hauteur de neige totale due au refroidissement par l'évaporation ;
- les variations de la hauteur de neige totale due à la précipitation de la neige ;
- les variations de la hauteur de neige accumulée de la station de la neige indiquées par l'expression : $H_n = H_{n-1} + P_n - E_n$;
- les variations de la hauteur de la neige accumulée.

On constate que :

- à partir de la fin de la neige accumulée, jusqu'à une certaine hauteur de neige totale, sont accumulés, à un rythme correspondant à la hauteur de la neige accumulée, les précipitations de la neige de la station de la neige accumulée (25 mm) ;
- à partir de 15.12.1971 la neige accumulée à trois reprises plusieurs fois de 102,5 mm, sans que l'on observe de précipitation de la neige accumulée (25 mm) ;
- durant tout l'hiver la neige accumulée est à l'état de neige accumulée avec 102,5 mm de neige accumulée sans que l'on observe de précipitation de la neige accumulée (25 mm) ;
- à partir de 15.12.1971, le comportement de la neige accumulée est à l'état de neige accumulée, à la hauteur de 102,5 mm ;
- la neige accumulée correspond à la hauteur de 102,5 mm de la neige accumulée de la station de la neige accumulée de 15.12.1971 à 15.12.1971 sans que l'on observe de précipitation de la neige accumulée (25 mm) ;
- sur l'ensemble de la station, on observe une certaine hauteur de neige accumulée de la station de la neige accumulée de 15.12.1971 à 15.12.1971 sans que l'on observe de précipitation de la neige accumulée (25 mm) ;

L'objet de l'annuaire est d'offrir au public, et en particulier aux personnes qui ont des relations avec les administrations publiques, un recueil de renseignements sur les services publics, les organismes de l'Etat, les collectivités locales, les établissements publics, les associations, les syndicats, les professions, les entreprises, les établissements de culture, de sport, de loisirs, etc.

Le rôle de l'annuaire

Le rôle de l'annuaire est de fournir au public des renseignements sur les services publics, les organismes de l'Etat, les collectivités locales, les établissements publics, les associations, les syndicats, les professions, les entreprises, les établissements de culture, de sport, de loisirs, etc.

Le rôle de l'annuaire de l'Etat

Le rôle de l'annuaire de l'Etat est de fournir au public des renseignements sur les services publics, les organismes de l'Etat, les collectivités locales, les établissements publics, les associations, les syndicats, les professions, les entreprises, les établissements de culture, de sport, de loisirs, etc.

Le rôle de l'annuaire de l'Etat est de fournir au public des renseignements sur les services publics, les organismes de l'Etat, les collectivités locales, les établissements publics, les associations, les syndicats, les professions, les entreprises, les établissements de culture, de sport, de loisirs, etc.

- Le rôle de l'annuaire de l'Etat est de fournir au public des renseignements sur les services publics, les organismes de l'Etat, les collectivités locales, les établissements publics, les associations, les syndicats, les professions, les entreprises, les établissements de culture, de sport, de loisirs, etc.
- Le rôle de l'annuaire de l'Etat est de fournir au public des renseignements sur les services publics, les organismes de l'Etat, les collectivités locales, les établissements publics, les associations, les syndicats, les professions, les entreprises, les établissements de culture, de sport, de loisirs, etc.

Le rôle de l'annuaire de l'Etat est de fournir au public des renseignements sur les services publics, les organismes de l'Etat, les collectivités locales, les établissements publics, les associations, les syndicats, les professions, les entreprises, les établissements de culture, de sport, de loisirs, etc.

$$x = \frac{y}{z}$$

Le rôle de l'annuaire de l'Etat est de fournir au public des renseignements sur les services publics, les organismes de l'Etat, les collectivités locales, les établissements publics, les associations, les syndicats, les professions, les entreprises, les établissements de culture, de sport, de loisirs, etc.

Le rôle de l'annuaire de l'Etat

Le rôle de l'annuaire de l'Etat est de fournir au public des renseignements sur les services publics, les organismes de l'Etat, les collectivités locales, les établissements publics, les associations, les syndicats, les professions, les entreprises, les établissements de culture, de sport, de loisirs, etc.

Page 10 of 10

$$f(x) = \frac{1}{x^2} = x^{-2}$$

$$f'(x) = -2x^{-3} = -\frac{2}{x^3}$$

The function $f(x) = \frac{1}{x^2}$ is a power function. The derivative of a power function $f(x) = x^n$ is $f'(x) = nx^{n-1}$. In this case, $n = -2$, so the derivative is $f'(x) = -2x^{-3} = -\frac{2}{x^3}$.

The derivative of $f(x) = \frac{1}{x^2}$ is $f'(x) = -\frac{2}{x^3}$.

- The derivative of $f(x) = \frac{1}{x^2}$ is $f'(x) = -\frac{2}{x^3}$.
- The derivative of $f(x) = \frac{1}{x^2}$ is $f'(x) = -\frac{2}{x^3}$.
- The derivative of $f(x) = \frac{1}{x^2}$ is $f'(x) = -\frac{2}{x^3}$.

Example 1: Derivative of $f(x) = \frac{1}{x^2}$

Solution:

The function $f(x) = \frac{1}{x^2}$ can be written as $f(x) = x^{-2}$. Using the power rule, the derivative is $f'(x) = -2x^{-3} = -\frac{2}{x^3}$.

Therefore, the derivative of $f(x) = \frac{1}{x^2}$ is $f'(x) = -\frac{2}{x^3}$.

Function	Derivative
$f(x) = x^2$	$f'(x) = 2x$
$f(x) = x^3$	$f'(x) = 3x^2$
$f(x) = x^{-1}$	$f'(x) = -x^{-2} = -\frac{1}{x^2}$
$f(x) = x^{-2}$	$f'(x) = -2x^{-3} = -\frac{2}{x^3}$

The derivative of $f(x) = \frac{1}{x^2}$ is $f'(x) = -\frac{2}{x^3}$.

pour avoir :

$$C_{12} = C_2 = \frac{120 - 20 + 20 + 20 + 20 + 20}{2 \times 20} = \frac{140}{40} = 3,5$$

Le produit des deux DTCs donne l'indice de corrélation qui est compris entre -1 et +1. Il est nul lorsque les deux variables sont indépendantes, il est positif lorsque les deux variables sont positivement corrélées, et négatif lorsque les deux variables sont négativement corrélées.

En utilisant DTC, il convient de :

- évaluer l'impact de chaque variable sur la variable dépendante
- évaluer l'impact de chaque variable sur la variable dépendante
- évaluer l'impact de chaque variable sur la variable dépendante

2.3 Le coefficient de corrélation

2.3.1 Le coefficient de corrélation

On peut se demander si les deux variables sont liées. On peut utiliser le coefficient de corrélation pour évaluer la force de la relation entre les deux variables. Le coefficient de corrélation est compris entre -1 et +1.

Le coefficient de corrélation est noté r_{xy} et est défini par :

$$r_{xy} = \frac{\sum_{i=1}^n (x_i - \bar{x})(y_i - \bar{y})}{\sqrt{\sum_{i=1}^n (x_i - \bar{x})^2 \sum_{i=1}^n (y_i - \bar{y})^2}}$$

- * Le coefficient de corrélation est compris entre -1 et +1.
- * Le coefficient de corrélation est nul lorsque les deux variables sont indépendantes.
- * Le coefficient de corrélation est positif lorsque les deux variables sont positivement corrélées.
- * Le coefficient de corrélation est négatif lorsque les deux variables sont négativement corrélées.

En tableau 127 nous avons l'importance relative des courbes des trois parcelles 1, 2 et 3 au sujet des arbres, en pourcentage :

- en ce qui concerne les arbres de moins de 10 m de hauteur, nous constatons la prépondérance
- les parcelles 1 et 2, avec un traitement superficiel, et la parcelle 3, avec un traitement plus profond, nous constatons que la parcelle 3 est la plus riche en arbres de moins de 10 m de hauteur, mais que la parcelle 1 est la plus riche en arbres de plus de 10 m de hauteur.

Tableau 128

Sur la base des constatations faites dans les tableaux 127 et 128, nous constatons que les courbes des trois parcelles, en ce qui concerne :

- les arbres de moins de 10 m de hauteur, nous constatons que la parcelle 3 est la plus riche en arbres de moins de 10 m de hauteur, mais que la parcelle 1 est la plus riche en arbres de plus de 10 m de hauteur.
- les arbres de plus de 10 m de hauteur, nous constatons que la parcelle 1 est la plus riche en arbres de plus de 10 m de hauteur, mais que la parcelle 3 est la plus riche en arbres de moins de 10 m de hauteur.

Tableau 129

En ce qui concerne les arbres de plus de 10 m de hauteur, nous constatons que :

- la parcelle 1 est la plus riche en arbres de plus de 10 m de hauteur.
- la parcelle 2 est la plus riche en arbres de moins de 10 m de hauteur.
- la parcelle 3 est la plus riche en arbres de moins de 10 m de hauteur.

Malgré les prévisions de l'essai de sol, la solution que l'on a choisie en fonction des données expérimentales est la suivante, comparée par le sol, au point de vue des caractéristiques de la source

$$E = E_0 \exp(-\alpha x) \exp(-\beta t)$$

Sur la plus typique, le sol de la partie de mesure a été étudié dans des conditions normales de température et de humidité relative de 70 % et de vitesse de refroidissement.

2.1.1.1. Essai d'évaluation de l'ETM sur un sol de type
de sable

Comme le profil thermique du sol est en fait de nature non homogène, il est nécessaire d'effectuer des essais d'évaluation de l'ETM sur un sol de type de sable de 0,15 mm à 0,25 mm.

Sur la figure 2.1.1.1.1, nous avons donné la mesure d'évaluation de l'ETM sur un sol de type de sable de 0,15 mm à 0,25 mm, en fonction de la température que :

- le ETM est constant de 13 à 17,5°C à un instant où les réserves de chaleur du sol sont les plus élevées,
- pour un instant donné, l'ETM est constant de 13 à 17,5°C, plus élevée à la fin de l'essai qu'à son début.

Il est donc difficile de comparer le ETM d'un essai à l'autre en fonction de la température du sol et de son état d'humidité. Pour comparer les résultats entre eux, le ETM est normalisé par rapport à la température de la source et du profil de la source.

$$E = E_0 \exp(-\alpha x) \exp(-\beta t)$$

où E_0 = valeur de la température de la source et du profil de la source à l'instant t.

2.1.1.2. Essai d'évaluation de l'ETM sur un sol de type
de sable

Sur la figure 2.1.1.2.1, nous avons donné la mesure d'évaluation de l'ETM sur un sol de type de sable de 0,15 mm à 0,25 mm, en fonction de la température que :

1914

1914

Year	Month	Day	Time	Location	Remarks
1914	Jan	1	10:00
1914	Jan	2	11:00
1914	Jan	3	12:00
1914	Jan	4	13:00
1914	Jan	5	14:00
1914	Jan	6	15:00
1914	Jan	7	16:00
1914	Jan	8	17:00
1914	Jan	9	18:00
1914	Jan	10	19:00
1914	Jan	11	20:00
1914	Jan	12	21:00
1914	Jan	13	22:00
1914	Jan	14	23:00
1914	Jan	15	24:00
1914	Jan	16	25:00
1914	Jan	17	26:00
1914	Jan	18	27:00
1914	Jan	19	28:00
1914	Jan	20	29:00
1914	Jan	21	30:00

Page 10 of 10

Section 101 of the Act, which provides that the Secretary shall, in carrying out his duties, have the same powers and authority as are conferred upon the Secretary of the Interior by the Act of October 3, 1917, and the Act of October 3, 1917, as amended.

The Secretary is authorized to make such regulations as may be necessary to carry out the provisions of this Act, and to cause to be prepared and published such reports and documents as he may deem it necessary to publish.

Section 102 of the Act, which provides that the Secretary shall, in carrying out his duties, have the same powers and authority as are conferred upon the Secretary of the Interior by the Act of October 3, 1917, and the Act of October 3, 1917, as amended.

- The Secretary is authorized to make such regulations as may be necessary to carry out the provisions of this Act, and to cause to be prepared and published such reports and documents as he may deem it necessary to publish.
- The Secretary is authorized to make such regulations as may be necessary to carry out the provisions of this Act, and to cause to be prepared and published such reports and documents as he may deem it necessary to publish.
- The Secretary is authorized to make such regulations as may be necessary to carry out the provisions of this Act, and to cause to be prepared and published such reports and documents as he may deem it necessary to publish.

Section 103 of the Act, which provides that the Secretary shall, in carrying out his duties, have the same powers and authority as are conferred upon the Secretary of the Interior by the Act of October 3, 1917, and the Act of October 3, 1917, as amended.

Section 104 of the Act, which provides that the Secretary shall, in carrying out his duties, have the same powers and authority as are conferred upon the Secretary of the Interior by the Act of October 3, 1917, and the Act of October 3, 1917, as amended.

The Secretary is authorized to make such regulations as may be necessary to carry out the provisions of this Act, and to cause to be prepared and published such reports and documents as he may deem it necessary to publish.

Section 105 of the Act, which provides that the Secretary shall, in carrying out his duties, have the same powers and authority as are conferred upon the Secretary of the Interior by the Act of October 3, 1917, and the Act of October 3, 1917, as amended.

- The Secretary is authorized to make such regulations as may be necessary to carry out the provisions of this Act, and to cause to be prepared and published such reports and documents as he may deem it necessary to publish.
- The Secretary is authorized to make such regulations as may be necessary to carry out the provisions of this Act, and to cause to be prepared and published such reports and documents as he may deem it necessary to publish.
- The Secretary is authorized to make such regulations as may be necessary to carry out the provisions of this Act, and to cause to be prepared and published such reports and documents as he may deem it necessary to publish.
- The Secretary is authorized to make such regulations as may be necessary to carry out the provisions of this Act, and to cause to be prepared and published such reports and documents as he may deem it necessary to publish.
- The Secretary is authorized to make such regulations as may be necessary to carry out the provisions of this Act, and to cause to be prepared and published such reports and documents as he may deem it necessary to publish.

Section 106 of the Act, which provides that the Secretary shall, in carrying out his duties, have the same powers and authority as are conferred upon the Secretary of the Interior by the Act of October 3, 1917, and the Act of October 3, 1917, as amended.

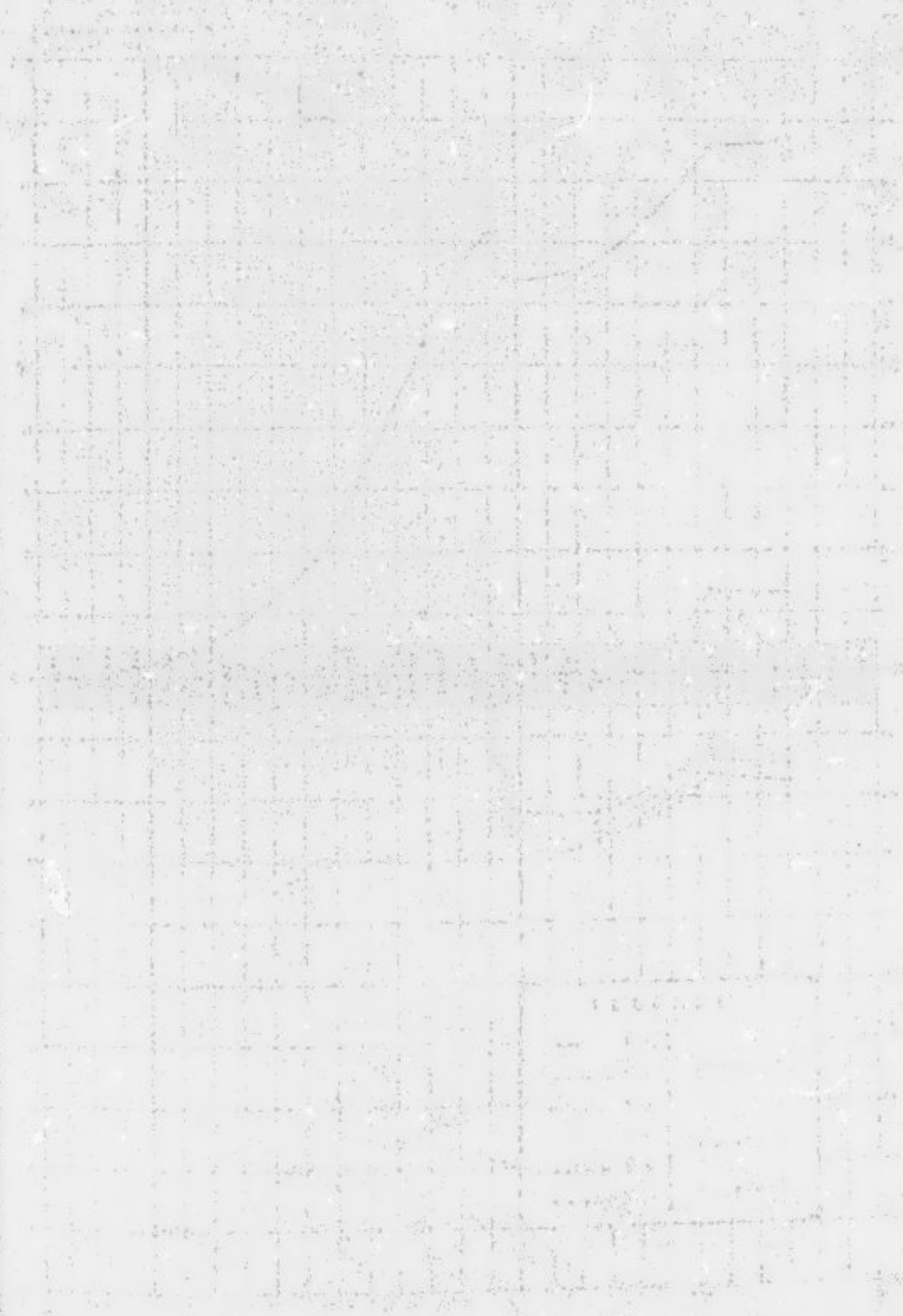
FICHE ANALYTIQUE

Date de 4.12.1973

Date de 12.10.1973

	1							
	2							
	3							
	4							
	5							
	6							
	7							
	8							
	9							
	10							
	11							
	12							
	13							
	14							
	15							
	16							
	17							
	18							
	19							
	20							
	21							
	22							
	23							
	24							
	25							
	26							
	27							
	28							
	29							
	30							
	31							
	32							
	33							
	34							
	35							
	36							
	37							
	38							
	39							
	40							
	41							
	42							
	43							
	44							
	45							
	46							
	47							
	48							
	49							
	50							
	51							
	52							
	53							
	54							
	55							
	56							
	57							
	58							
	59							
	60							
	61							
	62							
	63							
	64							
	65							
	66							
	67							
	68							
	69							
	70							
	71							
	72							
	73							
	74							
	75							
	76							
	77							
	78							
	79							
	80							
	81							
	82							
	83							
	84							
	85							
	86							
	87							
	88							
	89							
	90							
	91							
	92							
	93							
	94							
	95							
	96							
	97							
	98							
	99							
	100							

1914



1914

et le 29.9.43 ont été installées les plaques

- N₁ sur placards triangule de la partie 2
- N₂ sur encadrements gypseux de la partie 1
- N₃ sur encadrements gypseux de la partie 2

Depuis ces installations, il convient que des opérations de
 1) et 2) soient sur N₁ et N₂ ayant dans les deux cas pour objet
 l'installation de la figure 1111 dans laquelle les valeurs indiquées l'ont
 été, ont été indiquées, les valeurs indiquées dans les autres
 1111 et les valeurs indiquées dans l'encadré de la partie 2 ont été
 ont été indiquées.

De la figure 1111 résultent :

- depuis la mise en service de l'ensemble de l'installation N₁ et
 N₂ par le procédé de mesure sur N₁ et les deux autres plaques
 de décembre 1943 sur N₁, N₂ et N₃, la valeur qui a été prise la
 dans l'encadré de la figure 1111 de la transmission sur la figure
 l'ont été indiquées, les valeurs indiquées dans les autres
 les plaques, et il y a eu un changement, qui a été fait, la
 ont été indiqués plus précis, les chiffres indiqués sur l'encadré de la
 figure 1111, dans l'encadré d'encadrement placé sur
 N₁ et N₂ par mesure de la transmission l'ont été indiqués sur N₁
 et N₂.
- lors de la mise en service de l'ensemble de l'installation N₁, N₂ et N₃,
 l'ensemble de l'installation a été installé, de sorte que les
 plaques de la figure 1111, dans l'encadré de la figure 1111
 ont été indiqués, les valeurs indiquées dans l'encadré de la
 figure 1111 de la transmission.

Il résulte de ces mesures que :

- les plaques indiquées les chiffres indiqués dans l'encadré de la
 figure 1111, indiquent les valeurs sur les plaques indiquées sur
 l'encadré de la figure 1111 de la transmission.

- au fait de leur rôle de mise en évidence des légères concentrations de la végétation sur les parcelles et surtout la présence des marais
formées le plus souvent de sables blancs et tend à occuper les vallées de
l'ancien litage, qui se défecte plus par son caractère blanc,
surtout au printemps,
- les marais sont gérés et les marais sont gérés, mais avec une
certaine épaisseur de renouvellement, et ce comportement idéologique montre
que de l'ancien litage ou de l'ancien litage.

Il nous faut signaler que les marais sont gérés dans la
vallée de l'ancien litage, et que les marais sont gérés dans la vallée
des marais formés sur les parcelles que nous avons dit être gérées
à l'ancien litage.

2.1 Principes généraux de la végétation

2.1.1 Principes de la végétation de la vallée de l'ancien litage

2.1.1.1 Principes

Sur la parcelle de l'ancien litage de la vallée de l'ancien litage
nous observons un recouvrement de la végétation et de la culture.

Les huit lignes principales sont gérées par deux lignes
de deux lignes principales de la vallée de l'ancien litage, et
deux lignes principales de la vallée de l'ancien litage.

Appelons que le principe de la culture est géré sur la
vallée que le recouvrement de la culture est géré sur la vallée de
l'ancien litage de la vallée de l'ancien litage de la vallée de l'ancien litage.
Il y a une culture de la vallée de l'ancien litage sur la vallée de l'ancien litage.
La fréquence principale de la culture de la vallée de l'ancien litage est
et est gérée par

$$x = \frac{y}{z}$$

appelons que la culture de la vallée de l'ancien litage est gérée sur la
vallée de la culture de la vallée de l'ancien litage de la vallée de l'ancien litage
appelons pour un autre point.



MICROFICHE N°

00168

République Tunisienne

MINISTÈRE DE L'AGRICULTURE

CENTRE NATIONAL DE

DOCUMENTATION AGRICOLE

TUNIS

الجمهورية التونسية
وزارة الزراعة

مركز الصوامع
التوثيق الفلاحي
تونس

F

2

La contribution spécifique C_s d'une espèce est définie comme égale à

$$C_s = \frac{F_s \text{ de l'espèce}}{\text{Somme des } F_s \text{ de toutes les espèces}} \times 100$$

2.4.1.2 Résultats

Les résultats détaillés de ces mesures, par unité phytocécologique et par espèces, sont donnés en annexes (cf. annexes n° 2, 3, 4, 5) avec rappel des résultats 1972-1973.

Le tableau n°29 résume ces résultats.

Tableau n° 29

Evolution des fréquences spécifiques (F_s) entre le 5.10.72 et le 25.4.74

Unité phytocécologique	Date	F_s Annuelles	F_s Littré	F_s Métriques	F_s Total, sans littré
n°5 (sur pierroses)	5.10.72	1,2	3,0	11,5	15,7
	24. 4.73	2,3	5,6	33,4	35,7
	27. 9.73	0	6,7	20,0	26,0
	25. 4.74	8,1	2,5	11,8	35,9
n°6 (voile sableux sur pierroses)	5.10.72	2,7	2,2	8,5	11,2
	24. 4.73	15,1	12,7	42,1	56,3
	27. 9.73	1,1	9,8	25,2	25,3
	25. 4.74	44,1	0,6	25,6	69,4
n°3 (sur pierroses tr. ad)	5.10.72	0	0,3	12,4	12,1
	24. 4.73	0	2,5	18,7	18,7
	27. 9.73	0	3,6	10,9	10,9
	25. 4.74	1,5	2,5	20,4	21,9
n°1 (sur coralle Dipozos)	5.10.72	0	0	6,9	6,9
	24. 4.73	0	0	6,9	6,9
	27. 9.73	0	0,3	8,6	8,6
	25. 4.74	0	0,2	10,5	10,5

.../.

La contribution spécifique C_s d'une espèce est définie comme égale à

$$C_s = \frac{F_s \text{ de l'espèce}}{\text{Somme des } F_s \text{ de toutes les espèces}} \times 100$$

2.4.1.2. Résultats

Les résultats détaillés de ces mesures, par unités phyto-écologiques et par espèces, sont données en annexes (cf. annexes n° 2, 3, 4, 5) avec rappel des résultats 1972-1973.

Le tableau n°29 résume ces résultats.

Tableau n° 29

Evolution des fréquences spécifiques (F_s) entre le 5.10.72 et le 25.4.74

Unité phyto-écologique	Date	F_s Annuelles	F_s Litière	F_s Pérennes	F_s Total, sans litière
	5.10.72	1,2	3,0	11,5	12,7
N°5 (sur sierozes)	24. 4.73	2,3	5,6	33,4	35,7
	27. 9.73	0	6,7	20,0	20,0
	25. 4.74	8,1	2,5	31,8	39,9
	5.10.72	2,7	2,2	8,5	11,2
N°6 (voile sableux sur sierozes)	24. 4.73	15,1	12,7	42,1	56,3
	27. 9.73	1,1	9,8	25,2	26,3
	25. 4.74	44,1	0,6	25,6	69,4
	5.10.72	0	0,3	12,4	12,2
N°3 (sur sierozes tranqués)	24. 4.73	0	2,5	18,7	18,7
	27. 9.73	0	3,6	10,3	10,9
	25. 4.74	1,5	2,5	20,4	21,9
	5.10.72	0	0	6,9	6,9
N°1 (sur croûte lignee)	24. 4.73	0	0	6,9	6,9
	27. 9.73	0	0,3	8,6	8,6
	25. 4.74	0	0,2	10,5	10,5

Pour suivre l'évolution de la végétation à la lecture de ce tableau, il faut comparer entre elles, respectivement, les mesures faites au printemps et celles faites à l'automne.

En ce qui concerne les unités 5 et 6 (sur sierose avec ou sans voile sableux), il semble que le recouvrement des plantes pérennes ait augmenté à l'automne 73 par rapport à l'automne 1972.

En revanche, pour l'unité 6, le printemps 1974 a été beaucoup moins favorable aux plantes pérennes que le printemps 1973. C'est surtout Plantago albicans et à un moindre degré Cynodon dactylon, qui ont eu un plus faible développement. Dans cette même unité, au contraire, les plantes annuelles montrent une fréquence spécifique de 44 % en 1974 contre 15 % en 1973.

Pour les unités 3 et 1 à sol moins favorable (sierose trempé et crête gypseuse), les "fluctuations" de la végétation sont plus faibles. En effet il n'y a pratiquement pas de plantes annuelles et le dynamisme des plantes pérennes est peu important : la fréquence spécifique des pérennes dans l'unité 1 passe de 6,9 % en 1973 à 10,5 % au printemps 1974. Ceci laisse penser qu'il y a peu d'intérêt à mettre en défense en vue de sa régénération la végétation de ces types d'unité.

Au total cependant on peut conclure que le recouvrement de la végétation de l'ensemble de la parcelle a augmenté entre les années 1972-1973 et 1973-1974; cette augmentation étant due principalement à la végétation des unités 5 et 6 (sur sierose).

2.4.2 Evolution de la biomasse végétale aérienne de l'unité phyto-écologique n°5

2.4.2.1 Méthodologie

La mise en défense date du 1er avril 1972.

Le dispositif utilisé en 1973-1974 pour suivre l'évolution de la biomasse végétale aérienne est du même type que celui de 1972-1973. Il a été installé au voisinage immédiat de ce dernier. Six coupes ont été réalisées pendant l'année de végétation, la première le 24.9.1973, la dernière le 18.7.1974.

Come précédemment le dispositif est prévu principalement pour suivre l'évolution du Plantain (Plantago albiens), des plantes annuelles et de la litière. La surface du dispositif n'est pas suffisante pour échantillonner correctement les plantes pérennes.

A titre indicatif, et bien que cette mesure ne soit pas rigoureuse, on a présenté les résultats pour les plantes pérennes de la façon suivante : on a considéré que la fraction ligneuse des plantes pérennes restait constante (en poids à l'ha) tout au long de l'année et on a calculé cette fraction ligneuse en faisant la moyenne des résultats obtenus au cours des 6 coupes. Sur la base du résultat (174 kg MC/ha), on a calculé la quantité de peasses de l'année correspondante, pour chaque date de coupe, en appliquant les pourcentages de peasses obtenus sur des échantillons des espèces pérennes à chaque coupe.

Il suffit de comparer les chiffres obtenus pour cette fraction ligneuse durant les deux années de mesures (267 kg en 1972-1973, 174 kg en 1973-1974) pour avoir une idée de la variabilité de la biomasse des pérennes sur cette surface anciennement cultivée. A la fin du cycle de mesures, afin d'avoir une meilleure approche de cette quantité de pérennes et de leur production, et pour pouvoir faire des comparaisons interannuelles valables, il sera nécessaire de recalculer une fraction ligneuse moyenne des n années de mesures et de réajuster les quantités de peasses correspondantes à cette moyenne.

2.4.2.2 Résultats

Les résultats pour 1973-1974 sont donnés sur le tableau n°30 et sur le graphique n°9.

Comme précédemment le dispositif est prévu principalement pour suivre l'évolution du Plantain (Plantago albicans), des plantes annuelles et de la litière. La surface du dispositif n'est pas suffisante pour échantillonner correctement les plantes pérennes.

À titre indicatif, et bien que cette mesure ne soit pas rigoureuse, on a présenté les résultats pour les plantes pérennes de la façon suivante : on a considéré que la fraction ligneuse des plantes n'est restée constante (en poids à l'ha) tout au long de l'année et on a calculé cette fraction ligneuse en faisant la moyenne des résultats obtenus au cours des 6 coupes. Sur la base du résultat (174 kg MS/ha), on a calculé la quantité de pousses de l'année correspondante, pour chaque date de coupe, en appliquant les pourcentages de pousses obtenus sur des échantillons des espèces pérennes à chaque coupe.

Il suffit de comparer les chiffres obtenus pour cette fraction ligneuse durant les deux années de mesures (267 kg en 1972-1973 et 174 kg en 1973-1974) pour avoir une idée de la variabilité de la biomasse des pérennes sur cette surface anciennement cultivée. À la fin du cycle de mesures, afin d'avoir une meilleure approche de cette quantité de pérennes et de leur production, et pour pouvoir faire des comparaisons interannuelles valables, il sera nécessaire de recalculer une fraction ligneuse moyenne des n années de mesures et de réajuster les quantités de pousses correspondantes à cette moyenne.

2.4.2.2 Résultats

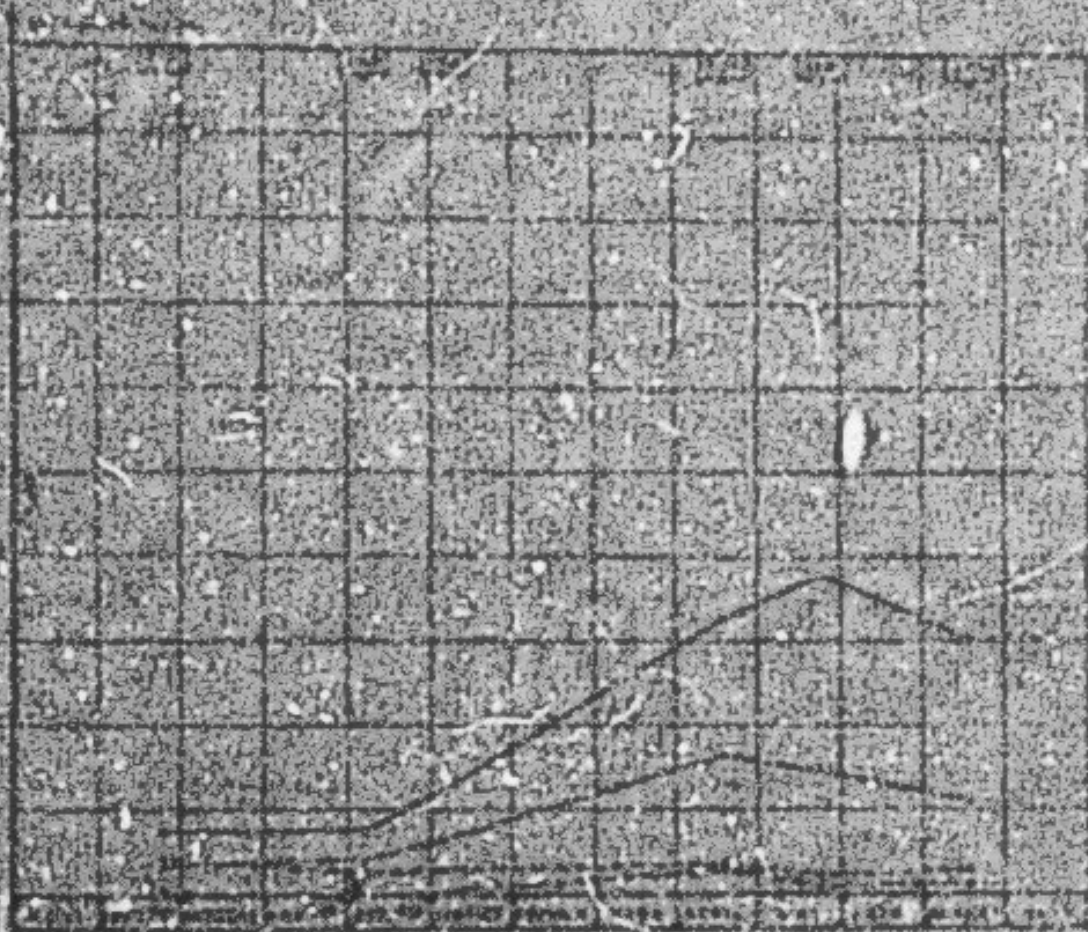
Les résultats pour 1973-1974 sont donnés sur le tableau n°30 et sur le graphique n°9.

EVOLUTION DE LA BIOMASSE DE LA PARTIE AERIFIÉE DE LA VÉGÉTATION
 OJERRE DISSA - 1973/74

Unité: Tonne / Hectare

LEGÈNDE

- BIOMASSE TOTALE
- BIOMASSE DE LA PARTIE AERIFIÉE
- BIOMASSE DE LA PARTIE TERRESTRE
- BIOMASSE DE LA PARTIE AQUATILE
- BIOMASSE DE LA PARTIE AERIFIÉE (SANS LA PARTIE TERRESTRE)
- BIOMASSE DE LA PARTIE AERIFIÉE (SANS LA PARTIE AQUATILE)
- BIOMASSE DE LA PARTIE AERIFIÉE (SANS LA PARTIE TERRESTRE ET LA PARTIE AQUATILE)



EVOLUTION

RESERVES EN EAU

OJERRE DISSA - 1973/74

LEGÈNDE

- RESERVE D'EAU
- RESERVE D'EAU (SANS LA PARTIE TERRESTRE)
- RESERVE D'EAU (SANS LA PARTIE AQUATILE)
- RESERVE D'EAU (SANS LA PARTIE TERRESTRE ET LA PARTIE AQUATILE)

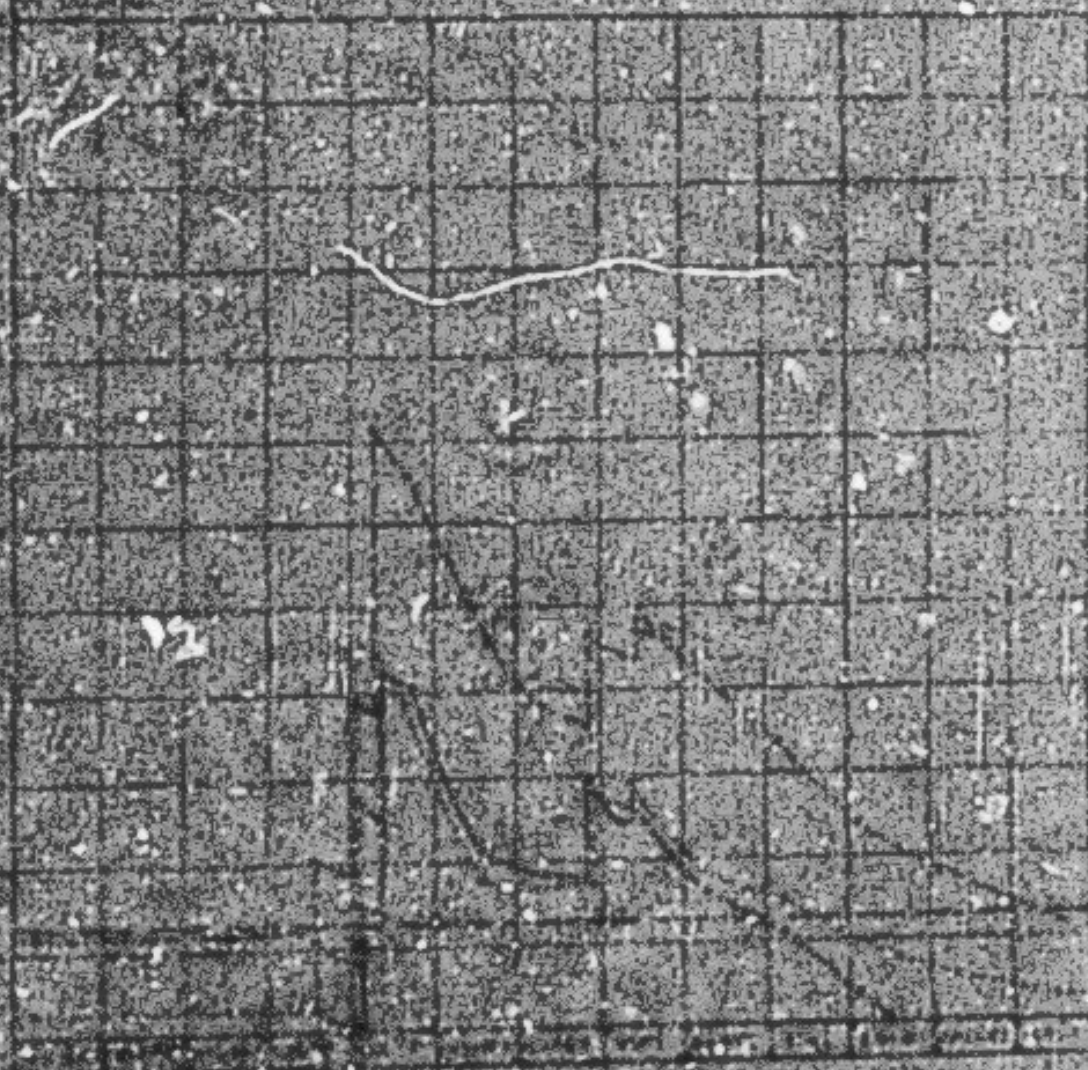


Tableau n° 10

Evolution de la biomasse aérienne de l'unité phyto-écologique n°5 (en Kg MS/ha)

Mise en défens le 1.8.72	1ère coupe 24.9.73	2ème coupe 7.12.73	3ème coupe 5.1.74	4ème coupe 18.4.74	5ème coupe 23.5.74	6ème coupe 13.7.74
Plantage albiornet	36	43	70	166	151	112
Partie ligneuse des autres pérén. (moyen des 6 coup.)	174	174	174	174	174	174
Fousses corrup. à ces 174 kg de partie ligneuse	42	36	51	162	233	195
Annuelles	1	0	2	29	10 (± peu)	11 (peu)
Plantes mortes	17	15	52	63	30	24
Litière	38	30	32	33	25	32
Total avec lit. et plant. mortes	308	298	381	607	623	528
sans lit. ni plantes mortes	253	253	297	521	568	492

2.4.2.3 Critique des résultats

Les pluies tardives n'ont pas permis le développement des plantes annuelles à l'automne et le froid de l'hiver a ensuite retardé leur germination et leur développement. La faible production des annuelles (29kg) doit en être la conséquence, malgré la bonne disponibilité en eau du sol au printemps. Il faut ajouter également que la mise en défens n'est pas favorable à la germination des annuelles sur ces sols comportant une pellicule de battance. Le piétinement des troupeaux provoque en effet la rupture de cette pellicule et favorise par là-même la germination.

Le plantain a eu une bonne production (166-36 = 130 kg), mais lui aussi a poussé tardivement.

.../.

Malgré l'absence de pluies d'automne, les autres plantes perennes ont eu un bon développement, grâce à des réserves en eau disponibles dans le profil jusqu'au 15 juin. La pousse des perennes a donc pu avoir lieu pendant la totalité du printemps. Au total cette production peut être évaluée à $233-42 = 191$ kg, ce qui est important compte tenu de la quantité de partie ligneuse présente (176 kg).

Les pousses des plantes perennes autres que le Pinstain sont constituées (au 23.5.74) par :

<i>Euphorbia fruticosa</i>	37 %
<i>Pitaranthus tortuosus</i>	27
<i>Helianthus lippii</i> ssp. <i>sessiliflorus</i>	21
<i>Thymalaeon microphylla</i>	12
<i>Artemisia caespitosa</i>	4
<i>Linaria aegyptiaca</i>	4
	<hr/>
	100

Au total, compte tenu des réserves faites ci-dessus en ce qui concerne l'échantillonnage des plantes perennes, les 159,5 mm de pluie de la saison 1973-1974 ont donc donné une production de 190 kg MS/ha. Cette production est faible en regard de cette quantité de pluie, qui a cependant été mal répartie dans la saison de végétation, et dont une partie a été perdue par ruissellement.

3. CONCLUSIONS POUR LA SAISON 1973-1974 ET COMPARAISON AVEC LA SAISON 1972-1973

Météorologie

En ce qui concerne la pluviosité avec plus de 200 mm relevés à la station de base (pluviographe), l'année 1973-1974 se présente comme une année nettement plus humide que la moyenne. Elle se caractérise par la prolongation de la sécheresse estivale durant tout l'automne (17,2 mm) jusqu'au 4 décembre 1973, un hiver très humide (169,0 mm en décembre), et un printemps moyen. Notons en outre que les quatre pluies supérieures à 15 mm représentent 82 % de la hauteur annuelle, avec 42 % pour la seule séquence du 12 décembre 1973.

Malgré l'absence de pousses d'automne, les autres plantes pérennes ont eu un bon développement, grâce à des réserves en eau disponibles dans le profil jusqu'au 15 juin. La pousse des pérennes a donc pu avoir lieu pendant la totalité du printemps. Au total cette production peut être évaluée à $233 - 42 = 191$ kg, ce qui est important compte tenu de la quantité de partie ligneuse présente (174 kg).

Les pousses des plantes pérennes autres que le Plantain sont constituées (au 23.5.74) par :

<i>Echinochilon fruticosum</i>	32 %
<i>Pituranthos tortuosus</i>	27
<i>Helianthus lippii</i> ssp. sessiliflorus	21
<i>Thysanotus micropyllus</i>	12
<i>Artemisia campestris</i>	4
<i>Linaria aegyptiaca</i>	4
	<hr/>
	100

Au total, compte tenu des réserves faites ci-dessus en ce qui concerne l'échantillonnage des plantes pérennes, les 250,6 mm de pluie de la saison 1973-1974 ont donc donné une production de 350 kg MS/ha. Cette production est faible en regard de cette quantité de pluie, qui a cependant été mal répartie dans la saison de végétation, et dont une partie a été perdue par ruissellement.

3. CONCLUSIONS POUR LA SAISON 1973-1974 ET COMPARAISONS AVEC LA SAISON 1972-1973

Météorologie

En ce qui concerne la pluviométrie avec plus de 290 mm relevés à la station de base (pluviographe), l'année 1973-1974 se présente comme une année nettement plus humide que la moyenne. Elle se caractérise par la prolongation de la sécheresse estivale durant tout l'automne (17,2 mm) jusqu'au 4 décembre 1973, un hiver très humide (169,0 mm en décembre), et un printemps moyen. Notons en outre que les quatre pluies supérieures à 15 mm représentent 82 % de la hauteur annuelle, avec 42 % pour la seule séquence du 12 décembre 1973.

Rappelons qu'en 1972-1973 la hauteur des précipitations (164,4 mm) était légèrement déficitaire par rapport à la moyenne et présentait aussi une concentration durant la saison d'hiver (115 mm).

Sur le plan thermique, à l'exception du mois de janvier, l'hiver a été plus froid en 1973-1974 qu'en 1972-1973, par contre le printemps et l'été ont été plus doux durant cette dernière année.

Ruisellement

À la suite de conditions pluviométriques nettement plus favorables que celles de la campagne précédente, nous avons pu observer un ruisellement sur toutes les parcelles, en particulier au cours de la séquence du 12 décembre.

À l'échelle de l'averse, nous avons relevé, pour cette séquence exceptionnellement pluvieuse, des coefficients de ruisellement voisins de 100 % sur la parcelle II et si on se réfère à l'ensemble de la séquence, on note des coefficients 44 %, 51 % et 57 %, respectivement pour les parcelles I, II et III.

À l'échelle annuelle, on a obtenu :

DISSA I : K_r - 22 %

DISSA II : K_r - 26 %

DISSA III : K_r - (31 %)

Ainsi on peut remarquer que :

- la parcelle la plus apte au ruisellement est la III, puis la II et la I,
- les caractéristiques pédologiques des parcelles II et III les rendent beaucoup plus sensibles aux petites sollicitations pluviométriques.

Enfin, compte tenu du nombre restreint de mesures, nous avons tenté une approche de la relation coefficient de ruisellement - intensité pluviométrique qui, pour les pluies inférieures à 50 mm/h, nous paraît satisfaisante.

L'estimation de la corrélation capacité d'absorption - intensité pluviométrique, qui en est déduite reste trop incertaine pour être prise en compte sans réserves et les hypothèses avancées pour son explication ne pourront être vérifiées qu'au cours des campagnes ultérieures, en particulier le rôle exact de la pellicule de balance dans le mécanisme du ruisellement, ...

Erosion

Les microzones tronquées et les crêtes gypseuses ont perdu, par érosion hydrique, environ 4 t/ha au cours de la saison 73-74, alors que globalement l'ensemble de la toposéquence a perdu moins de une tonne/ha, en raison du colluvionnement en bas de pente, ce qui confirme les observations faites sur la parcelle n°1 en 1972-1973, malgré l'absence d'érosion globale.

Bilan d'eau

On remarque que, après critique de la parcelle III, l'erreur sur l'équilibre du bilan, pour chaque parcelle, reste inférieure à 7 %, ce qui paraît satisfaisant compte tenu de la précision des diverses méthodes de mesures employées, et du caractère exceptionnel de la séquence du 12 décembre.

Si l'on se base sur la pluviométrie mesurée au sol, l'équilibre du bilan s'en trouve davantage affecté et ce d'autant plus que la taille de la parcelle est réduite.

Sur un dispositif qui nous permet de contrôler pratiquement tous les transferts d'eau en raison du contrôle permanent de la tranche du sol ne subissant aucune variation, et du retour des sols à leur état hydrique initial en fin de saison, nous constatons que :

- la zone à microzones solées aura évapotranspiré 200 à 220 mm durant la saison 1973-1974,
- la zone à microzones encaillées aura évapotranspiré 50 à 60 mm supplémentaires dûs aux apports par ruissellement,
- les zones à microzones tronquées et à sols gypseux auront évaporé seulement 160 à 180 mm, le reste ayant été perdu par ruissellement,
- le sol de la parcelle de biomasse aura absorbé et restitué entièrement entre le 9.11.1973 et le 25.8.1974 environ 210 mm d'eau et mis de l'eau à la disposition de la végétation seulement entre le 4.12.1973 et le 15.6.1974.

Rappelons qu'en 1972-1973 la hauteur des précipitations (164,4 mm) était légèrement déficitaire par rapport à la moyenne et présentait aussi une concentration durant la saison d'hiver (115 mm).

Sur le plan thermique, à l'exception du mois de janvier, l'hiver a été plus froid en 1972-1973 qu'en 1971-1972, par contre le printemps et l'été ont été plus doux durant cette dernière année.

Raisonnement

À la suite de conditions pluviométriques nettement plus favorables que celles de la campagne précédente, nous avons pu observer un raisonnement sur toutes les parcelles, en particulier au cours de la séquence du 12 décembre.

À l'échelle de l'averex, nous avons relevé, pour cette séquence exceptionnellement pluvieuse, des coefficients de raisonnement voisins de 100 % sur la parcelle II et si on se réfère à l'ensemble de la séquence, on note des coefficients 44 %, 51 % et 57 %, respectivement pour les parcelles I, II et III.

À l'échelle annuelle, on a obtenu :

MESSA I : K_r - 22 %

MESSA II : K_r - 26 %

MESSA III : K_r - (31 %)

Ainsi on peut remarquer que :

- la parcelle la plus apte au raisonnement est la III, puis la II et la I,
- les caractéristiques pédologiques des parcelles II et III les rendent beaucoup plus sensibles aux petites sollicitations pluviométriques.

Enfin, compte tenu du nombre restreint de mesures, nous avons tenté une approche de la relation coefficient de raisonnement - intensité pluviométrique qui, pour les pluies inférieures à 50 mm/h, nous paraît satisfaisante.

L'estimation de la corrélation capacité d'absorption - intensité pluviométrique, qui en est déduite reste trop incertaine pour être prise en compte sans réserves et les hypothèses avancées pour son explication ne peuvent être vérifiées qu'au cours des campagnes ultérieures, en particulier le rôle exact de la pellicule de bactérie dans le mécanisme du raisonnement.

Erosion

Les microzems tranquils et les crétins gypseux ont perdu, par érosion hydrique, environ 4 t/ha au cours de la saison 73-74, alors que globalement l'ensemble de la toposéquence a perdu moins de une tonne/ha, en raison du colluvionnement en bas de pente, ce qui confirme les observations faites sur la parcelle n°1 en 1972-1973, malgré l'absence d'érosion globale.

Bilan d'eau

On remarque que, après critique de la parcelle III, l'erreur sur l'équilibre du bilan, pour chaque parcelle, reste inférieure à 7 %, ce qui paraît satisfaisant compte tenu de la précision des diverses méthodes de mesures employées, et du caractère exceptionnel de la sécheresse du 12 décembre.

Si l'on se base sur la pluviométrie mesurée au sol, l'équilibre du bilan s'en trouve davantage affecté et ce d'autant plus que la taille de la parcelle est réduite.

Sur un dispositif qui nous permet de contrôler pratiquement tous les transferts d'eau en raison du contrôle permanent de la tranchée du sol ne subissant aucune variation, et du retour des sols à leur état hydrique initial en fin de saison, nous constatons que :

- la zone à microzems sodaux aura évapotranspiré 200 à 220 mm durant la saison 1973-1974,
- la zone à microzems ensablés aura évapotranspiré 50 à 60 mm supplémentaires dûs aux apports par ruissellement,
- les zones à microzems tranquils et à sols gypseux auront évaporé seulement 160 à 180 mm, le reste ayant été perdu par ruissellement,
- le sol de la parcelle de biomasse aura absorbé et restitué entièrement entre le 9.11.1973 et le 25.8.1974 environ 210 mm d'eau et mis de l'eau à la disposition de la végétation seulement entre le 4.12.1973 et le 15.6.1974.

Végétation

La fréquence spécifique (recouvrement) a, au total, légèrement augmenté entre les saisons 1972-1973 et 1973-1974. Cette augmentation est due principalement à la végétation des unités phytocécologiques 5 et 6 (sur sierozes). En effet, les annuelles ont eu cette dernière année une part plus importante dans le recouvrement sur ces deux unités. On peut penser en particulier que les annuelles ont considérablement bénéficié des eaux de ruissellement supplémentaires, accumulées sur l'unité 6 (voile sableux sur sierozes).

En revanche, l'évolution de la végétation a été très faible sur les unités du haut de la toposéquence (unités phytocécologiques 1 et 3 sur croûte gypseuse et sierozes tranqués). Ceci laisse penser que la mise en défens a peu d'intérêt dans ces types d'unités.

Il se confirme que les variations du recouvrement entre l'automne et le printemps sont très importantes dans les unités du bas de toposéquence (unités 5 et 6) et faibles dans les unités du haut (unités 1 et 3).

La production de la partie aérienne de la végétation sur la steppe à *Elymus*, dégradée par la culture, située au bas de la toposéquence (unité phytocécologique 5) a été au total de 350 kg de MS/ha. Dans cette production la part des annuelles reste faible (29 kg) et celle du plattain est de 130 kg. Les autres plantes pérennes ont également eu une bonne production (191 kg de poussees) compte tenu de la fraction ligneuse moyenne présente sur la parcelle expérimentale de cette année (174 kg). Ceci est dû au fait que les plantes pérennes ont eu des réserves en eau disponibles pour la végétation pendant la totalité du printemps, contrairement à l'année précédente.

BIBLIOGRAPHIE

- BERNARD G. (1965) -Classification des sols, Cahier ORSTOM, série pédologie n°III
- BURGESS J., FLORET Ch., PORTIER R. (1973) -Etude d'une topographique type du Sud tunisien El. DINGA (les sols, bilan hydrique, érosion, végétation, résultats pour la saison 1972-1973. INRA Tunis ES 49
- BURGESS J., PORTIER R. (1974) -Les crues exceptionnelles du 12 décembre 1973 sur le bassin versant de l'est de la Tunisie - INRA Tunis ES 53
- BURGESS J. (1974) -Aperçu sur l'hydrologie du Centre Sud tunisien (réseau d'observation et crues exceptionnelles)
- BURLET P., et ROCHER P. (1960) -Contribution à l'étude des sols gypseux du Sud tunisien INRA Tunis ES 33. Bulletin APES (1960) tiré-à-part
- BISTARRET J., et al. (1964) -L'eau et la production végétale. INRA Versailles 455 p.
- BISTARRET J., et al. (1970) -Techniques d'étude des facteurs de la biosphère - INRA Versailles - 543 p.
- CASTAY G., et al. (1961) -Carte géologique de la Tunisie au 1/500 000 Service géologique de Tunisie - 1 carte, 1 notice
- CLAIRE J., PORTIER R., PRITCH J.M. (1971) -Présentation des résultats des premières mesures sur la vitesse de ruissellement n°I - Plans de la TUNISIE - INRA Tunis 21 p. rendu - carte et croquis
- COLOMBI J. (1973) -Etude des contributions respectives au total annuel de pluie des averse journalières de différentes classes. ORSTOM-INRA Tunisie (en préparation)
- COMBES A. (1971) -Techniques de laboratoire utilisées en laboratoire de physique des sols du SIC - ORSTOM - Nancy et en laboratoire de physique des sols du CRIEM - Tunis

LAGET Ph., et FOISSIÈRE J. (1972)

-Une méthode d'analyse phytologique des prairies
Ann. agron. 22 (1) 5-41

DUMÉNIL P., et COLOMBINI J. (1970)

-Mesures d'humidité et de perméabilité des sols
dans les bassins représentatifs et expérimentaux
ORSTOM Paris - Service hydrologique - Note techn.
n°21 - 21 p. rendu

FLORET Ch., BOUROT R., ROSSETTI C., SCHWABER D. (1968)

-Conception générale des travaux de cartographie
phyto-écologique réalisés par le C.N.R.S. en
Tunisie septentrionale. Ann. Inst. Nat. Rech.
Agr. Tunisie t 41, 1, 142 p.

FLORET Ch., PONTANIER R. (1973)

-Etude des trois formations végétales naturelles
du Sud tunisien. Production, Bilan hydrique des
sols - Premiers résultats (années 1971-1972)
ERAT - Doc. Techn. ERAT (en préparation)

FLORET Ch., PONTANIER R. (1973-1974)

-Etude de trois formations végétales naturelles
du Sud tunisien. Bilan hydrique des sols - 2 vol.
rendu (années 1972-73, 1973-74) Doc. ERAT Tunis-
Gabès

FLORET Ch., LE FLOC'H E., PONTANIER R., RONNE F. (1974)

-Proposition pour l'élaboration de modèles en vue
de la planification et de l'aménagement des par-
cours en zones arides, steppiques et subdéserti-
ques de la région pré-saharienne. Séminaire sur
les processus d'élaboration des données brutes sur
les herbages et les terrains de parcours - CERS -
Montpellier, 12 p. rendu.

FLORET Ch., LE FLOC'H E., PONTANIER R., RONNE F. (1975)

-Elaboration d'un modèle écologique régional en
vue de la planification et de l'aménagement des
parcours des régions arides - Réunion MAB-ERAT
du 3-12 avril 1975 - Sfax - ERAT-ORSTOM - Gabès
English abstract 55 p. rendu

- FOURNIER P. (1963) -Climat et érosion -Paris -P.U.F. 201 p.15 graph.
- GEORGE M. et al. (1968)
-Coda pour le relevé méthodique de la végétation et
de milieu C.N.R.S. Paris, 292 p.
- GOODALL D.W. (1969) -Simulating the grazing situation. Biometeorology, 1,
ed. P. Hainauts. Noord Dekker, New-York pp.211-236
- GEORGE M. (1969) -Méthodes d'étude de la végétation. Lie. Masson, Paris
314 p.
- QUEMOY H. (1951) -Contribution à l'étude phytosociologique de l'ad
tunisien. Bull. Soc. Hist Nat. Afr. du Nord 42 :
131-153
- EBEL B. (1969) -Le profil cultural - 2ème édition - Paris-Masson,
322 p.
- IGUESCO T. (1968) -Remarques méthodologiques concernant l'étude des
ressources pastorales du Maroc Al. Maroc, 29, 35-67
- LAMITTE M., et BOURLIERE F. (1967)
-Problèmes de productivité biologique -Lie. Masson,
Paris . 243 p.
- LE FLOCH E., et FLORET Ch. (1972)
-Désertification et ressources pastorales dans la Tunisie
prémaharienne. Rapport journées d'étude sur la lutte
contre la désertification, Gabès - décembre 1972 -
Min. Agriculture, Tunisie - 12 p. résumé
- LE HOUEROU H.N. (1959) -Recherches phytosociologiques et floristiques sur
la végétation de la Tunisie méridionale. Inst. Rech.
Sahar. Univ. Alger - Mem. h.s. 510 p. 56 tabl. 4
cartes à fasc. 1 pochette
- LE HOUEROU H.N. (1969) -La végétation de la Tunisie steppique (avec références
au Maroc, à l'Algérie et à la Libye). Ann. Inst. Nat.
Rech. Agr. Tun. Vol. 42, 5, 620 p. avec tableaux
2 cartes couleur h.t.
- LE HOUEROU H.N. (1972) -An assessment of the primary and secondary production
of arid grazing land ecosystems of North Africa.
Proceedings of Intern. Symposium on "Ecophysiological
foundation of Ecosystems Productivity in "Arid Zone"
Leningrad, USSR 7-19 juin 1972, pp. 168-172

- POURRIER F. (1960) -Climat et Érosion -Paris -P.U.F. 201 p.15 graph.
- CHERRY K. et al. (1968)
-Code pour le relevé méthodique de la végétation et du sol au C.N.R.S. Paris, 292 p.
- SODALL D.W. (1969) -Simulating the grazing situation. Biometrika, 1. ed. P. Hensmans. Marcel Dekker, New-York pp.211-236
- SIEGEL K. (1969) -Méthodes d'étude de la végétation. Lie. Masson, Paris 314 p.
- TEBOUHET M. (1951) -Contribution à l'étude phytosociologique du Sud tunisien. Bull. Soc. Hist Nat. Afr. du Nord 42 : 131-153
- EBER S. (1969) -Le profil cultural - 2ème édition - Paris-Masson 322 p.
- IKKESOU T. (1968) -Remarques méthodologiques concernant l'étude des ressources pastorales du Maroc Al. Avania, 29, 35-67
- LAMOTTE K., et BAURLIERE P. (1967)
-Problèmes de productivité biologique -Lie. Masson, Paris , 243 p.
- LE FLOU'H, H., et FLOU'H Ch. (1972)
-Désertification et ressources pastorales dans la Tunisie pré-maharienne. Rapport journées d'étude sur la lutte contre la désertification, Gabès - décembre 1972 - Min. Agriculture, Tunisie - 12 p. résumé
- LE HOUEROU H.M. (1959) -Recherches phytosociologiques et floristiques sur la végétation de la Tunisie méridionale. Inst. Rech. Sahar. Univ. Alger - Mém. h.s. 510 p. 51 tabl. 4 cartes à fosse. 1 pochette
- LE HOUEROU H.M. (1969) -La végétation de la Tunisie steppique (avec références au Maroc, à l'Algérie et à la Lybie). Ann. Inst Nat. Rech. Agr. Tun. Vol. 42, 5, 620 p. avec tableaux 2 cartes couleur à.t.
- LE HOUEROU H.M. (1972) -An assessment of the primary and secondary production of arid grazing land ecosystems of North Africa. Proceedings of Intern. Symposium on "Ecophysiological foundation of Ecosystems Productivity in "Arid Zone" Leningrad, URSS 7-19 juin 1972, pp. 168-172

- LE HOUEROU H.J., et FROMENT M.D. (1969)
-Principes, Méthodes et Techniques d'Amélioration
Pastorale et Pâturage en Tunisie, P.A.O. Rome,
291 p.
- LONG G. (1974)
-Le diagnostic phyto-écologique et l'aménagement
du territoire - Lie. Masson - Paris (à paraître)
- MUJIB P. (1969)
-Etude des mouvements de l'eau dans un sol argi-
leux (absin versant représentatif du Melen).
Bull. EROK Section III n°4 1969. Les mouvements
d'eau dans les sols non saturés
- CRISTON (1969)
-Glossaire de pédologie. Description des horizons
en vue du traitement informatique. Initiatives -
documentations techniques - N°13 - CRISTON -
Paris
- CRISTON (1972)
-Bulletin du groupe de travail sur la dynamique
actuelle des sols - n°1 CRISTON - Boudy
- CRISTON (1972)
-Méthodes d'analyses utilisées au laboratoire de
physique des sols - ISE CRISTON - Boudy
- POITANIER R. (1972)
-Etude pédologique d'El Hamza Nord - DRES, TUNIS
n°460 - 2 cartes couleur
- POITANIER H. (1973)
-Etude pédologique du Bou Madani - DRES - TUNIS
n°474
- POUJET M. (1966)
-Mesures d'humidité sur les échantillons de sols
gypseux DRES - Paris - Pédologie ES 63 - 10 p.
ronde
- POUJET P., ZEBROWSKI C. (1970)
-Détermination de certaines caractéristiques
intrinsèques et hydrodynamiques des sols, par
utilisation de méthodes neutroniques. CRISTON -
Centre Tunisarive - Section hydrologie - 30 p.
ronde
- ROCHE M. (1963)
-Hydrologie de surface CRISTON - Outhier - Villers
Paris, 429 p.

- SILVAUX Ch. (1963) -Le quotient pluviothermique d'Emberger, son utilisation et la représentation géographique de ses variations au Maroc - Ann. Serv. Globe et Météo. Inst. Scienc. Cherifien T. XX, II 23 p.
- SCHNEIDERBERGER A. (1961)-Cours de Phytosociologie, Station de Recherches Forestières, ORSTOM - 113 p. ronéo
- SCHMIDT M. (1960) -- Etude pédologique de Bir Chenchoa Djebel Dism - DREN Tunis n° 178 et 178 bis - 2 rapp. ron. (32 et 12 p.) 2 cartes - ann.
-

DJIBEL DISSA
PLUVIOMETRIE 1973-1974

Annexe 1

Date	Parcelle n°I							Parcelle n°II			Parcel. n°III	
	PI1	PI2	T _D	T _S	P _S	P _D	\bar{a} I	PII1	PII2	\bar{a} II	P III	
19.10.73	-	-	-	-	-	-	0,2	0,2	-	-	0,2	0,2
20.10.73	-	-	-	-	-	-	0,4	0,4	-	-	0,4	0,4
26.10.73	1,0	x	↓	↓	-	-	2,0	2,0	1,5	1,0	1,3	0,6
8.11.73	7	x	0,9	2,7	-	-	0,4	0,4	0,3	0,3	0,3	0,3
9.11.73	4,2	3,6	4,2	3,6	-	-	5,1	4,5	4,2	4,1	4,2	4,3
19.11.73	8,7	7,2	7,3	7,4	8,6	-	9,5	8,5	9,1	8,7	8,9	9,2
21.11.73	0,3	x	0,3	0,2	0,2	-	0,6	0,4	0,3	0,2	0,3	0,2
22.11.73	-	-	-	-	-	-	0,2	0,2	-	-	0,2	0,2
3.12.73	-	-	-	-	-	-	0,4	0,4	-	-	0,4	0,4
4.12.73	41,9	x	42,1	38,4	40,6	-	45,5	41,3	40,2	42,6	41,4	36,2
10.12.73	-	-	-	-	-	-	0,4	0,4	-	-	0,4	0,4
11.12.73	-	-	-	-	-	-	0,2	0,2	-	-	0,2	0,2
12.12.73	124,1	130,2	126,0	125,2	130,4	133,0	129,1	116,3	115,4	115,9	112,4	
14.12.73	3,9	2,5	3,8	2,0	4,8	-	4,2	3,5	3,8	4,0	3,9	3,5
18.12.73	-	-	-	-	-	-	0,2	0,2	-	-	0,2	0,2
27.12.73	1,5	1,3	0,4	0,6	2,2	-	1,9	1,6	1,8	1,5	1,7	1,5
27.1.74	1,5	1,2	1,2	0,6	2,0	-	1,9	1,5	1,6	1,6	1,6	1,4
31.1.74	-	-	-	-	-	-	0,2	0,2	-	-	0,2	0,2
1.2.74	-	-	-	-	-	-	0,2	0,2	-	-	0,2	0,2
2.2.74	-	-	-	-	-	-	0,2	0,2	-	-	0,2	0,2
22-23.2.74	1,5	0,5	0,8	0,4	2,0	-	1,7	1,2	1,4	1,1	1,4	1,0
25.2.74	2,3	1,9	2,2	1,5	2,2	-	3,0	2,2	2,5	2,6	2,6	2,2
26.2.74	24,6	22,6	26,2	23,7	24,8	-	24,2	24,5	24,5	25,0	24,8	22,6
4.3.74	9,3	8,7	8,5	7,0	10,0	-	9,7	9,2	8,4	8,4	8,4	7,2
11.3.74	6,4	6,8	7,2	7,0	8,4	-	7,5	6,8	6,5	6,6	6,7	6,7
12.3.74	17,6	x	17,7	17,8	18,8	-	20,4	18,0	17,7	17,5	17,6	17,2
14.3.74	1,9	x	2,1	1,7	2,0	-	2,3	2,0	2,1	2,0	2,0	1,7
15.3.74	0,3	x	0,6	0,7	0,8	-	1,1	0,7	0,6	0,5	0,6	0,4
Entre 17.3	-	-	-	-	-	-	0,4	0,4	-	-	0,4	0,4
17.3	-	-	-	-	-	-	0,4	0,4	-	-	0,4	0,4
1.4.74	-	-	-	-	-	-	0,2	0,2	-	-	0,2	0,2
2.4.74	1,2	x	0,6	0,6	1,6	-	1,2	1,2	1,1	1,0	1,1	1,0
11.4.74	-	-	-	-	-	-	0,2	0,2	-	-	0,2	0,2
24.4.74	4,6	3,4	3,6	3,3	4,8	-	5,3	4,1	4,1	3,8	4,0	3,9
26.4.74	-	-	-	-	-	-	0,2	0,2	-	-	0,2	0,2
28.4.74	-	-	-	-	-	-	0,2	0,2	-	-	0,2	0,2
13.6.74	4	-	-	-	-	-	0,2	0,2	-	-	0,2	0,2
21.6.74	4,5	4,6	3,7	3,5	4,6	-	5,1	4,3	4,6	4,7	4,6	4,7
Total	261,5	Inconnu plot	260,2	247,0	272,2	292,9	271,7	252,9	252,9	257,2	242,6	

T : traces x : porqé - pas d'observations ↓ : casual

MIR ET P I S S A - Etude de la fréquence spécifique (F_s) et de la contribution spécifique (C_s)

Lignes 13 et 14 : Unité phytogéologique n°1

Espèce	17.10.72		27.4.73		30.9.73		25.4.74		10.10.74	
	F _s %	C _s %								
<i>Atractylis serratuloides</i>	2,3	34,0	2,7	35,7	2,8	32,7	3,4	31,8	1,3	16,8
<i>Bellanthus ippid var.</i>	4,1	59,0	3,6	52,2	4,1	47,3	4,4	41,1	4,2	54,5
<i>Inula</i>										
<i>Aparitium brevifolium</i>	0,2	2,4	0,2	2,3	3,3	3,6	0,8	7,4	0,2	2,6
<i>Thymelaea microphylla</i>	0,2	2,3	0,3	4,5	0,5	5,5			0,5	6,4
<i>Zygophyllum albus</i>	0,2	2,3	0,2	2,3			0,8	7,4	0,5	6,4
<i>Pituranthos tortuosus</i>					0,6	7,3	0,3	2,8		
<i>Helianthemum kahilricum</i>					0,3	3,6	-			0,2
<i>Littore</i>					0,3		0,2	1,8		
<i>Herniaria fontanensis</i>							0,6	5,6	0,3	3,9
<i>Argemone uniflora</i>							0,2	1,8	0,2	2,6
<i>Helianthemum crassifolium</i>									0,3	3,9
Total	7,0	100,0	7,0	100,0	8,9	100,0	10,7	100,0	7,7	99,7
Total pour Littore	6,88		6,88		8,59		10,5		7,7	

MISEN D I S B A - Etude de la fréquence spécifique (S) et de la contribution spécifique (Ce)

Lignes 11 et 12 : unités phytogéologiques n° 3

Espèces	17.13.72		26.4.73		28.9.73		25.4.74		11.10.74	
	N %	Ce %	N %	Ce %	N %	Ce %	N %	Ce %	N %	Ce %
<i>Helianthus lippii</i> var. <i>densiflorus</i>	1,6	17,8	1,2	6,6	0,9	6,7	1,2	4,6	0,6	4,2
<i>Plantago alliana</i>	3,0	24,3	6,9	36,4	2,0	10,8	5,5	21,0	0,6	5,5
<i>Dianthus saxosus</i>	3,0	24,3	3,7	19,8	4,4	40,6	5,0	19,0	4,7	32,8
<i>Liriodendron auriculatum</i>	0,2	1,3	1,1	5,7	0,5	4,3	0,6	2,3	0,2	1,4
<i>Echinosilene frutescens</i>	1,7	14,1	3,6	19,0	1,9	17,4	3,2	12,2	2,3	16,5
<i>Argemone uniflora</i>	0,2	1,3	-	-	0,2	1,5	0,6	2,3	0,3	2,1
<i>Thymus alpinus</i>	1,9	15,4	1,2	6,6	0,6	7,2	2,8	10,7	1,7	11,8
<i>Piturnathus tortuosus</i>	0,8	6,4	0,9	5,0	0,2	1,5	3,1	11,8	1,10	7,6
<i>Artemisia campestris</i>	-	-	0,2	0,8	-	-	-	-	0,2	1,4
<i>Lithospermum</i>	0,3	-	2,5	-	3,6	-	2,5	9,5	2,2	15,3
<i>Arctostaphylos uva-ursi</i>	-	-	-	-	-	-	0,2	0,8	-	-
<i>Hedysarum truncatula</i>	-	-	-	-	-	-	0,2	0,8	-	-
<i>Hedysarum spirosepalum</i>	-	-	-	-	-	-	1,1	4,2	-	-
<i>Koeleria pubescens</i>	-	-	-	-	-	-	0,2	0,8	-	-
<i>Pilago germanica</i>	-	-	-	-	-	-	-	-	0,2	1,4
<i>Helianthus scaber</i>	-	-	-	-	-	-	-	-	-	-
Total	12,7	100,0	21,2	100,0	14,5	100,0	26,4	100,0	14,3	100,0
Total moins <i>Lithospermum</i>	12,4	-	18,7	-	10,9	-	23,9	-	14,3	-

ANNEXE N° 3

DIJON D I S E A - Etude de la fréquence spécifique (R_f) et de la contribution spécifique (C_s)

Lignes 11 et 12 : unités phyto-écologique n°3

Espèces	17.10.72		26.4.73		28.9.73		25.4.74		11.10.74	
	R _f %	C _s %								
<i>Helianthemum lippii</i> var. <i>sensilliflorum</i>	1,6	17,8	1,2	6,6	0,9	8,7	1,2	4,6	0,6	4,2
<i>Plantago albicans</i>	3,0	24,3	6,9	36,4	2,0	18,8	5,5	21,0	0,8	5,5
<i>Ranunculus snaveolens</i>	3,0	24,3	3,7	19,8	4,4	40,6	5,0	19,0	4,7	32,8
<i>Lisertia aegyptiaca</i>	0,2	1,3	1,1	5,7	0,5	4,3	0,6	2,3	0,2	1,4
<i>Dactyloctenium fruticosum</i>	1,7	14,1	3,6	19,0	1,9	17,4	3,2	12,2	2,3	16,5
<i>Argemone uniflorum</i>	0,2	1,3	-	-	0,2	1,5	0,6	2,3	0,3	2,1
<i>Thymus microphylla</i>	1,9	15,4	1,2	6,6	0,8	7,2	2,8	10,7	1,7	11,8
<i>Pituranthos tortuosus</i>	0,8	6,4	0,9	5,0	0,2	1,5	3,1	11,8	1,10	7,6
<i>Artemisia campestris</i>	-	-	0,2	0,8	-	-	-	-	0,2	1,4
<i>Littora</i>	0,3	-	2,5	-	3,6	-	2,5	9,5	2,2	15,3
<i>Atrocytis serratuloides</i>							0,2	0,8		
<i>Hedysarum truncatula</i>							0,2	0,8		
<i>Kedysa rufa</i> <i>epitrochium</i>							1,1	4,2		
<i>Koeleria pubescens</i>							0,2	0,8		
<i>Plantago furcata</i>									0,2	1,4
<i>Helianthemum knutricum</i>										
Total	12,7	100,0	21,2	100,0	14,5	100,0	26,4	100,0	14,3	100,0
Total ligne Littora	12,4		18,7		10,9		23,9		11,3	

ANNEXE N° 2
 NITRIL D I S S A - Etude de la fréquence spécifique (F_s) et de la contribution spécifique (C_s)

Lignes 7 et 8 : Unité phytogéologique n°5

	5.10.72		24.4.73		21.9.73		25.4.74		10.10.74	
	F _s %	C _s %								
Melantherum bipartitum var. constrictum	0,5	3,7	2,3	6,5	1,6	7,9	1,2	7,5	2,0	11,1
Plantago albicans	5,2	41,2	19,8	55,4	8,7	43,7	13,3	31,4	4,8	26,3
Chloctalon fruticosum	2,8	22,4	3,0	8,3	3,4	17,2	2,3	5,5	1,6	8,9
Atractylis flava	0,2	1,3	-	-	-	-	-	-	-	-
Atractylis uniflorum	0,6	5,0	2,3	6,5	0,5	2,3	1,5	3,5	0,5	2,7
Thymus serpyllifolius	0,2	1,4	0,6	2,2	0,5	2,4	0,9	4,2	-	-
Hamamelis alexandrina	-	-	0,6	1,0	0,6	3,90	1,5	3,5	-	-
Leucosiphia arvensis sep. irragoanthoides	0,5	3,7	0,6	2,2	0,9	4,70	0,9	2,1	0,2	1,7
Piturostemon tortuosus	0,5	3,7	1,2	3,5	1,5	7,50	5,0	11,7	0,5	2,7
Isanthus barbatus	0,6	5,2	1,9	5,2	1,7	8,60	2,7	6,4	2,0	11,1
Teucrium polium	0,2	1,4	0,6	1,8	0,3	1,6	0,3	0,7	-	-
Elitère	3,0	-	5,6	-	6,7	-	2,5	5,9	5,8	32,4
Artemisia campestris	-	-	-	-	-	-	0,2	0,5	-	-
Plantula	1,2	10,0	-	-	-	-	-	-	-	-
Hippocrepis bicolorata	-	-	0,5	1,3	-	-	0,3	0,7	-	-
Psoralea arvensis	-	-	0,6	1,8	-	-	-	-	-	-
Hamamelis alexandrina	-	-	-	-	-	-	0,3	0,7	-	-
Daucus syriacus	-	-	0,5	1,3	-	-	0,8	1,9	-	-
Dracopis distachyus	-	-	0,2	0,4	-	-	2,0	4,7	-	-
Isanthus barbatus	-	-	0,3	0,9	-	-	2,2	5,2	-	-
Lotus posellus	-	-	0,3	0,9	-	-	0,5	1,2	-	-
Medicago truncatula	-	-	0,3	0,9	-	-	0,5	1,2	-	-
Lamium roseifolium	-	-	-	-	-	-	0,3	0,7	-	-
Lactuca crucifolia	-	-	-	-	-	-	0,3	0,7	-	-
Centauria diehloensis	-	-	-	-	-	-	0,6	1,4	-	-
Schizanthus barbatus	-	-	-	-	-	-	0,3	0,7	-	-
Medicago spinosissima	-	-	-	-	-	-	0,2	0,5	-	-
Platanus chloranthus	-	-	-	-	-	-	0,3	0,7	-	-
esp. occidentalis	-	-	-	-	-	-	-	-	-	-
Total	15,7	100,0	41,3	100,0	26,7	100,0	42,4	100,0	17,9	99,5
Total ligne Titulaire	15,7	-	35,7	-	26,0	-	42,4	-	12,1	-

TABLEAU D I 3 3 A - Étude de la fréquence spécifique (Σ) et de la contribution spécifique (Cn)

Espèce	Ligne 9 et 10 : Unité Période-déclinaison N° 0		Σ		Cn		Σ		Cn	
	N°	CA	N°	CA	N°	CA	N°	CA	N°	CA
Plantago albicans	4,1	36,6	23,1	41,1	3,1	3,1	13,5	19,4	7,0	20,0
Cynodon dactylon	3,4	31,0	5,1	16,1	6,6	24,6	5,5	8,2	7,7	22,0
M. limbatum Hippel var.	0,2	1,4	2,5	4,4	2,0	7,7	2,2	3,2	0,4	1,1
Securidivora	0,0	7,0	3,7	6,7	1,2	4,7	0,2	0,3	0,4	1,1
Alysicarpus uniflorum			1,4	2,5	1,0	5,9	2,6	3,7	1,7	4,8
Panicum verticillatum			0,3	0,5	0,3	0,6	0,3	0,4	0,5	1,4
Dactyloctenium aegyptium			0,9	1,7						
Tridactenoides			0,2	0,3	0,5	2,4	0,6	0,6	14,4	41,1
Limaria aegyptiaca			12,7		9,6		0,6	1,2		
Limaria	2,2						0,6			
Helianth. Hippel intricatum							0,3	0,4		
Plantago eurylytalis			0,2	0,3			1,1		2,0	5,7
Achillea millefolium			0,2	0,3			1,1		1,1	3,1
Linum catharticum	2,7	24,0	0,3	0,5			2,9	4,1		
Hypericum perforatum			4,7	8,3			1,4	2,0		
Furcraea arvensis			0,5	0,8			7,1	10,4		
Drosera rotundifolia			2,3	4,4			10,8	15,4	10,2 (sec)	0,5
Koeleria puberula			2,3	4,2			0,8	1,1		
Schizanthus luteus			0,2	0,3			2,3	1,3		
Pilaeolus germanicus			0,9	1,7			1,8	2,5		
Lotus corniculatus			1,1	1,9			2,2	3,1		
Ononis spinosa			0,3	0,5			0,9	1,3		
Amorpha canescens			1,9	3,3			7,5	10,7		
Trifolium pratense			1,1	1,9			2,6	3,7		
Astragalus cynosuroides			0,3	0,5			0,1	0,1		
Euphorbia nemorosorum							2,3	2,5		
Cytisus dichotomus	13,4	100,0	69,0	100,0	36,1	100,0	70,0	100,0	35,0	99,7
Total	11,2		56,3		26,3		69,4		20,6	

ANNEXE no 4
 LISTE D I O S A - Etude de la fréquence spécifique (F) et de la contribution spécifique (Cs)

Listes 7 et 8 : Unité phytosociologique n°5

	F%	Cs%	F%	Cs%	F%	Cs%	F%	Cs%	F%	Cs%
<i>Hellianthus lippii</i> var. <i>coniflorus</i>	0,5	3,7	21,3	6,5	1,6	7,8	3,2	7,5	2,0	11,1
<i>Plantago albicans</i>	5,2	41,2	19,8	55,4	8,7	43,7	13,3	31,4	4,8	26,0
<i>Poliochilus frutescens</i>	2,8	22,4	3,0	8,3	3,4	17,2	2,3	5,5	1,6	8,9
<i>Atractylis flava</i>	0,2	1,3	-	-	-	-	-	-	-	-
<i>Largyrolobus uniflorus</i>	0,6	5,0	2,3	6,5	0,5	2,3	1,5	1,5	0,5	2,7
<i>Myosotis microphylla</i>	0,2	1,4	0,0	2,2	0,5	2,4	0,9	2,2	-	-
<i>Linaria aegyptiaca</i>	-	-	0,6	1,8	0,8	3,90	1,5	3,5	-	-
<i>Astragalus arvensis</i> var. <i>prostrans</i>	0,5	3,7	0,0	2,2	0,9	4,70	0,9	2,1	0,2	1,7
<i>Piturnathus tortuosus</i>	0,5	3,7	1,2	3,5	1,5	7,80	5,0	11,7	0,5	2,7
<i>Hyoscyamus aureo-olivaceus</i>	0,8	5,2	1,9	5,2	1,7	8,60	2,7	6,4	2,0	11,1
<i>Teucrium polium</i>	0,2	1,4	0,6	1,8	0,3	1,6	0,3	0,7	-	-
<i>Matricaria inopurpurea</i>	3,0	-	5,6	-	6,7	-	2,5	5,9	5,8	32,4
<i>Plantagen</i>	1,2	10,0	-	-	-	-	-	0,7	-	-
<i>Hippocrepis bicinctaria</i>	-	-	0,5	1,3	-	-	0,3	0,7	-	-
<i>Paronychia amblyon</i>	-	-	0,6	1,8	-	-	-	1,9	-	-
<i>Lanceolus cyrtoloboides</i>	-	-	-	-	-	-	0,8	1,9	-	-
<i>Dianthus ayticus</i>	-	-	0,5	1,3	-	-	2,0	4,7	-	-
<i>Drachypodium distachyum</i>	-	-	0,2	0,4	-	-	2,2	5,2	-	-
<i>Koeleria pubescens</i>	-	-	0,3	0,9	-	-	0,5	1,2	-	-
<i>Lotus pusillus</i>	-	-	-	-	-	-	0,3	0,7	-	-
<i>Medicago truncatula</i>	-	-	0,3	0,9	-	-	0,3	0,7	0,5	2,7
<i>Leucurus pectinifolia</i>	-	-	-	-	-	-	0,3	0,7	-	-
<i>Astragalus cruciatus</i>	-	-	-	-	-	-	0,6	1,4	-	-
<i>Centaurea dioctetia</i>	-	-	-	-	-	-	0,3	0,7	-	-
<i>Echium barbatum</i>	-	-	-	-	-	-	0,2	0,5	-	-
<i>Hedysarum spinosissimum</i>	-	-	-	-	-	-	0,2	0,5	-	-
<i>Piturnathus chloranthus</i>	-	-	-	-	-	-	0,3	0,7	-	-
<i>Lept. obovatus</i>	-	-	-	-	-	-	-	-	-	-
Total	15,7	100,0	41,3	100,0	26,7	100,0	48,4	100,0	17,9	99,5
Total des listes	18,7		35,7		20,0		100		17,1	

DIPLO D I T S A - Etude de la fréquence spécifique (R) et de la contribution spécifique (Cs)

Lignes 9 et 10 : unité phyto-écologique n° 6

Espèce	5.10.72		24.4.73		28.9.73		3.5.74		10.10.74	
	F _g %	Cs %	F _g %	Cs %						
Plantago albicans	4,1	36,6	23,1	41,1	13,1	49,7	13,6	19,4	7,0	20,0
Cynodon dactylon	1,4	31,0	9,1	16,1	6,6	24,8	5,8	8,2	7,7	22,0
H. Maritimus Hippil var.	0,2	1,4	2,5	4,4	2,0	7,7	2,3	3,2	0,4	1,1
Arctostaphylos uniflorus	0,0	7,0	3,7	6,7	1,2	4,7	0,2	0,3	0,4	1,1
Platanthus tortuosus			1,4	2,5	1,6	5,9	2,6	3,7	1,7	4,8
Dichotylion fruticosus			0,3	0,5	0,2	0,6	0,3	0,4	0,5	1,4
Astragalus erectus esp.			0,9	1,7						
Trigonanthoides			0,2	0,3	0,6		0,6	0,8	14,4	41,1
Urtica neoptica			12,7		9,8	2,4	0,8	1,2		
Urtica	2,2						0,8			
Belianth. Hippil intricatum							0,3	0,4		
Pteris coronopifolia			0,2	0,3			1,1	1,6	2,0	5,7
Aphelandra tenuifolia			0,2	0,3					1,1	
Laurus roseifolia										
Plantula	2,7	24,0								
Hippocrepis bicentaria			0,3	0,5			2,9	4,1		
Paronychia arabica			4,7	8,3			1,4	2,0		
Draohypodium distachyus			0,5	0,8			7,3	10,4		
Koeleria pulscens			2,5	4,4	1,1	4,1	10,8	15,4	10,2 (sec)	0,5
Schizanthus barbatus			2,3	4,2			0,8	1,1		
Schizanthus barbatus			0,2	0,3			2,3	3,3		
Pilago germanica			0,9	1,7			1,0	2,5		
Lotus parvifolius			0,9	1,7			2,2	3,1		
Faucus syriacus			1,1	1,9			0,9	1,3		
Anacyolus cyrtolopidoides			0,2	0,5			7,5	10,7		
Medicago truncatula			1,9	3,3			2,6	3,7		
Astragalus cruciatus							0,1	0,1		
Dactylis aegyptiaca							2,5	3,5		
Cytardia dichotoma										
Total	13,4	100,0	69,0	100,0	36,1	100,0	70,0	100,0	35,0	99,7
Total moins Urtica	11,2		56,3		26,3		69,4		20,6	

FIN

77

VIPES